

**ΚΩΝΣΤΑΝΤΙΝΟΥ Τ. ΣΟΛΔΑΤΟΥ**

ΔΙΔΑΚΤΟΡΟΣ ΠΑΝΕΠΙΣΤΗΜΙΟΥ ΘΕΣΣΑΛΟΝΙΚΗΣ ΚΑΙ ΟΜΟΣΠ. ΠΟΛΥΤΕΧΝΕΙΟΥ ΖΥΡΙΧΗΣ  
ΕΠΙΜΕΛΗΤΟΥ ΕΡΓΑΣΤΗΡΙΟΥ ΟΡΥΚΤΟΛΟΓΙΑΣ - ΠΕΤΡΟΓΡΑΦΙΑΣ  
ΠΑΝΕΠΙΣΤΗΜΙΟΥ ΘΕΣΣΑΛΟΝΙΚΗΣ

---

**ΣΥΓΚΡΙΤΙΚΗ**

**ΟΠΤΙΚΗ, ΧΗΜΙΚΗ ΚΑΙ ΑΚΤΙΝΟΓΡΑΦΙΚΗ  
ΕΡΕΥΝΑ ΕΛΛΗΝΙΚΩΝ ΣΑΝΙΔΙΝΩΝ**

ΔΙΑΤΡΙΒΗ ΕΠΙ ΥΦΗΓΕΣΙΑ,

## ΚΩΝΣΤΑΝΤΙΝΟΥ Τ. ΣΟΛΔΑΤΟΥ

**ΔΙΔΑΚΤΟΡΟΣ ΠΑΝΕΠΙΣΤΗΜΙΟΥ ΘΕΣΣΑΛΟΝΙΚΗΣ ΚΑΙ ΟΜΟΣΠ. ΠΟΛΥΤΕΧΝΕΙΟΥ ΖΥΡΙΧΗΣ  
ΕΠΙΜΕΛΗΤΟΥ ΕΡΓΑΣΤΗΡΙΟΥ ΟΡΥΚΤΟΛΟΓΙΑΣ - ΠΕΤΡΟΓΡΑΦΙΑΣ  
ΠΑΝΕΠΙΣΤΗΜΙΟΥ ΘΕΣΣΑΛΟΝΙΚΗΣ**

**ΣΥΓΚΡΙΤΙΚΗ  
ΟΠΤΙΚΗ, ΧΗΜΙΚΗ ΚΑΙ ΑΚΤΙΝΟΓΡΑΦΙΚΗ  
ΕΡΕΥΝΑ ΕΛΛΗΝΙΚΩΝ ΣΑΝΙΔΙΝΩΝ**

## ΔΙΑΤΡΙΒΗ ΕΠΙ ΥΦΗΓΕΣΙΑ

## ΕΙΣΑΓΩΓΗ

Μεταξύ των ουσιωδών δρυκτῶν, τα ὅποια εἰσέρχονται ως συστατικά του στερεού φλοιού τῆς Γῆς, οι ἀστριοί κατέχουν τὴν πρώτην θέσιν ἀπὸ ἀπόψεως ἐνδιαφέροντος τόσον διὰ τὴν μεγάλην ἀναλογίαν ὑπὸ τὴν ὅποιαν συμμετέχουν εἰς τὴν σύστασίν του (περίπου τὰ 3/5 τοῦ προσιτοῦ εἰς τὴν παρατήρησιν τμήματος τῆς λιθοσφαίρας) δσον καὶ διὰ τὴν πετρολογικήν αὐτῶν σημασίαν. Ἐπὶ τοῦ εἰδούς τῶν περιεχομένων ἐντὸς τῶν πυριγενῶν πετρωμάτων ἀστρίον βασίζεται σήμερον ἡ συστηματική ταξινόμησις αὐτῶν εἰς οἰκογενείας, ἡ λεπτομερής δὲ μελέτη τῶν φυσιογραφικῶν χαρακτήρων αὐτῶν εἶναι ἀπαραίτητος διὰ τὴν ἔξαγωγὴν συμπερασμάτων ἐπὶ τῶν συνθηκῶν σχηματισμοῦ τόσον τῶν πυριγενῶν, δσον καὶ τῶν κρυσταλλοσχιστωδῶν πετρωμάτων, τῶν δύο τούτων κατηγοριῶν ἀποτελουσῶν τὰ 95/100 τοῦ στερεού φλοιού τῆς Γῆς. Ἀλλὰ καὶ διὰ τὴν τρίτην ἔτι κατηγορίαν πετρωμάτων, τὰ ιζηματογενῆ, ἐνδεχομένη παρουσία ἐντὸς αὐτῶν αὐθιγενῶν ἀστρίων παρέχει χρησίμους πληροφορίας ἐπὶ τῶν συνθηκῶν σχηματισμοῦ των. Τὸ γενικὸν αὐτὸ δὲνδιαφέρον, τὸ δόποιον παρουσιάζουν οἱ ἀστριοί διὰ τὴν λύσιν πετρογραφικῶν καὶ πετρολογικῶν προβλημάτων - δυνάμενοι προσέτι νὰ χρησιμοποιηθῶσι κατὰ Barth (1962) ὡς «γεωλογικὸν θερμόμετρον» - δικαιολογεῖ τὸ γεγονός ὅτι, κατὰ τὰ τελευταῖα ίδιᾳ ἔτη, ἡ λεπτομερής μελέτη τῶν ίδιοτήτων αὐτῶν ἀπασχολεῖ πλῆθος ἐρευνητῶν, πολλάκις δὲ ἀμφιγγωμάι καὶ συζητήσεις ἀνακύπτουν ἐπὶ τῶν πορισμάτων τῶν ἐρευνῶν αὐτῶν, προβάλλουσαι καὶ νέα ἐκάστοτε προβλήματα πρὸς λύσιν. Τὴν ἐπίλυσιν τοιαύτης φύσεως προβλημάτων, ἄτινα ἀνέκυψαν κατὰ τὴν ἐκτέλεσιν προγενέστέρων ἐργασιῶν ήμδων (Σολάδας 1955, Soldatos 1961), ἀναφερομένων εἰδικῶς εἰς τὴν φύσιν καὶ τὰς ίδιοτητας τῶν σανιδίνων (καλιούχων ἀστρίων), ἐθέσαμεν ως θέμα τῆς παρούσης μελέτης. Συγκεκριμένως κατὰ τὴν ἐρευναν τῶν ήφαιστιτῶν τῆς Ἀλμωπίας παρετηρήσαμεν ὅτι τὰ σανιδίνα τῆς περιοχῆς αὐτῆς δὲν ἐδείκνυον τὴν καλουμένην «ὅπτικήν σανιδίνου», καθ' ἥν τὸ ἐπίπεδον τῶν ὀπτικῶν ἀξόνων εἶναι παράλληλον πρὸς τὴν ἔδραν (010) τοῦ κρυστάλλου, ἀλλὰ «ὅπτικήν δρθοκλάστου», καθ' ἥν τὸ E.O.A. εἶναι κάθετον πρὸς τὴν ἀνωτέρω θέσιν. Τὸ αὐτὸ φαινόμενον παρετηρήσαμεν ἀργότερον καὶ εἰς τὰ σανιδίνα τῶν ήφαιστειογενῶν πετρωμάτων τῆς Ροδόπης (Soldatos, 1961). Δεδομένου ἐξ ἄλλου ὅτι αἱ σήμερον

κρατοῦσαι ἀντιλήψεις περὶ τῆς δομικῆς συνθέσεως τῶν ἀλκαλιούχων ἀστρίων, εἰς τὴν ὁποίαν ἀποδίδονται καὶ αἱ παρατηρούμεναι διαφοραὶ ὀπτικῆς συμπεριφορᾶς αὐτῶν, δὲν εἶναι ὅμοφωνοι, αἱ δὲ ὀπτικαὶ ιδιότητες χρησιμοποιοῦνται ως κριτήρια τῆς τοιαύτης δομικῆς συνθέσεως, ἐκρίναμεν σκόπιμον νὰ ἔξετάσωμεν λεπτομερῶς τὰς ὀπτικὰς ιδιότητας ίκανον ἀριθμοῦ δειγμάτων σανιδίνων διαφόρου προελεύσεως συνοδεύοντες τὴν ἔξετασιν ταύτην μὲ λεπτομερῆ ἀκτινογραφικήν καὶ χημικήν ἀνάλυσιν τυπικῶν δειγμάτων, εἰς τρόπον ὥστε νὰ ἔξακριβώσωμεν μετὰ βεβαιότητος ἐνδεχομένως ὑπάρχουσαν μεταξύ των ἔξαρτησιν. Μίαν τοιαύτην ἔρευναν ἐκρίναμεν ἐπιβεβλημένην τοσούτῳ μᾶλλον καθ' ὅσον εἰς τὴν διεθνῆ βιβλιογραφίαν παρέχονται καμπύλαι τοιούτων σχέσεων μὴ δικαιολογούμεναι ίκανοποιητικῶς βάσει τῶν δεδομένων τῶν παρατηρήσεων ἐξ ὧν ἔξήχθησαν (Tuttle, 1952). Αἱ καμπύλαι αὗται μεταφερθεῖσαι ἀνευ ἐπιφυλάξεων εἰς τρεχούσης χρήσεως πίνακας καθορισμοῦ τῶν ιδιοτήτων τῶν ὄρυκτῶν (Troeger, 1956) δυνατὸν νὰ ὀδηγήσουν τὸν ποιούμενον χρῆσιν αὐτῶν εἰς ἐσφαλμένα συμπέρασμα.

Τὰ χρησιμοποιηθέντα διὰ τὴν ἔξετασιν αὐτήν σανιδίνα προέρχονται ἐξ ἡφαιστιτῶν τῆς Ἑλλάδος διαφόρων ἀπ' ἀλλήλων πετρογραφικῶς, ἀλλὰ καὶ ἀπὸ τῆς ἀπόψεως τῆς γεωγραφικῆς καὶ γεωτεκτονικῆς θέσεως αὐτῶν. Προεκρίναμεν τὴν ἐπιλογὴν ἐλληνικῶν σανιδίνων, διότι εἴχομεν τὴν δυνατότητα τῆς ἐπιτοπίου συλλογῆς καταλλήλων καὶ πολυαριθμών δειγμάτων ἐκ τοῦ μητρικοῦ πετρώματος. Οἱ ἔξετασθέντες κρύσταλλοι σανιδίνων προέρχονται ἐκ τῶν περιοχῶν Ἀφάλου (Ἐδέσσης), Μαυροβουνίου (Σκύδρας), Ροδόπης, Δαδιᾶς (Θράκης), Λήμνου καὶ Σαμοθράκης. Ταῦτα εἴτε συνελέγησαν ὑπὸ τοῦ συγγραφέως εἴτε ἐλήφθησαν ἐκ τῶν συλλογῶν τοῦ Μουσείου Ὄρυκτολογίας - Πετρογραφίας τοῦ Πανεπιστημίου Θεσσαλονίκης ἐκ προγενεστέρων ἐργασιῶν (Σολδάτος, 1955, Ρεντζεπέρης, 1956, Soldatos, 1961). Ἐνδιαφέρουσαν περίπτωσιν παρουσίασε δεῖγμα σανιδίνου ἐκ τῆς νήσου Σαμοθράκης, εἰς τὸ δόποιον ἀνευρέθη μία νέα μορφὴ κρυπτοπερθιτικοῦ ἀλβίτου (μονοκλινοῦς συμμετρίας). Τὸ δεῖγμα τοῦτο μᾶς παρεχωρήθη ὑπὸ τοῦ καθηγητοῦ κ. Γ. Μαρίνου, εἰς ὃν ἐκφράζονται καὶ ἐντεῦθεν θερμαὶ εὐχαριστίαι.

Εἴς τινας περιπτώσεις διὰ λόγους συγκρίσεως ώρισμένων ἀποτελεσμάτων, ιδίᾳ ως πρὸς τὸν ἐλεγχον τῆς θέσεως τοῦ Ε.Ο.Α., ἔξητάσθησαν καὶ σανιδίνα ξένων χωρῶν ληφθέντα ἐκ τῶν συλλογῶν τοῦ ὡς ἄνω Μουσείου. Ἐπίσης ἐγένοντο πειράματα πυρώσεως τῶν σανιδίνων εἰς θερμοκρασίαν  $1060^{\circ}$  -  $1075^{\circ}$  διὰ νὰ διερευνθοῦν αἱ περιπτώσεις ἀλλαγῆς τοῦ ἐπιπέδου τῶν ὀπτικῶν ἀξόνων, ως καὶ τὰ φαινόμενα διμογενοποιήσεως περθιτικῶν κρυστάλλων, ἐν συνδυασμῷ μὲ τὰ ἀποτελέσματα τῆς χημικῆς καὶ ἀκτινογραφικῆς ἀναλύσεως.

“Η ἐργασία ἐγένετο ἐξ ὀλοκλήρου εἰς τὸ Ἐργαστήριον Ὁρυκτολογίας - Πετρογραφίας τοῦ Πανεπιστημίου Θεσσαλονίκης.

Τὸν Διευθυντὴν τοῦ ὡς ἄνω Ἐργαστηρίου καθηγητὴν κ. Π. Κόκκορον θεωρῶ καθῆκον νὰ εὐχαριστήσω θερμῶς καὶ ἀπὸ τῆς θέσεως ταύτης διὰ τὸ ἀμέριστον γενικῶς ἐνδιαφέρον, τὸ δὲ ποιὸν ἐπέδειξε κατὰ τὴν ἐκτέλεσιν τῆς παρούσης μελέτης.

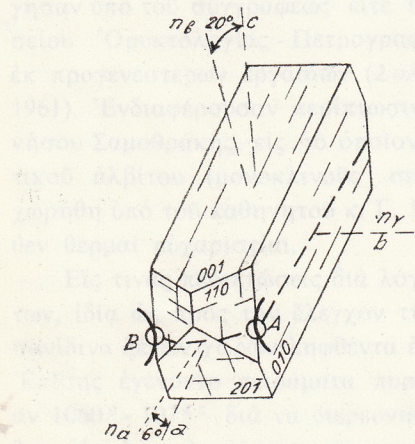
προσαρμογές οι οποίες προβλέπουν πάντα την απόσταση των σύνορών της από την επιφάνεια της γης. Παραγίνεται μετατοποίηση της σύνθετης σειράς της γης σε διάφορες περιοχές. Το συγκεκριμένο μοντέλο προτείνει την ανάπτυξη της γης σε διάφορες περιοχές, όπου η σύνθετη σειρά της γης προσαρμόζεται στην κατάσταση της περιοχής.

## ΓΕΝΙΚΟΝ ΜΕΡΟΣ

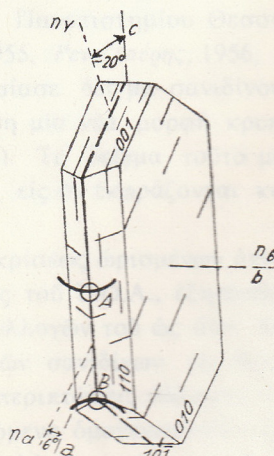
Πρὶν ἡ ἐκθέσωμεν εἰδικότερον τὰ προβλήματα εἰς τὴν ἐπίλυσιν τῶν ὅποιών κατατείνει ἡ παροῦσα μελέτη, θεωροῦμεν σκόπιμον νὰ παραθέσωμεν τὰς κρατούσας ἀντιλήψεις, παλαιοτέρας καὶ συγχρόνους, ἐπὶ τῶν σχέσεων μορφολογίας καὶ ὀπτικῆς συμπεριφορᾶς πρὸς τὴν χημικὴν καὶ δομικὴν σύνθεσιν τῶν καλιούχων ἀστρίων.

### Ὀρθόκλαστον - Σανίδινον

Ἐκ τῶν δύο συνήθων κρυσταλλικῶν μορφῶν, ὑπὸ τὰς ὅποιας ἀπαντᾶται τὸ ὄρθόκλαστον ( $KAlSi_3O_8$ ), τῆς πρισματικῆς κατὰ [100] (Εἰκ. 1) καὶ τῆς πλακώδους κατὰ (010) (Εἰκ. 2), ἔχαρακτηρίσθη ὡς ποικιλία ὄρθοκλάστου τὸ πρῶτον ὑπὸ τοῦ Noeggerath τὸ 1808 (Hintze, 1897) μὲ τὸν δρόν «Sanidin», ἐκ τοῦ ἑλληνικοῦ «σανίς», ἡ δευτέρα μορφὴ (Εἰκ. 2), συνήθως ὑαλώδους λάμψεως, συναντωμένη εἰς ἡφαιστειογενῆ πετρώματα σχετικῶς νεωτέρας ἥλικίας, ἐνῷ ὁ δρός «ὄρθόκλαστον» διετηρήθη γενικῶς διὰ τοὺς ἀδιαφανεῖς θολοὺς κρυστάλλους, ἀδιακρίτως μορφῆς, τοὺς ἀπαντῶντας εἰς βαθυγενῆ πετρώματα. Ἡ μορφολογικὴ αὕτη διάκρισις δὲν ἴσχυει



Εἰκ. 1



Εἰκ. 2

σήμερον, διότι άπαντῶνται ἐντὸς νεωτέρων ήφαιστειογενῶν πετρωμάτων ἀμφότεραι αἱ μορφαί.

Απὸ ἀπόψεως ὁπτικῆς διὰ τὴν διάκρισιν ὁρθοκλάστου-σανιδίνου ἐπεκράτησεν ἡ ἔξακριβωσις τῆς θέσεως τοῦ ἐπιπέδου τῶν ὁπτικῶν ἀξόνων. Εἰς τὸ ὁρθόκλαστον τὸ E.O.A. εἶναι κάθετον ἐπὶ τὴν ἔδραν (010) (Εἰκ. 1, «ὁπτικὴ ὁρθοκλάστου»)<sup>1</sup>, εἰς τὸ σανιδίνον εἶναι συνήθως παράλληλον (Εἰκ. 2, «ὁπτικὴ σανιδίνου»). Κατὰ Niggli (1926) ἡ ὁπτικὴ αὐτῇ ἔχει σχέσιν μὲ τὴν ἔξωτερικὴν ἐμφάνισιν τοῦ σανιδίνου: «Neben dieser Sanidintracht gibt es aber auch eine sogenannte Sanidinoptik». Σανίδινα μὲ E.O.A. κάθετον ἐπὶ τὸ (010) θεωροῦνται κατὰ Troeger (1956) σπάνια. Ἀντιθέτως οἱ Turner καὶ Verhoogen (1960) ἀναφέρουν ὅτι ἡ περίπτωσις ταυτίσεως τοῦ ἐπιπέδου τῶν ὁπτικῶν ἀξόνων πρὸς (010) εἶναι σπανία. Τέλος ἐκ τῶν παλαιοτέρων συγγραφέων ὁ Chudoba (1932) θεωρεῖ ὡς πλέον διαδεδομένα τὰ σανίδινα μὲ E.O.A. συμπίπτον μὲ τὸ (010), ἐνῷ ὁ Winchell (1951) θεωρεῖ ἔξι ἵσου διαδεδομένην καὶ τὴν ἄλλην μορφὴν (ὁπτικὴ ὁρθοκλάστου). Μὲ τὴν τελευταίαν ἀποψιν συντάσσεται ἐπίσης ὁ Troeger εἰς τὸ βιβλίον τοῦ Freund (1955), ὅπου ἀναπτύσσων τὸ κεφάλαιον τῶν ὁρυκτῶν συστατικῶν τῶν πετρωμάτων ἀναφέρει ἐπὶ λέξει: «.....wobei die optische Achsenebene sowohl parallel (010) als auch senkrecht dazu liegen kann.», ἐνῷ ὁ ἴδιος συγγραφεὺς ἀλλαχοῦ (1956), ὡς ἀνωτέρῳ ἀνεφέρθη, θεωρεῖ τὴν θέσιν (010) τοῦ ἐπιπέδου τῶν ὁπτικῶν ἀξόνων ὡς τὴν πλέον διαδεδομένην, τὴν κάθετον δὲ πρὸς αὐτὴν σπανίαν.

Αἱ ἀνωτέρῳ ἀλληλοσυγκρουόμεναι ἀπόψεις τῶν διαφόρων ἐρευνητῶν δικαιολογοῦνται ἐκ τοῦ ὅτι ἀντὶ αὐτῶν ταῖς μεμονωμέναις ἐκάστοτε παρατηρήσεις. Ἐπὶ τοῦ σημείου τούτου θέλομεν ἐπανέλθει βραδύτερον, διὰ νὰ ἐκθέσωμεν ποίᾳ ἐκ τῶν δύο μορφῶν ἐπικρατεῖ ἐν Ἑλλάδι, ὡς καὶ ποίαν ἀποψιν θεωροῦμεν ὁρθοτέραν.

### ΤΥΠΙΣΑΝΙΔΙΟΝ - ΧΑΜΑΙΣΑΝΙΔΙΝΟΝ

Ως ἀνωτέρῳ ἀνεφέρθη, τὸ ἐπίπεδον τῶν ὁπτικῶν ἀξόνων εἶναι δυνατὸν νὰ κεῖται τόσον παραλλήλως πρὸς τὴν ἔδραν (010), ὅσον καὶ καθέτως πρὸς αὐτήν. Εἶναι γνωστὸν ἐπίσης ὅτι οἱ κρύσταλλοι τῶν σανιδίνων τῆς δευτέρας κατηγορίας θερμαινόμενοι εἰς θερμοκρασίαν περίπου  $1050^{\circ}$  -  $1070^{\circ}$  παρουσιάζουν κατ' ἀρχὰς μίαν σμίκρυνσιν τῆς γωνίας τῶν ὁπτικῶν ἀξόνων, ἥτις ἔξικνεῖται μέχρι τῆς τιμῆς τοῦ μηδενός, διὰ νὰ ἀρχίσουν ἀκολούθως οἱ ἀξονες αὐτῶν νὰ ἀπομακρύνωνται ἀλλήλων τοποθετούμενοι πλέον ἐντὸς

<sup>1</sup> Ο δρος «ὁπτικὴ ὁρθοκλάστου» χρησιμοποιεῖται ἐνταῦθα πρὸς χαρακτηρισμὸν τῆς καθέτου ἐπὶ τὸ (010) θέσεως τοῦ ἐπιπέδου τῶν ὁπτικῶν ἀξόνων, ἀνεξαρτήτως τῆς τιμῆς τῆς γωνίας αὐτῶν.

τοῦ ἐπιπέδου (010). Τὸ φαινόμενον τοῦτο εἶναι γνωστὸν ἀπλῶς ὑπὸ τὴν ἔκφρασιν «ἀλλαγὴ τοῦ ἐπιπέδου τῶν ὀπτικῶν ἀξόνων». Οὗτοι σχηματίζουν τελικῶς μίαν ὄρικήν γωνίαν, ἡ τιμὴ τῆς ὅποιας δὲν μεταβάλλει τὸν ἀρνητικὸν χαρακτῆρα τοῦ κρυστάλλου. Λαμβανομένου ως ὁρίου τῆς τιμῆς τοῦ μηδενὸς ἐπροτάθη ὑπὸ τοῦ Tuttle (1952) ὁ χαρακτηρισμὸς τοῦ σανιδίνου μὲ Ε.O.A. παράλληλον πρὸς τὸ (010) ως μορφῆς ὑψηλῆς θερμοκρασίας. Μεταφράζοντες τὸν ἀγγλικὸν ὄρον High-Sanidine ἢ τὸν γερμανικὸν Hoch-Sanidin προτείνομεν διὰ τὴν μορφὴν αὐτὴν τὸν ὄρον Υψι - σανίδινον ο.ν. Τὴν μορφὴν μὲ τὸ E.O.A. κάθετον ἐπὶ (010), ἣτις εἶναι χαμηλοτέρας θερμοκρασίας τῆς προηγουμένης, καλοῦμεν Χαμαι - σανίδινον (Low-Sanidine, Tief-Sanidin). Πρὸς ἀποφυγὴν συγχύσεως δέον νὰ τονίσωμεν ὅτι ἡ διάκρισις εἰς ὑψι - καὶ χαμαι - μορφὴν ἀναφέρεται μόνον εἰς τὴν ἀμοιβαίαν σχέσιν τῶν δύο καταστάσεων καὶ ὅτι τὸ χαμαισανίδινον ἐπὶ παραδείγματι δὲν εἶναι χαμηλῆς θερμοκρασίας σχηματισμὸς ὑπὸ τὴν συνήθη πετρολογικὴν ἔννοιαν, συναντώμενον δηλαδὴ εἰς πλούτωνίτας, ὅπου ως γνωστὸν ἀπαντῶνται αἱ ἄλλαι δύο μορφαί, τὸ δρθόκλαστον καὶ δικροκλινής, ἀλλὰ χαμαι - μορφὴς ἀναφέρεται πολλάκις μία μεσο - μορφὴ (intermediate) (Marfunin, 1961, 1962, Laves, 1960a, 1960β). Εἰδικότερον ὁ τελευταῖος συγγραφεὺς δὲν παραδέχεται τὸ δρθόκλαστον ως καθωρισμένην δομικῶς φάσιν. Ἐπὶ τοῦ σημείου δημοσίευσης τούτου θέλομεν ἐπανέλθει ἀργότερον. Ο Marfunin θεωρεῖ ως κριτήριον τῶν ἀνωτέρω καταστάσεων ἀπὸ ἀπόψεως ὀπτικῆς τὴν γωνίαν 2V τῶν ὀπτικῶν ἀξόνων, καὶ δὴ ως ἀκολούθως:

		2V <sub>a</sub>
Ὑψι - σανίδινον	E.O.A.	(010) 60° - 0°
Χαμαι - »	E.O.A.	⊥ (010) 0° - 40° (44°)
Ὑψι - ορθόκλαστον,	Ὑψι - μικροκλινής <sup>1</sup>	» 40° - 60°
Μεσο - »	Μεσο - »	» 60° - 80°
Χαμαι - »	Χαμαι - »	» >80°

Κατὰ τὸν τελευταῖον συγγραφέα τὸ εὑρος μεταβολῆς τῆς γωνίας τῶν

<sup>1</sup> Εἰς τὴν περίπτωσιν τοῦ μικροκλινοῦ, λόγῳ τῆς τρικλινοῦ συμμετρίας τὸ E.O.A. δὲν εἶναι ἀκριβῶς κάθετον ἐπὶ τὸ (010).

καλιούχων ἀστρίων εἶναι  $144^{\circ}$ , δηλ. ἀπό  $60^{\circ}$ , E.O.A. παράλληλον πρὸς (010), μέχρις  $84^{\circ}$ , E.O.A. κάθετον ἐπὶ (010). Ὁ ἴδιος μάλιστα ἐρευνητὴς στηριζόμενος εἰς μελέτας μαγματικῶν πετρωμάτων εἰς τὸ γεωσύγκλινον τοῦ Καυκάσου συνάγει, ὑπὸ τινας ἐπιφυλάξεις, ώρισμένας σχέσεις ἀναφορικῶν πρὸς τὴν γεωλογικὴν ἡλικίαν: «The most remarkable feature of this distribution is the dependence on geological age. In Tertiary intrusions the alkali feldspar is a high to intermediate orthoclase; in Palaeozoic intrusions it is maximum to intermediate microcline» (βλ. λεπτομερείας εἰς *Marfunin*, 1962).

**Κρατοῦσαι ἀπόψεις ἐπὶ τῶν καλιούχων ἀστρίων ἀπὸ ἀπόψεως ταξινομημένης ἢ μὴ διατάξεως τῶν  $\text{Al/Si}$  ἐντὸς τοῦ πλέγματος αὐτῶν**

#### Πολυμορφία τοῦ $\text{KAlSi}_3\text{O}_8$ . Τρικλινικότης. Σανιδινίωσις.

Ἐπὶ τῇ βάσει τῶν μορφολογικῶν καὶ διπτικῶν στοιχείων ἐσχημάτισαν οἱ ἐρευνηταὶ ἐνωρὶς τὴν γνώμην ὅτι ὅλοι οἱ ἀστριοὶ ἔπρεπε νὰ ἔχουν ὁμοίαν ἢ σχεδὸν ὁμοίαν κρυσταλλικὴν δομήν. Πρῶτος ὁ *Taylor* (1933), ὅστις ἐμελέτησε τὴν δομὴν τοῦ σανιδίνου καὶ τῶν ὑπολοίπων ἀστρίων, ἐδέχθη κατ' ἄρχας ὡς πιθανωτέραν συμμετρίαν τοῦ σανιδίνου μονοκλινῆ ἡμιεδρικῆν. Οἱ *Cole*, *Soerum* καὶ *Kennard* (1949) εἰς ἔξετασθὲν ὑπὸ αὐτῶν σανιδινιωθὲν δρθόκλαστον δέχονται ὡς ὁμάδα συμμετρίας τὴν C2/m (όλοδερία μονοκλινοῦς), πρᾶγμα δῆπερ ἀποδέχεται καὶ ὁ *Taylor* (1962) (βλ. καὶ *Strunz*, 1957). Ἡ προγενεστέρα ἀποψὶς τοῦ *Taylor* περὶ μονοκλινοῦς ἡμιεδρικῆς συμμετρίας ὠφείλετο εἰς τὸ γεγονός ὅτι κατὰ τὴν διερεύνησιν τῆς δομῆς τοῦ σανιδίνου, τὴν ὁποίαν ἐπεχείρησε θεωρήσας τὰ ἰόντα  $\text{Al}^{3+}$  καὶ  $\text{Si}^{4+}$  ὡς οὐχὶ ἰσοδύναμα ἀπὸ ἀπόψεως θέσεως ἐντὸς τοῦ πλέγματος, ὑπεχρεώθη νὰ τοποθετήσῃ αὐτὰ εἰς τὰς ταξινομημένην διάταξιν συνεπαγομένην ἡμιεδρικὴν συμμετρίαν. Ἀντιθέτως ὁ *Barth* (1934), λαμβάνων ὑπὸ ὅψιν ὅτι ἡ διασκεδαστικὴ ἱκανότης τῶν δύο ἀνωτέρω ἰόντων εἶναι σχεδὸν ἡ αὐτὴ καὶ ἐπομένως ἡ διάκρισίς των εἰς τὸ πλέγμα δὲν εἶναι πειραματικῶς ἐφικτή, ὑπέθεσεν ὅτι εἰς μὲν τὸ σανίδινον ἔχομεν στατιστικὴν κατανομὴν τῶν  $\text{Al}$  καὶ  $\text{Si}$ , ὅπότε ἐξηγεῖται ἡ μονοκλινῆ ὄλοεδρικὴ μορφὴ αὐτοῦ, ἐνῷ εἰς τὸν μικροκλινῆ, ὅστις ὡς γνωστὸν εἶναι τρικλινῆς, ἡ διάταξις τῶν  $\text{Al/Si}$  εἶναι ταξινομημένη. Ἡ ὑπόθεσις τοῦ *Barth* ἀνεζωπύρησεν ἐν παλαιὸν πρόβλημα, τὸ τῆς πολυμορφίας τῶν καλιούχων ἀστρίων. Είναι δηλ. ὁ καλιούχος ἀστριος δίμορφος ἢ τρίμορφος ἢ, δπως ἐπίστευεν ὁ *Mallard* ἥδη ἀπὸ τοῦ 1876 (*Laves*, 1960a), δὲν ὑπάρχει πολυμορφία, ἀν θεωρήσῃ τις ὅτι ἡ μονοκλινῆ διπτικὴ τοῦ δρθοκλάστου ὀφείλεται εἰς πολύδυμον σύμφυσιν ὑπομικροσκοπικῶν τμημάτων μικροκλινοῦς; Ὁ *Barth* (1934) ἐδέχθη τὴν ἀποψὶν ὅτι ὁ καλιούχος ἀστριος ( $\text{KAlSi}_3\text{O}_8$ ) εἶναι

τρίμορφος: 1. Σανιδίνον (μονοκλινής όλοεδρία μὲ μὴ ταξινομημένην διάταξιν τῶν Si καὶ Al εἰς τὸ πλέγμα), 2. Μικροκλινής (τρικλινής όλοεδρία μὲ ταξινομημένην διάταξιν τῶν Al/Si) καὶ 3. Ἀδουλαῖος ώς καὶ κοινὸν δρθόκλαστον, «normaler Orthoklas» (μονοκλινής συμμετρία ἀλλ’ ὅχι ἡ αὐτή μὲ τὴν τοῦ σανιδίνου). Ἀργότερον ὁ Laves (1950, 1952) δεχόμενος μόνον ώς πρὸς τὸ σημεῖον τῆς στατιστικῆς κατανομῆς τῶν Si καὶ Al τὴν ὑπόθεσιν Barth ως δρθήν, ἐθεώρησεν ὅτι εἶναι δυνατὸν ὅλαι αἱ μορφαὶ τοῦ καλιούχου ἀστρίου νὰ ἔρευνθοῦν διὰ τῆς παραδοχῆς δύο βασικῶν ἀκρων τύπων: τοῦ σανιδίνου καὶ τοῦ μικροκλινοῦς, καὶ δὴ σανιδίνου εἰς τὸ πλέγμα τοῦ ὄποιου ὑπάρχει τὸ μέγιστον τῆς μὴ ταξινομημένης διαιτάξεως (Disorder, Unordnung) τῶν Si καὶ Al καὶ μικροκλινοῦς μὲ τὸ μέγιστον τῆς ταξινομημένης διαιτάξεως (Order, Ordnung). Ἀπὸ ἀπόψεως γενετικῆς ἡ πρώτη εἶναι σχηματισμὸς ὑψηλῆς θερμοκρασίας καὶ ἡ δευτέρα χαμηλῆς. Ἡ μία μετατρέπεται βραδέως εἰς τὴν ἄλλην διὰ μιᾶς «μεταβολῆς ἐκ διαχύσεως» (diffusive transformation) κυρίως τῶν στοιχείων Al καὶ Si. Εἰς τὴν μεταβολὴν αὐτὴν φαίνεται ὅτι τὸ κάλιον παίζει πολὺ μικρὸν ρόλον ἢ οὐδόλως συμμετέχει. Τεχνητὴ παρασκευὴ μικροκλινοῦς ἐξ ἀλβίτου δι’ ἐναλλαγῆς τῶν ιόντων νατρίου - καλίου (Laves, 1951) ἔδειξε τὴν σχετικῶς μεγάλην κινητικότητα τῶν ἀλκαλίων ἐν συγκρίσει πρὸς τὴν μετατροπὴν μικροκλινοῦς/σανιδίνου, ἐξ οὗ συνάγεται ὅτι ἡ μεταβολὴ αὕτη διφείλεται κυρίως εἰς τὰ στοιχεῖα πυρίτιον καὶ ἀργίλλιον. Ὅπερ τῆς ἀπόψεως τοῦ δυνατοῦ τῆς ἀλληλομετατροπῆς τῶν δύο μορφῶν εἶναι καὶ τὸ φαινόμενον τῆς σανιδίνισης (Sanidinization), καθ’ ὃ αἱ μορφαὶ τοῦ καλιούχου ἀστρίου (μικροκλινής, δρθόκλαστον, ἀδουλαῖος) θερμαινόμεναι ἐπὶ μακρὸν εἰς θερμοκρασίαν περίπου  $1050^{\circ}$ - $1070^{\circ}$  μετατρέπονται εἰς ὑψισανίδινα. Ἡ ἀντίστροφος μεταβολή, ἥτοι τοῦ σανιδίνου εἰς μικροκλινή, θεωρεῖται ὅτι γίνεται τόσον βραδέως, ὥστε, διὰ νὰ γίνῃ κατανοητή, θὰ πρέπει νὰ ληφθῇ ὑπὸ ὅψιν ὁ παράγων «γεωλογικὸς χρόνος». Μὲ τὴν πάροδον δηλ. τοῦ χρόνου αὐτοῦ συμβαίνει βραδέως μία ἀνακατανομὴ τῶν στοιχείων Si, Al ἐκ τῆς μὴ ταξινομημένης διατάξεως εἰς τὴν ταξινομημένην τοιαύτην. Ὅπερ τῶν ἀπόψεων αὐτῶν συνηγορεῖ ἐπίσης ἡ ἀνεύρεσις ἐνδιαμέσων μορφῶν, π.χ. τρικλινῶν ἀδουλαίων μὲ πυρῆνα μονοκλινή (Chaisson, 1950) ἢ μικροκλινῶν μὲ διάφορον τρικλινικότητα (Goldsmith and Laves, 1954) ἢ τέλος μορφῶν αἱ ὄποιαι παρουσιάζονται ὀπτικῶς μονοκλινεῖς, ἐνῷ ἀκτινογραφικῶς ἀποδεικνύονται τρικλινεῖς. Ὡς μέτρον τῆς ταξινομημένης ἢ μὴ (ἢ ἐν μέρει ταξινομημένης) διατάξεως εἰς τὸ πλέγμα τῶν καλιούχων ἀστρίων λαμβάνεται, ώς ἀνωτέρω, ἡ καλουμένη τρικλινικότης Δ (Triclinicity, Triklinität, Triclinisme), ἥτις κατὰ Goldsmith καὶ Laves (1954) δορίζεται διὰ τῆς σχέσεως

$$\Delta = 12,5 [d_{(131)} - d_{(\bar{1}\bar{3}1)}]$$

Η τιμή του Δ κυμαίνεται άπό 0, εἰς τὴν περίπτωσιν τῆς τελείας «μιονοκλινικότητος» (σανίδινον), ἔως 1, εἰς τὴν περίπτωσιν τοῦ μεγίστου τρικλινοῦς μικροκλινοῦς (maximal microcline). Οὕτω ἀν λάβωμεν ως βάσιν τὰς γωνίας  $\alpha^*$  καὶ  $\gamma^*$  τοῦ ἀντιστρόφου πλέγματος, αὗται εἶναι  $90^\circ$  εἰς τὴν περίπτωσιν τοῦ σανιδίνου, ἐνῷ εἰς τὸν μικροκλινὴν εἶναι κατὰ *Laves* καὶ *Soldatos* (1962β)  $\alpha^* = 90^\circ 20'$   $\gamma^* = 92^\circ 20'$ .

Ἐάν λοιπὸν ἡ Δ κυμαίνεται ἀπὸ 0 ἕως 1,

ἡ γωνία  $\alpha^*$  θὰ κυμαίνεται ἀπὸ  $90^\circ$  ἕως  $90^\circ 20'$  καὶ

ἡ »  $\gamma^*$  » » »  $90^\circ$  »  $92^\circ 20'$

(βλ. καὶ *Mackenzie*, 1954).

Προφανῶς ὁ χαρακτηρισμὸς ως ὑψι - ἡ χαμαί - μορφῆς ἐνὸς ἀστρίου ἐπὶ τῇ βάσει τῆς τρικλινικότητος ἡ γενικώτερον ἐπὶ τῇ βάσει τῆς κατανομῆς Al/Si εἰς τὸ πλέγμα αὐτοῦ, σημαίνει πάντοτε ὅτι εἰς τὴν ὑψι - μορφὴν ἔχομεν διληγότερον ταξινομημένην διάταξιν παρὰ εἰς τὴν χαμαί - μορφήν.

Κατὰ *Marfunin* (1962) ἡ τρικλινικότης ἔχει σχέσιν μὲ τὴν διπτικὴν τοῦ καλιούχου ἀστρίου ως ἐπίσης ὑπὸ ώρισμένας προϋποθέσεις καὶ μὲ τὴν γεωλογικὴν ἡλικίαν αὐτοῦ.

Εἶναι τὸ δρθόκλαστον σταθερὰ μορφὴ καλιούχου ἀστρίου;

Κατόπιν τῶν ἐκτεθέντων ἀνωτέρω θεωροῦνται κατὰ *Laves* (1960) ως σταθερὰι μορφαὶ τοῦ  $KAlSi_3O_8$  τὸ σανίδινον καὶ ὁ μικροκλινῆς (διμορφία). (Τὰ παραθέματα ὑψι -, χαμαί -, καὶ μεσο - δίδουν τὴν δυνατότητα μιᾶς ποιοτικῆς διαφοροποιήσεως τῶν δύο μορφῶν ἀπὸ ἀπόψεως ταξινομημένης ἡ μὴ διατάξεως τῶν Al/Si). Ὡς θερμοκρασία ἀλλαγῆς τῶν δύο φάσεων θεωρεῖται ἡ περιοχὴ τῶν  $500^\circ$ . Εἶναι δύμως δυνατὸν καὶ κάτω τῆς θερμοκρασίας αὐτῆς νὰ ἔχωμεν ἐμφάνισιν μονοκλινῶν μορφῶν, ως συμβαίνει εἰς τὴν περίπτωσιν τῶν περισσοτέρων ἀδουλαίων. Πολλοὶ ἐπίσης αὐθιγενεῖς καλιούχοι ἀστρίοι ἵζηματογενῶν πετρωμάτων ἀναπτύσσονται δύμοις εἰς χαμηλοτέραν θερμοκρασίαν. Εἰς τὰς περιπτώσεις αὐτὰς αἱ ἐν λόγῳ μορφαὶ δὲν εἶναι σταθερὰι ἀλλὰ ἀσταθεῖς ἡ μεταστάσιμοι (metastabile), ἔνεκα δὲ τούτου πολλάκις οἱ ἀδουλαίοι εἶναι κατὰ τὴν περιφέρειαν τρικλινεῖς. Ἀπὸ ἀπόψεως δομικῆς δύναται νὰ χαρακτηρισθῇ μία τοιαύτη μορφὴ ως «μικροκλινοειδὲς ψευδοσανίδινον» (*mikrokliniger Pseudosanidin*) ἢ «σανιδινοειδῆς μικροκλινῆς» (*sanidiniger Mikroklin*) ἀναλόγως τοῦ ἀν εἶναι περισσότερον σανιδινοειδοῦς ἡ μικροκλινοειδοῦς φύσεως. Οὕτως ἐπὶ τῇ βάσει μόνον τῶν δύο καταστάσεων, σανίδινον καὶ μικροκλινοῦς, χαρακτηρίζεται πᾶσα ἄλλη μορφὴ καλιούχου ἀστρίου. Εἰδικῶς (διὰ τὸ δρθόκλαστον) οἱ ὑποστηρικταὶ τῶν ἀντιλήψεων αὐτῶν (*Laves*, 1960α,β, *Goldsmith* and *Laves*, 1954, *Schneider*, 1957) δέχονται ὅτι ἡ μορφὴ «δρθό-

κλαστον» δύναται πολλάκις νὰ θεωρηθῇ ύπὸ τὴν ἔνοιαν *Mallard*, ὡς δόφειλομένη εἰς ὑπομικροσκοπικὴν πολυδυμίαν τρικλινῶν τμημάτων, οὕτως ὅστε ἐν τῷ συνόλῳ των νὰ δίδουν δοπτικῶς μονοκλινῆ εἰκόνα. ‘Υπάρχουν δύμας περιπτώσεις, καθ’ ἀς ἡ δοπτικὴ τοῦ δρθοκλάστου δεικνύει ἀποκλίσεις ἐκ τῆς μονοκλινοῦς συμμετρίας (τρικλινῆ δρθόκλαστα) (*Paraskevopoulos*, 1953, *Gysin*, 1957, 1963). Ἡ διάγνωσις τῆς ἥλαττωμένης αὐτῆς συμμετρίας γίνεται ἀκτινογραφικῶς, ὁπότε ἐκ τῆς εὑρέσεως τῆς «τρικλινικότητος» ἐλέγχεται ὁ βαθμὸς τῆς ταξινομήσεως τῶν Al/Si. Οὐχὶ σπανίως ἡ διαφορὰ μεταξὺ δοπτικῆς καὶ ἀκτινογραφικῆς εἰκόνος εἶναι μεγάλη. Οὕτως, ἐνῷ ὑπάρχουν μικροκλινεῖς μὲ σχεδὸν δρθήν κατάσβεσιν ἐπὶ ἔδρας (001) (δοπτικῶς «μονοκλινεῖς»), ἀκτινογραφικῶς ἀποδεικνύονται μὲ τὸ μέγιστον τῆς τρικλινικότητος (*Soldatos*, 1962, *Laves* und *Soldatos*, 1963). Ἐνταῦθα δέον ἐπίστης νὰ ἀναφέρωμεν τὴν ύπὸ τῶν *Hafner* καὶ *Laves* (1957) δι’ ὑπερύθρου ἀκτινοβολίας ἐπιτυχῶς ἐφαρμοσθεῖσαν μέθοδον ἐρεύνης τῶν ἀστρίων ἵδιᾳ εἰς τὰς περιπτώσεις, καθ’ ἀς αἱ ἀκτῖνες X δὲν δίδουν σαφῆ σημεῖα διακρίσεως μονοκλινοῦς ἢ τρικλινοῦς εἰκόνος τοῦ δρθοκλάστου λόγῳ τῆς σμικρότητος τῶν ἀπαρτιζόντων αὐτὸν κατὰ *Mallard* «δομικῶν στοιχείων».

Ἐκ τῶν ἀνωτέρω καταφαίνεται ὅτι τὸ δρθόκλαστον δὲν δύναται νὰ θεωρηθῇ ὡς συγκεκριμένη φάσις. Οἱ *Goldsmith* καὶ *Laves* (1954) ἀναφέρουν «...that “orthoclas” is a “group” term and cannot be considered as a unique phase». Ἐν τούτοις ἔχομεν τὴν γνώμην τόσον διὰ λόγους ἴστορικοὺς ὅστον καὶ περιγραφικῆς πετρογραφίας ὅτι δὲν δυνάμεθα νὰ καταργήσωμεν τὴν ἔννοιαν «δρθόκλαστον», παρὰ τὸ γεγονός ὅτι διὰ τῶν πειραμάτων τῶν *Brun*, *Hafner*, *Hartmann*, *Laves* καὶ *Staub* (1960) ἐπὶ τοῦ μαγνητικοῦ πυρηνικοῦ συντονισμοῦ (magnetische Kernresonanz) τοῦ μικροκλινοῦς καὶ σανιδίνου ἔδειχθη ὅτι εἰς τὸν πρῶτον ὑπάρχει πράγματι ταξινομημένη διάταξις τῶν Al/Si, ἐνῷ εἰς τὸ δεύτερον ὅχι, καὶ κατὰ συνέπειαν δύνανται μόναι αἱ δύο ὄψαι μορφαὶ νὰ ληφθῶσιν ὡς βασικοὶ τύποι δλων τῶν παραλλαγῶν τοῦ *KAlSi<sub>3</sub>O<sub>8</sub>*.

### Περιεκτικότης εἰς νάτριον - Περθῖται

Συνήθως τὰ σανίδινα δὲν εἶναι ὡς πρὸς τὴν χημικὴν τῶν σύστασιν καθαροὶ καλιούχοι ἀστριοὶ ἀλλὰ περιέχουν νάτριον εἰς ἀντικατάστασιν τοῦ καλίου. Ὁ νατριούχος ἀστριος εὑρίσκεται ἐντὸς τοῦ καλιούχου εἴτε ύπὸ μορφὴν μεικτοῦ κρυστάλλου εἴτε ύπὸ μορφὴν περθίτου. Ἡ πρώτη περίπτωσις εἶναι ἀποτέλεσμα τοῦ εἰς ὑψηλὴν θερμοκρασίαν σχηματισμοῦ τοῦ ἀστρίου, ἡ δευτέρᾳ συναντᾶται ὡς ἐπὶ τὸ πολὺ εἰς τοὺς χαμηλῆς θερμοκρασίας σχηματισμούς. Ἐν τούτοις παρετηρήθησαν συχνὰ περθιτικαὶ μορφαὶ

καὶ εἰς σανίδινα. Ἐπειδὴ δῆμος οἱ περθῖται διακρίνονται εἰς μακρό-, μικρό- καὶ κρυπτό - περθίτας (*Soldatos*, 1962, *Laves* und *Soldatos*, 1963), πρέπει νὰ τονίσωμεν ὅτι ἐνταῦθα ἀναφερόμεθα κυρίως εἰς κρυπτοπερθιτικάς μορφάς, ἢτοι εἰς μορφάς, αἵτινες δὲν δύνανται διὰ τοῦ μικροσκοπίου νὰ διακριθοῦν, ἡ παρουσία τῶν δῆμων γίνεται ἀντιληπτή διὰ τῶν ἀκτίνων X ἢ διὰ τῶν ύπερύθρων. Ὁ *Tuttle* (1952) χρησιμοποιῶν ὡς κριτήριον τὴν γωνίαν τῶν ὀπτικῶν ἀξόνων καὶ τὴν θέσιν τοῦ ἐπιπέδου αὐτῶν ταξινομεῖ τὰ σανίδινα εἰς δύο σειράς: 1. τὴν κρυπτοπερθιτικήν σειρὰν σανιδίνου-ἀνορθοκλάστου καὶ 2. τὴν σειρὰν ψισανιδίνου - ψιαλβίτου (ἀναλβίτου), ἢτις ἐνδέχεται νὰ εἴναι κρυπτοπερθιτική, ἢ καὶ ὅχι. Κατὰ πόσον αἱ ἀπόψεις αὗται ἔχουν γενικήν ἴσχυν εἴναι ἐν ἐκ τῶν μελημάτων τῆς παρούσης μελέτης.

### Μορφαὶ ἀλβίτου - Σύγκρισις μὲ τοὺς καλιούχους ἀστρίους

Ἐπειδὴ ἀνωτέρω ἀνεφέρθη ὅτι τὰ σανίδινα δὲν εἴναι χημικῶς καθαραὶ μορφαὶ καλιούχου ἀστρίου, ἀλλὰ περιέχουν σημαντικήν ποσότητα νατρίου, θεωροῦμεν σκόπιμον νὰ ἀναφέρωμεν ἐν συντόμῳ τὰς κρατούσας νεωτέρας ἀντιλήψεις ἐπὶ τῶν μορφῶν τοῦ ἀλβίτου, ἢτοι συγκεκριμένως ἢν υπάρχουν καὶ εἰς τὸν νατριοῦν ἄστριον ἀντίστοιχοι καταστάσεις ψηλῆς καὶ χαμηλῆς θερμοκρασίας σχηματισμῶν ὡς καὶ εἰς τὸν καλιοῦχον.

Οἱ *Bowen* καὶ *Tuttle* (1950) εὗρον ὅτι αἱ συνθετικαὶ ἑνώσεις  $KAlSi_3O_8$  καὶ  $NaAlSi_3O_8$  - σχηματισμοὶ ψηλῆς θερμοκρασίας - ἀποτελοῦν μίαν συνεχῆ σειρὰν μεικτῶν κρυστάλλων, τῶν ὁποίων τὰ διαγράμματα κόνεως μεταβάλλονται συνεχῶς ἀπὸ τοῦ ἐνὸς μέλους μέχρι τοῦ ἄλλου, ἀπὸ ὀπτικῆς δῆμως ἀπόψεως πρὸς τὴν πλευρὰν τοῦ καλίου ἔχομεν μονοκλινῆ ὀπτικήν, πρὸς τὴν πλευρὰν τοῦ νατρίου ἀντιθέτως τρικλινῆ. Οἱ *Laves* καὶ *Chaisson* (1950) προσδιώρισαν τὰς γωνίας τοῦ πλέγματος τοῦ τρικλινοῦντος αὐτοῦ συνθετικῶν παρασκευασθέντος νατριούχου ἀστρίου, δὲ ὁποῖος ὑπὸ τῶν *Bowen* καὶ *Tuttle* (1950) ἐκλήθη ψιαλβίτης (High-Albite) καὶ ὑπὸ τοῦ *Laves* (1952) ἀναλβίτης (High-Albite). Ὁ δρος ἀναλβίτης ἔχρησιμοποιήθη δι' ἀνάλογον περίπτωσιν τὸ 1925 ὑπὸ τοῦ *Winchell* (1951), ἔνεκα δὲ τούτου δὲν προετιμήθη ὑπὸ τοῦ *Laves* ὁ δρος High-Albite. Ἐκ τῆς συγκρίσεως τῶν γωνιῶν τοῦ πλέγματος σανιδίνου - μικροκλινοῦς ἀφ' ἐνὸς, καὶ ἀναλβίτου - ἀλβίτου ἀφ' ἑτέρου, ἔθεμελιώθη ἡ ὑπόθεσις ὅτι ἀπὸ ἀπόψεως κατανομῆς τῶν  $Al/Si$  ἐντὸς τοῦ πλέγματος πρέπει νὰ υπάρχουν ἀναλογίαι σανιδίνου - ἀναλβίτου (μορφαὶ ψηλῆς θερμοκρασίας, μὴ ταξινομημένη διάταξις) καὶ μικροκλινοῦς - ἀλβίτου (μορφαὶ χαμηλῆς θερμοκρασίας, ταξινομημένη διάταξις). Τὸ τελευταῖον ἀπεδείχθη καὶ πειραματικῶς, ὡς ἐν τοῖς προηγουμένοις ἀνεφέρθη, διὰ μετατροπῆς ἀλβίτου εἰς μικροκλινῆ δι' ἐναλλαγῆς νατρίου - καλίου (*Laves*, 1951). Οἱ *MacKenzie* (1952) καὶ *Laves* (1952) εὗρον ἀνεξαρτήτως ἀλλήλων ὅτι ἡ

κατὰ Friedel (1926) καλούμενη λοξότης (obliquité) - ἀπόκλισις ἐκ τῆς μονοκλινοῦς συμμετρίας - ἐλαττοῦται εἰς τὴν περίπτωσιν τοῦ ἀναλβίτου<sup>1</sup> αὐξανομένης τῆς περιεκτικότητος εἰς κάλιον, ἢ αὐξανομένης τῆς θερμοκρασίας, ἢ αὐξανομένων ἀμφοτέρων. Οὕτως αὕτη εἶναι μηδὲν (μονοκλινής συμμετρία) εἰς συνήθη θερμοκρασίαν διὰ περιεκτικότητα 33-35% εἰς μόρια  $KAlSi_3O_8$ , ἐνῷ διὰ νὰ παραμείνῃ σχεδὸν μηδὲν εἰς τὸν καθαρὸν ἀναλβίτην (0%  $KAlSi_3O_8$ ), πρέπει ἡ θερμοκρασία νὰ ἀνέλθῃ εἰς τοὺς 1000° περίπου. Εἰς τὴν συνήθη θερμοκρασίαν ἡ σύγκρισις τῶν γωνιῶν τοῦ ἀντιστρόφου πλέγματος λαμβανομένων καταστάσεων τῆς αὐτῆς κατανομῆς Al/Si (Unordnung-Ordnung), παρέχει τὴν ἔξῆς εἰκόνα:

Αναλβίτης	$\alpha^*=86^\circ 02'$	Σανίδινον	$\alpha^*=90^\circ$
	$\gamma^*=88^\circ 15'$		$\gamma^*=90^\circ$
Αλβίτης	$\alpha^*=86^\circ 22'$	Μικροκλινής	$\alpha^*=90^\circ 20'$
	$\gamma^*=90^\circ 30'$		$\gamma^*=92^\circ 20'$
Διαφορὰ γωνιῶν $\alpha^*$ Νατριούχου ἀστρίου			20'
»      » $\alpha^*$ Καλιούχου	»		20'
»      » $\gamma^*$ Νατριούχου	»	2°	15'
»      » $\gamma^*$ Καλιούχου	»	2°	20'

Ἐξ αὐτῶν συνάγεται ὅτι ἡ σχέσις ἀναλβίτου - ἀλβίτου εἶναι ἀνάλογος τῆς σχέσεως σανίδινου - μικροκλινοῦς. Ἐν τούτοις πρέπει νὰ σημειώσωμεν τὴν ἔξῆς διαφορὰν συμπεριφορᾶς τῶν δύο συστημάτων: ὃς εἶναι γνωστόν, ὁ μικροκλινής καὶ ὁ ἀλβίτης διὰ θερμάνσεως ἐπὶ πολλὰς ἑβδομάδας εἰς θερμοκρασίαν 1050°- 1070° δύνανται νὰ μετατραποῦν εἰς σανίδινον καὶ ἀναλβίτην ἀντιστοίχως. Εἰς τὴν περίπτωσιν τοῦ καλιούχου ἀστρίου ἔχομεν μετατροπὴν τῆς τρικλινοῦς εἰς μονοκλινή μορφὴν - ἥτοι ἐφαρμογὴν τοῦ κανόνος ὅτι ὑψηλοτέρα θερμοκρασία ὑποβοηθεῖ ἀνωτέραν συμμετρίαν - ἥ μορφὴ δ' αὕτη παραμένει κατὰ τὴν ψῦξιν. Ἀντιθέτως εἰς τὴν περίπτωσιν τοῦ νατριούχου ἀστρίου φαινομενικῶς τοῦλάχιστον δὲν ἔχομεν ὁμοίαν κατάστασιν. Ἐν τούτοις πειράματα τῶν Baskin (1956) καὶ Schneider (1957) ἔδειξαν ὅτι μονοκρύσταλλος ἀλβίτου θερμαινόμενος ἐπὶ μακρὸν εἰς 1050° καὶ ἀκολούθως ἀφιέμενος πρὸς ψῦξιν δεικνύει μονοκλινή διπτικήν συμπεριφοράν. Ἀκτινογράφημα δύμως τοῦ ὑλικοῦ αὐτοῦ παρουσιάζει τρικλινή κατάστασιν εἰς ὑπομικροσκοπικήν πολυδυμίαν κατὰ τὸν νόμον τοῦ μικροκλινοῦς (συνδυασμὸς ἀλβίτικῆς - περικλινοῦς διδυμίας). Ἐκ τούτου ἄγεται τις εἰς τὸ συμπέρασμα ὅτι εἰς τὴν ὑψηλὴν θερμοκρασίαν μετετράπη ὁ ἀλβίτης εἰς μονοκλινή. Ὁ μονοκλινής οὗτος ἀλβίτης, κληθεὶς μ ο ν α λ-

<sup>1</sup> Ὁ ὅρος ἀναλβίτης δὲν πειροίζεται μόνον εἰς τὸ χημικῶς καθαρὸν νατριούχον μέλιος (ἀναλογίᾳ πρὸς τὸ σανίδινον, Laves, 1960).

βίτης, δὲν είναι σταθερός, ως τὸ σανίδινον, ἀλλὰ μεταβάλλεται ἀκαριαίως κατὰ τὴν ταχείαν ψυξίν διὰ μετατροπῆς ἐκ μετατοπίσεως<sup>1</sup> εἰς ἀναλβίτην. Η θερμοκρασία μετατροπῆς ὑπελογίσθη εἰς τοὺς 980 ° (Laves, 1960). Εν τούτοις ὁ Brown (1960) ἐπέτυχεν ὑπὸ ὥρισμένας συνθήκας νὰ φέρῃ τὸν μοναλβίτην σταθερὸν μέχρι τῆς συνήθους θερμοκρασίας. Μὲ τὴν περίπτωσιν τοῦ μοναλβίτου θέλομεν ἀσχοληθῆ ἐκ νέου κατὰ τὴν περιγραφὴν τῆς ὑφοῦ ἡμῶν τὸ πρῶτον παρατηρηθείσης μονοκλινοῦς μορφῆς κρυπτοαλβίτου εἰς ἓν ἐκ τῶν ἔξετασθέντων σανιδίνων. Σημειοῦμεν μόνον ἐνταῦθα ὅτι ὁ ἐν τῇ βιβλιογραφίᾳ (Rosenbusch - Muegge, 1927) ἀναφερόμενος ως παρατηρηθεὶς ἐν τῇ φύσει μονοκλινῆς ἀλβίτης ὑπὸ τὸ ὄνομα μπαρμπιτερίτης (Barbierit) ἀπεδείχθη μὴ ἀνταποκρινόμενος πρὸς τὴν πραγματικότητα. Ο Barth (1929) πρῶτος ἡμφεσβήτησε τὰ ἀποτελέσματα τῶν Barbier καὶ Prost ἐπὶ τοῦ ἐν λόγῳ ἀστρίου ἐκ τοῦ Krageroe τῆς Νορβηγίας. Οὗτος ἀργότερον προσδιωρίσθη ὑπὸ τῶν Schneider καὶ Laves (1957) ἐπὶ τῇ βάσει ἀκτινογραφημάτων ως περθιτικὸς μικροκλινῆς εἰς ὑπομικροσκοπικὴν πολυδυμίαν, φερόμενος ἐκ τούτου δόπτικῶς ως μονοκλινῆς (βλ. ἀναλόγους περιπτώσεις εἰς Soldatos, 1962, Laves und Soldatos, 1963).

### Κυριώτερα προβλήματα τῆς παρούσης μελέτης

Κατόπιν τῆς ἐν γενικαῖς γραμμαῖς ἐκθέσεως τῶν κυριωτέρων κρατουσῶν ἀπόψεων ἐπὶ τῶν σανιδίνων ἐν τῷ πλαισίῳ τῆς ὀδιάδος τῶν ἀλκαλιούχων ἀστρίων, παραθέτομεν κατωτέρω τὰ κυριώτερα προβλήματα, εἰς τὴν διερεύνησιν τῶν ὁποίων ἀπέβλεψεν ἡ παρούσα ἔρευνα.

1) Ποία θέσις τοῦ ἐπιπέδου τῶν δόπτικῶν ἀξόνων (E.O.A.) εἶναι περισσότερον διαδεδομένη εἰς τὰ σανίδινα; Υπάρχει σχέσις ἔξωτερικῆς μορφῆς καὶ θέσεως τοῦ E.O.A.;

2) Παρατηρεῖται πάντοτε κατὰ τὴν πύρωσιν ἀλλαγὴ τοῦ E.O.A. ἀπὸ θέσεως καθέτου ἐπὶ τὸ (010) εἰς παράλληλον πρὸς τοῦτο;

3) Εἶναι δυνατὸς καὶ δρθὸς ὁ χαρακτηρισμὸς εἰς ὑψι - καὶ χαμαι - μορφὴν ἐπὶ τῇ βάσει μόνον τῶν δόπτικῶν δεδομένων τῶν σανιδίνων;

4) Υπάρχει σχέσις μεταξὺ γωνίας δόπτικῶν ἀξόνων καὶ χημικῆς συστάσεως (περιεκτικότης εἰς ἀλβίτην);

<sup>1</sup> Κατὰ τὴν μετατροπὴν ἐκ μετατοπίσεως (displacive transformation κατὰ Buerger, 1948), οἷα εἶναι ἡ μετατροπὴ α/β μορφῶν (π.χ. χαλαζίας, τριδυμίτης), δὲν ἔχομεν εἰς τοὺς ἀστρίους μεταβολὴν τῆς κατανομῆς Al/Si. Ἀντιθέτως αὕτη μεταβάλλεται εἰς τὴν μετατροπὴν ἐκ διαχύσεως (diffusivie transformation), ως ἐν τοῖς προηγούμενοις ἀνεφέρθη, εἰς τὴν περίπτωσιν σανιδίνου μικροκλινοῦς. Η πρώτη γίνεται ταχέως, ἐνῷ ἡ δευτέρα ταχέως ἔως βραδέως. Ως παράδειγμα μετατροπῆς ἐκ διαχύσεως ἀναφέρεται ἡ ἔνωσις Cu<sub>3</sub>Au.

5) Υπάρχουν διαφοραί τοῦ κεκλιμένου διασκεδασμοῦ τῶν διχοτόμων μεταξὺ σανιδίνων ἔχοντων «δόπτικὴν σανιδίνου» καὶ τεχνητῶς διὰ πυρώσεως ἀποκτησάντων ταύτην;

6) Δυνάμεθα μόνον ὅπτικῶς καὶ ἄνευ ἀκτινογραφικῆς ἔξετάσεως νὰ ἀποφανθῶμεν περὶ τῆς κρυπτοπερθιτικῆς καταστάσεως τοῦ σανιδίνου βάσει τῶν καμπύλων *Tuttle*; Εἰς τὴν περίπτωσιν ὑπάρξεως κρυπτοπερθίτου, ποίας μορφῆς ἀπὸ ἀπόψεως ταξινομημένης διατάξεως *Al/Si* εἶναι ὁ κρυπτοαλβίτης;

7) Δύνανται οι δεῖκται διαθλάσεως νὰ χρησιμεύσουν ως ἀπόλυτα κριτήρια διὰ τὴν εὑρεσιν τῆς περιεκτικότητος εἰς ἀλβίτην;

8) Εύρεσις διά τῆς χημικῆς ἀναλύσεως τῆς συστάσεως τῶν σανιδίνων τῆς παρούσης μελέτης πρὸς διαπίστωσιν ἐνδεχομένης ὑπάρξεως, ἐκτὸς τοῦ νατρίου ὡς ὑποκαταστάτου τοῦ καλίου καὶ ἄλλων στοιχείων, ὅπως ἀσβεστίου καὶ βαρίου.

9) Ποία ή πιθανωτέρα έξήγησις του σχηματισμού ζωνωδῶν σανιδίνων;

10) Δύναται εις σλας τάς περιπτώσεις νὰ γίνη διάκρισις όρθοκλάστου - σανιδίνου καὶ ἐπὶ ποιών κριτηρίων πρέπει νὰ βασίζεται αὕτη;

## ΟΠΤΙΚΟΝ ΜΕΡΟΣ

### Μέθοδος

Πρίν ή είσέλθωμεν εις τὴν ὀπτικὴν ἐξέτασιν τῶν σανιδίνων ἀναφέρομέν τινα ἐν συντόμῳ ἐπὶ τοῦ τρόπου ἐργασίας ἡμῶν: Διὰ τὴν λῆψιν καλῶν κωνοσκοπικῶν εἰκόνων καὶ μέτρησιν τῆς γωνίας τῶν ὀπτικῶν ἀξόνων ἐλήφθησαν προσανατολισμέναι τομαὶ κάθετοι ἢ περίπου κάθετοι πρὸς τὸν ἄξονα α τοῦ κρυστάλλου. Τοῦτο, διότι τὸ σανίδινον εἶναι ὀπτικῶς ἀρνητικὸν καὶ ἡ δξεῖα διχοτόμος σχηματίζει συνήθως γωνίαν  $5^{\circ}$  -  $7^{\circ}$  μὲ τὸν ἄξονα α (Εἰκ. 1, 2). Εἰς τὴν περίπτωσιν μὴ ἰδιομορφίας τῶν κρυστάλλων ἡ κατεύθυνσις α εὑρίσκετο ἐκ τῶν δύο σχισμῶν (010) καὶ (001). Ἀκριβῶς λόγῳ τοῦ δτι αἱ τομαὶ ἐγένοντο πάντοτε καθέτως πρὸς τοὺς δύο σχισμούς, ἡ παρασκευὴ αὐτῶν συνήντησεν ἀρκετὰς δυσκολίας ἵδιᾳ εἰς τὴν περίπτωσιν μικρῶν κρυστάλλων. Τὸ πάχος τοῦ παρασκευάσματος εὑρέθη καταλληλότερον εἰς τὴν περιοχὴν τῶν  $0,2$  -  $0,3$  χιλιοστῶν, ἥτοι πολὺ μεγαλύτερον τοῦ συνήθους τῶν πετρογραφικῶν παρασκευασμάτων ( $0,02$  mm). Οὕτω, ἀφ' ἐνὸς μὲν αἱ κωνοσκοπικαὶ εἰκόνες καθίστανται καλύτεραι, ἀφ' ἑτέρου δὲ διασκεδασμὸς τῶν ὀπτικῶν ἀξόνων σαφέστερος. Ὁ τελευταῖος οὗτος χρησιμοποιεῖται διὰ τὸν ἔλεγχον τῆς θέσεως τοῦ ἐπιπέδου τῶν ὀπτικῶν ἀξόνων, ἵδιᾳ εἰς τὴν περίπτωσιν καθ' ἥν ἔχομεν ἔνομορφους κρυστάλλους, ἡ εἶναι ἀσαφῆς ἢ ἀπ' ἀλλήλων διάκρισις τῶν σχισμογενῶν ἐπιπέδων (001) καὶ (010), διώσδήποτε ὅμως ἔχει γενικὸν χαρακτῆρα. Οὕτω τὸ E.O.A. εἶναι κάθετον ἐπὶ τὴν ἔδραν (010) ἐὰν  $\rho > \nu$ , παράλληλον δὲ ἐὰν  $\rho < \nu$ . Ἡ γωνία  $2V$  τῶν ὀπτικῶν ἀξόνων ἐμετρεῖτο ἐπὶ τραπέζης Fedorov διὰ κωνοσκοπικὴν ἐξέτασιν (U-Tisch-Konoskop), ἥτις ἐπιτρέπει τὴν μέτρησιν τῆς γωνίας  $2V$  - κύριαι ἴσογυροι εἰς διαγώνιον θέσιν - κατ' εὐθεῖαν ἐπὶ τοῦ ὀργάνου διὰ στροφῆς τοῦ τυμπάνου τῆς τραπέζης μεταξὺ τῶν δύο ἄκρων θέσεων, καθ' ὃς ἔκαστος ὀπτικὸς ἄξων συμπίπτει μὲ τὸν ἄξονα τοῦ μικροσκοπίου. Ἡ τοιαύτη λῆψις κωνοσκοπικῆς εἰκόνος ἐπὶ τῆς τραπέζης Fedorov, ἐπιτυγχανομένη δι' εἰδικῆς διατάξεως, ἐφαρμόζεται ἀπό τινων ἐτῶν καὶ ἐπιτρέπει μετρήσεις πολὺ μεγαλυτέρας ἀκριβείας ἢ διὰ τῆς συνήθους μέχρι τοῦδε χρησιμοποιουμένης δρθοσκοπικῆς μεθόδου. Ἐν προκειμένῳ τὸ σφάλμα μετρήσεως εἶναι μικρότερον τοῦ ἡμίσεος τῆς μοίρας (βλ. καὶ Munro, 1963). Ἐπὶ τούτοις ἀναφέρεται χαρακτηριστικῶς δτι, ἐφ' ὅσον ἐπιτευχθῇ πολὺ καλὴ ρύθμισις

τοῦ μικροσκοπίου καὶ τῆς ἐπ' αὐτοῦ εύρισκομένης τραπέζης Fedorov διὰ κωνοσκοπικήν ἔξετασιν (U-Tisch-Konoskop), δύναται τις νὰ ἐπιτύχῃ ἀκριβεῖς μετρήσεις ὁπτικῶν γωνιῶν εἰσέτι καὶ εἰς κρυστάλλους μεγέθους κλάσματος τοῦ χιλιοστοῦ, ὡς συνέβη εἰς τὴν περίπτωσιν τῶν ἀκτινογραφηθέντων ὑφ' ἡμῶν κρυστάλλων (βλ. ἀκτινογραφικὸν μέρος).

Διὰ νὰ ἐλεγχθῇ καλύτερον ὁ διασκεδασμὸς σχεδὸν ὅλαι αἱ μετρήσεις ἐγένοντο διὰ μονοχρωματικῶν φίλτρων συμβολῆς (Interferenzfilter), τοῦ Οἴκου Schott - Jena εἰς τὰ ἔξης μήκη κύματος:  $\lambda=449$  μμ (HW 19) εἰς τὴν περιοχὴν τοῦ κυανοῦ,  $\lambda=589$  μμ (HW 20) εἰς τὴν περιοχὴν τοῦ κιτρίνου καὶ  $\lambda=653$  μμ (HW 15) εἰς τὴν περιοχὴν τοῦ ἐρυθροῦ (HW Halbwertsbreite). Διὰ τὰς μικροσκοπήσεις ἐχρησιμοποιήθησαν τὰ μικροσκόπια ἐρεύνης τῶν Οἰκών Leitz καὶ Zeiss τοῦ Ἐργαστηρίου Ὀρυκτολογίας.

### Περιγραφὴ καὶ ὁπτικὴ ἔξετασις τῶν σανιδίνων

#### Σανίδινα Ἀψάλου - Μαυροβουνίου.

Τὰ σανίδινα τῆς ἡφαιστειακῆς περιοχῆς (κυρίως ἐκ τόφφων) Ἀψάλου (Ἐδέσσης) - Μαυροβουνίου (Σκύδρας), συναντώμενα ἐντὸς κυρίως τραχειτῶν καὶ κατὰ δεύτερον λόγον τραχειανδεσιτῶν, ἔχουν κατὰ κανόνα πλακώδη ἀνάπτυξιν κατὰ (010), ἥτοι τὴν τυπικὴν ἐμφάνισιν σανιδίνου (Εἰκ. 4). Εἶναι τὰ μόνα ἔξι ὄλων τῶν ἔξετασθέντων τὰ ὅποια - ἐφ' ὅσον περιορισθῶμεν εἰς τὴν ἔξωτερην αὐτῶν ἀνάπτυξιν - δύνανται νὰ χαρακτηρισθοῦν ἀνεπιφυλάκτως ὡς σανίδινα (σύγκρινε κατωτέρω ὁπτικὴν αὐτῶν, ὡς καὶ συμπεριφοράν των κατὰ τὴν πύρωσιν). Πλὴν τῆς ἔδρας (010), ἥτις εἶναι ἡ ἐπικρατεστέρα ὄλων, ἀναπτύσσονται ἐπίσης καλῶς αἱ ἔδραι (201) (001) (130) καὶ (110) (Εἰκ. 4). Ἡτοι τὰ σανίδινα αὐτὰ διαφέρουν τῶν τῆς εἰκόνος 2 κατὰ τὸ δτὶ ἐλλείπει σχεδὸν πάντοτε ἡ ἔδρα (101), ἐνῷ εἶναι καλῶς ἀνεπτυγμέναι αἱ ἔδραι (201) καὶ (130). Ἀλλο μορφολογικὸν χαρακτηριστικὸν αὐτῶν εἶναι ὅτι πάντοτε ἐμφανίζονται εἰς διδύμους κατὰ Karlshbad, καὶ μάλιστα συνήθως τῆς d-μορφῆς. Οὐδὲν πλακώδες σανίδινον εὑρέθη μὴ ἔχον τὴν διδυμίαν ταύτην. Πολλάκις συναντῶνται διεισδύσεις ἐνὸς διδύμου εἰς ἔτερον διδύμον Karlsbad σχηματιζομένης τῆς συμφύσεως κατὰ Klockmann. Αἱ ἄλλαι μορφαὶ διδυμίας δὲν συνηντήθησαν. Τὸ μέγεθος αὐτῶν ποικίλλει ἔξικνούμενον ἐνίοτε μέχρι 10 ἑκατοστῶν κατὰ τὴν μεγαλυτέραν διάστασιν αὐτῶν. Σανίδινα πρισματικὰ κατὰ [100] δὲν εἶναι τόσον διαδεδομένα εἰς τὴν περιοχὴν ταύτην.

Ὑπὸ τὸ μικροσκόπιον ἀποδεικνύονται ἐλαφρῶς ζωνώδη περιέχοντα ἐγκλείσματα πλαγιοκλάστων ἡ φεμικῶν ὀρυκτῶν τῶν φιλοξενούντων αὐτὰ πετρωμάτων (κεροστίλβη, βιοτίτης). Τὸ E.O.A. κεῖται καὶ τοῦ ἐπὶ

τὸ (010). Εἰς ὑπὲρ τὰ ἔκατὸν σκλῆθρα κρυστάλλων (ἄνευ παρασκευῆς εἰδικῶν τομῶν) ληφθέντων ἐντελῶς τυχαίως ἐκ διαφόρων πετρωμάτων πρὸς ἔλεγχον τοῦ διασκεδασμοῦ τῶν ὀπτικῶν ἀξόνων, καὶ κατ' ἐπέκτασιν τῆς θέσεως τοῦ ἐπιπέδου αὐτῶν, οὐδεμίᾳ ἐξαίρεσις παρετηρήθη, τοῦ διασκεδασμοῦ πάντοτε ὅντος ρ>ν.

Ἡ γωνία τῶν ὀπτικῶν ἀξόνων κυμαίνεται ἀπὸ σανιδίνου εἰς σανιδίνου ὡς ἐπίσης ἐντὸς καὶ τοῦ αὐτοῦ κρυστάλλου. Οὕτως εἰς τὸ σανιδίνον τῆς Ἀψάλου, τὸ ὄποιον ἐχρησιμοποιήθη ἐπίσης διὰ τὴν χημικὴν ἀνάλυσιν, ἀκτινογραφικὴν ἐξέτασιν καὶ πύρωσιν, ἐπὶ 25 μετρήσεων ἡ γωνία 2V ἐκυμαίνετο μεταξὺ 28° καὶ 37°. Αἱ ὑψηλότεραι τιμαὶ παρετηρήθησαν κατὰ τὸ μᾶλλον ἡ ἥττον πρὸς τὸν πυρῆνα τοῦ κρυστάλλου καὶ αἱ χαμηλότεραι πρὸς τὴν περιφέρειαν, χωρὶς αὐτὸν νὰ ἀποτελῇ κανόνα, διότι εὑρέθησαν καὶ ἐνδιάμεσοι ζῶναι τόσον μὲν χαμηλοτέρας ὅσον καὶ ὑψηλοτέρας τιμάς. Ἀναγράφονται κατωτέρω ὠρισμέναι μετρήσεις 2V τῶν περαιτέρω μελετηθέντων σανιδίνων (ἀνάλυσις, ἀκτινογραφικὴ ἐξέτασις, πύρωσις) τῆς περιοχῆς αὐτῆς εἰς τὰ τρία ἀναφερθέντα μήκη κύματος, ἐξ ὧν ἐμφαίνεται χαρακτηριστικῶς ὁ διασκεδασμὸς ρ>ν.

Σανιδίνον Ἀψάλου			Σανιδίνον Μαυροβουνίου		
λ=449	589	653 μμ	λ=449	589	653 μμ
28,5°	31°	33,5°	29,5°	31°	32,5°
27°	29°	31°	30°	32,5°	34°
28°	30,5°	32°	30°	31,5°	33°
31°	34°	36°	30,5°	32,5°	34°
30°	33°	35°	29°	31°	33°

Εἰς σχισμογενεῖς τομὰς (010) καὶ (001), αἵτινες εἶναι αἱ καταλληλότεραι θέσεις διὰ τὴν παρατήρησιν τῶν περθιτῶν (*Laves und Soldatos*, 1963) οὐδὲν περθιτικὸν φαινόμενον ἐξηκριβώθη. Ως θὰ ᾖ ωμεν ἀργότερον, ἀκτινογραφικῶς ἐπίσης διεπιστώθη κρυπτοπερθίης, ὅστις δὲν εἶναι δρατὸς μικροσκοπικῶς.

Ἐπὶ τομῶν (010) ἡ γωνία  $n_a \wedge a$  εὑρέθη μεταξὺ 6° καὶ 7°.

#### Σανιδίνον Κακουροῦ (Αλμωπίας)

Τὰ σανιδίνα τῶν ἡφαιστιτῶν τῆς Ἀλμωπίας μελετηθέντα ὑπὸ τοῦ συγγραφέως κατὰ τὴν ἔρευναν τῶν ἡφαιστιτῶν τῆς περιοχῆς αὐτῆς (*Σολδάτος* 1955) παρουσιάζουν τὸ E.O.A. εἰς θέσιν καὶ θετον ἐπὶ τὸ (010). Ἐν τούτοις κατὰ τὴν ἐξ ὑπαρχῆς συστηματικὴν διαλογὴν κρυστάλλων πρὸς συλλογὴν ὄλικοῦ διὰ τὴν παροῦσαν μελέτην εὑρομεν σανιδίνον ἐντὸς ἡφαιστειακοῦ ἀναβλήματος ἐκ τῶν τόφφων τοῦ Ἡφαιστείου τῆς Κακουροῦ, εἰς

τὸ ὄποιον παρετηρήθη διασκεδασμὸς ὀπτικῶν ἀξόνων μὲ ρ<υ, δηλ. μὲ E.O.A. παράλληλον πρὸς τὸ δεύτερον πινακοειδές. Ὅτο δ μοναδικὸς κρύσταλλος ὅστις κατὰ τὸ πλεῖστον ἐδείκνυεν ὅ πτικὴν σανιδίνου. Γράφομεν «κατὰ τὸ πλεῖστον», διότι εἰς λεπτομερεστέραν ἔξέτασιν αὐτοῦ διεπιστώθη ὅτι ὑπάρχουν ἐλάχιστα σημεῖα τοῦ κρυστάλλου, εἰς τὰ ὄποια τὸ E.O.A. εὑρίσκεται εἰς θέσιν κάθετον πρὸς τὴν προηγουμένην ( $\rho > \upsilon$ ). Ἐντὸς τοῦ αὐτοῦ κρυστάλλου ὑπάρχουν καὶ θέσεις μὲ τυπικὴν μονάξονα εἰκόνα. Ἀν καὶ δὲν ἔξηκριβώθῃ συστηματικὴ κατανομὴ τῶν δλίγων τούτων ἔξαιρέσεων, ἐν τούτοις εἰς γενικὰς γραμμὰς δύναται νὰ λεχθῇ ὅτι αἱ ἔξαιρέσεις αὗται συναντῶνται περισσότερον πρὸς τὸ ἐσωτερικὸν τοῦ κρυστάλλου παρὰ πρὸς τὸ περίβλημα αὐτοῦ. Μικροσκοπικῶς παρετηρήθη σαφῆς ζωνώδης δομὴ μὲ ἄφθονα ἐγκλείσματα ίδια πλαγιοκλάστων διατεταγμένα ἐπίσης κατὰ ζώνας. Ἡ γωνία 2V κυμαίνεται ὡς ἐπὶ τὸ πολὺ μεταξὺ  $10^{\circ}$  -  $14^{\circ}$  ( $\rho < \upsilon$ ). Αἱ ἄκραι τιμαὶ αἱ ὄποιαι παρετηρήθησαν εἶναι  $18^{\circ}$  ( $\rho < \upsilon$ ) καὶ  $11^{\circ}$  ( $\rho > \upsilon$ ), δηλ. ἔχομεν ἐν εῦρος  $29^{\circ}$ . Ἐντὸς τῶν ζωνῶν μὲ  $\rho < \upsilon$  εὑρέθησαν τιμαὶ γωνιῶν μεγαλύτεραι πρὸς τὸ ἐξωτερικὸν αὐτῶν ἡ πρὸς τὸ μέρος τὸ εὐρισκόμενον ἐγγύτερον τοῦ πυρῆνος.

Δίδονται κατωτέρω ώρισμέναι τιμαὶ γωνιῶν διὰ τὰ χρησιμοποιηθέντα μῆκη κύματος.

$\lambda = 449$	589	653 m $\mu$
21,5°	18°	17°
17°	13,5°	12°
14°	10,5°	8,5°
15°	11°	9°
2°	5°	7°
7°	11°	12,5°

Έκ τῶν ώς ἄνω τιμῶν οἵ 4 πρόταται ἀναφέρονται εἰς ἐπίπεδον παράλληλον πρὸς τὸ (010), αἱ δύο τελευταῖαι εἰς κάθετον. Ἀξιοσημείωτον εἶναι ὅτι παρετηρήθη καὶ τὸ σπάνιον φαινόμενον καθ' ὃ τὸ E.O.A. διὰ κυανᾶς ἀκτίνας ἡτο παράλληλον πρότι τὸ δεύτερον πινακοειδές, ἐνῷ διὰ τὰς ἐρυθρὰς κάθετον. Σημειωτέον ἐπίσης ὅτι εἰς τὴν περίπτωσιν  $\rho < \nu$  διεπιστώθη κεκλιμένος διασκεδασμὸς τῶν διχοτόμων μὲν ἐντονώτερον σκεδαννύμενον τὸν διπτικὸν ἔξονα A. Ἀνάλογον διπτικήν, ώς θὰ ἴδωμεν, δεικνύουν καὶ τὰ περισσότερα τῶν πυρωθέντων σανιδίνων. Ἐκ τούτου συμπεραίνεται ὅτι τὸ σανίδινον τῆς Κακουροῦ εύρεθη εἰς ὑψηλοτέραν θερμοκρασίαν τῶν ὑπολοίπων τῆς Ἀλμωπίας. Τὸ ὅτι τοῦτο περιείχετο ἐντὸς ήφαιστείου ἀναβλήματος συνηγορεῖ ὑπὲρ τῆς ἀπόψεως ταύτης. Σχετικὴ ἐπ' αὐτοῦ εἶναι καὶ ἡ παρα-

τήρησις τοῦ *Chudoba* (1932) «Sanidine mit symmetrischer Achsenlage werden oft in Auswürflingen angetroffen».

Περθιτικά φαινόμενα εἰς τὸ σανίδινον τῆς Κακουροῦ δὲν συνηντήθησαν.  $n_a \wedge a = 6^{\circ}$ .

### Σανίδινα Δαδιᾶς Θράκης.

Τὰ σανίδινα τῆς Δαδιᾶς (Σουφλίου) ἐλήφθησαν ἐκ τῶν ἡφαιστιτῶν τῆς περιοχῆς αὐτῆς. Τὰ ἐν λόγῳ πετρώματα μελετηθέντα ὑπὸ τοῦ *Pentzepére* (1956) εὑρέθησαν ἀνήκοντα κυρίως εἰς ρυολιθικάς λάβας.

Οἱ κρύσταλλοι εἶναι μικρῶν διαστάσεων. Ὁ μέγιστος εὑρεθεὶς εἶχε διαστάσεις 7 mm, 2 mm καὶ 1,2 mm ἀντιστοίχως παραλλήλως πρὸς τοὺς τρεῖς κρυσταλλογραφικοὺς ἄξονας a, b καὶ c. Ὡρισμένοι ἔξι αὐτῶν εἶναι διαβεβρωμένοι μαγματικῶς παρουσιάζοντες κοιλότητας, ἐνῷ ἄλλοι ἔχουν καλῶς ἀνεπτυγμένας ἔδρας. Οὕτως εἰς κρύσταλλον περιέργως ἀνεπτυγμένον πλακωδῶς κατὰ (001) ἔξηκριβώθησαν αἱ ἔδραι (001) (010) (021) (110) (201) (101) καὶ (111). Πολλοὶ εἶναι πρισματικοὶ κατὰ [100]. Εἰς τοιούτους κρυστάλλους εἶναι μᾶλλον διαδεδομέναι αἱ λίαν σπάνιαι διδυμίαι *Baveno* καὶ *Manebach*. Ἡ εἰκὼν 7 παρουσιάζει μικροσκοπικὴν τομὴν καθέτως πρὸς [100] τριδύμου κρυστάλλου. Δύο ἔρμηνειαι τῶν μορφῶν τῆς διδυμίας εἶναι δυναταῖ:

α) Τμῆμα 1 - Τμῆμα 2 εἰς διδυμίαν δεξιοῦ *Baveno* μὲ ἐπίπεδον διδυμίας (021).

Τμῆμα 2 - Τμῆμα 3 εἰς διδυμίαν ἀριστεροῦ *Baveno* μὲ ἐπίπεδον διδυμίας (021).

Τμῆμα 1 - Τμῆμα 3 εἰς ψευδοδιδυμίαν κατὰ *Manebach*.

β) Τμῆμα 1 - Τμῆμα 3 εἰς διδυμίαν *Manebach* κατὰ (001).

Τμῆμα 1 - Τμῆμα 2 εἰς διδυμίαν δεξιοῦ *Baveno* κατὰ (021).

Τμῆμα 2 - Τμῆμα 3 εἰς ψευδοδιδυμίαν ἀριστεροῦ *Baveno* κατὰ (021).

Τὸ ἀδύνατον τῆς διακρίσεως τῶν δύο περιπτώσεων προέρχεται ἐκ τοῦ ὅτι ἡ ἔδρα (021), ὡς καὶ ἡ ἔδρα (021), σχηματίζει μετὰ τῆς (001) γωνίαν  $44^{\circ} 56'$  ἥτοι ἔχομεν ἀπόκλισιν μόλις 4' ἐκ τῆς γωνίας τῶν  $45^{\circ}$ . Ἔὰν ἡ ἔδρα (021) ἐδιχοτόμει τὴν γωνίαν τῶν ἔδρῶν (001) (010), ὅπότε αἱ (021) καὶ (021) θὰ ἔτεμνοντο καθέτως, αἱ δύο ὡς ἄνω περιπτώσεις θὰ συνέπιπτον εἰς μίαν, ἥτοι θὰ εἴχομεν ἴδεωδη τριδυμίαν δεξιοῦ, ἀριστεροῦ *Baveno*, καὶ *Manebach*, ἐκάστη δὲ ἐπὶ μέρους διδυμίᾳ ἔξι αὐτῶν θὰ ἥτο παράγωγος τοῦ συνδυασμοῦ τῶν δύο ἄλλων. Ἀντιθέτως πρὸς τὴν ὑπαρξίν τῶν σπανίων διδυμιῶν *Baveno* καὶ *Manebach*, ἡ λίαν συνήθης κατὰ *Karlsbad* δὲν ἐπιστοποιήθη.

Ἡ ζωνώδης δομὴ εἶναι λίαν διαδεδομένη. Ἡ μικροφωτογραφία τῆς ὑπὸ ἀριθ. 9 εἰκόνος δεικνύει τομὴν περίπου κάθετον πρὸς τὴν δέξιαν διχο-

τόμον τοῦ κρυστάλλου, ἐξ ἣς ἐμφαίνεται ἡ λίαν λεπτομερής ύφη τῶν ζωνῶν. Λαμβανομένου ὑπ' ὅψιν, λόγῳ τοῦ προσανατολισμοῦ τῆς τομῆς, ὅτι ἡ διπλοθλαστικότης τῶν ζωνῶν εἶναι συνάρτησις τῆς γωνίας τῶν διπτικῶν ἀξόνων, καθίσταται προφανές ἐκ τῆς ἀνωτέρω εἰκόνος ὅτι δὲν ὑπάρχει καθωρισμένη διάταξις, π.χ. πρὸς τὸ κέντρον ἢ πρὸς τὴν περιφέρειαν τοῦ κρυστάλλου, τῶν μεγαλυτέρων ἢ μικροτέρων γωνιῶν τῶν διπτικῶν ἀξόνων. Δὲν ἔχομεν δηλαδὴ ἐκ τοῦ πυρῆνος πρὸς τὴν περιφέρειαν κανονικὴν μετάβασιν ἐκ τιμῶν ὑψηλοτέρων πρὸς χαμηλοτέρας ἢ ἀντιστρόφως. Τοῦτο συνηγορεῖ ὑπὲρ τῆς ἀπόψεως ὅτι ὁ κρύσταλλος δὲν ἀνεπτύχθη ὑπὸ συνεχῶς μεταβαλλομένας θερμικὰς συνθήκας. Ἐπὶ τοῦ σημείου ὅμως τούτου θὰ ἐπανέλθωμεν βραδύτερον κατὰ τὴν διδομένην ύφη ἡμῶν ἐρμηνείαν ἐπὶ τῆς ἀναπτύξεως τῶν ζωνῶν σανίδινων.

Τὸ ἐπίπεδον τῶν διπτικῶν ἀξόνων εἰς περὶ τὰ 20 διπτικῶς ἐξετασθέντα σανίδινα εὑρέθη πάντοτε κάθετον πρὸς τὸ δεύτερον πινακοειδὲς ( $\rho > v$ )<sup>1</sup>. Ἡ γωνία τῶν διπτικῶν ἀξόνων κυμαίνεται ἀπὸ κρυστάλλου εἰς κρύσταλλον ώς καὶ ἀπὸ θέσεως εἰς θέσιν τοῦ αὐτοῦ κρυστάλλου μεταξὺ τῶν τιμῶν 22° καὶ 32°. Παρέχομεν κατωτέρω ὥρισμένας τιμὰς γωνιῶν εἰς τὰ τρία χρησιμοποιηθέντα μῆκη κύματος.

$\lambda=449$	589	653 mμ
19,5°	22°	24°
21,5°	24°	25°
23°	26°	27,5°
27°	29,5°	31,5°
28°	31°	32°

Περθιτικὰ φαινόμενα δὲν παρετηρήθησαν.  $n_a \wedge a = 6^{\circ}$ .

#### Σανίδινα Ροδόπης.

Τὰ σανίδινα τῆς περιοχῆς αὐτῆς εὑρισκόμενα κυρίως ἐντὸς λιπαριτῶν ἐμελετήθησαν διπτικῶς ἀλλαχοῦ ὑπὸ τοῦ συγγραφέως (*Soldatos*, 1961). Πρόκειται συνήθως περὶ κρυστάλλων μεγέθους ὀλίγων χιλιοστῶν ώς ἐπὶ

<sup>1</sup> Εἰς περίπτωσιν διδυμίας κατὰ Baveno, καθ' ἣν τὸ ἐπίπεδον συμφύσεως (021) δὲν διακρίνεται εὐκόλως, ὁ διασκεδασμὸς τῶν διπτικῶν ἀξόνων χρησιμοποιεῖται οὐχὶ μόνον ώς κριτήριον διαφορισμοῦ τῶν ἐπιπέδων (001), (010) ἀπ' ἀλλήλων - ὁμιλοῦμεν πάντοτε περὶ τομῶν περίπου καθέτων πρὸς α - ἀλλὰ καὶ πρὸς διάκρισιν τῆς ἀνωτέρω διδυμίας ἀπὸ τυχὸν ἀλλαγὴν κατὰ 90° τοῦ E.O.A. εἰς ὥρισμένα σημεῖα τοῦ κρυστάλλου, ώς τοῦτο παρετηρήθη εἰς σπανίας τινας περιπτώσεις εἰς σανίδινα ἄλλων περιοχῶν (Κακουροῦ, Λῆμνος). Εἰς τὴν τελευταίαν περίπτωσιν ἔχομεν συγχρόνως καὶ ἀναστροφὴν τοῦ διασκεδασμοῦ.

τὸ πολὺ διδύμων κατὰ Karlsbad. Χαρακτηριστικὸν καὶ ἐνταῦθα εἶναι ὅτι ὁ διασκεδασμὸς  $\rho > \nu$  - ήτοι E.O.A. κάθετον ἐπὶ (010) - ἀποτελεῖ κανόνα. ᾧ γωνίᾳ τῶν O.A. κυμαίνεται μεταξὺ  $13^{\circ}$  καὶ  $22^{\circ}$ . Πρὸς δλοκλήρωσιν τῆς παρούσης μελέτης καὶ σύγκρισιν μετὰ τῶν ἄλλων σανιδίνων ἐπελέγη ἐν ἔξι αὐτῶν ληφθὲν ἐκ τίνος λιπαρίτου τῆς περιοχῆς Διποτάμων - Παρανεστίου εἰς ὃ ἐγένετο χημικὴ ἀνάλυσις ἀναφερομένη εἰς τὸ χημικὸν μέρος.

### Σανίδινα Λήμνου.

Τὰ σανίδινα τῆς νήσου Λήμνου εὑρίσκονται ἐντὸς τραχειτῶν καὶ τραχειανδεσιτῶν, μελετηθέντων μετὰ τῶν ἄλλων ηφαιστειακῶν πετρωμάτων ὑπὸ τῆς Λάβη (1959). Ἡμεῖς ἐνταῦθα περιοριζόμεθα εἰς τὴν ἀποκλειστικὴν μελέτην τῶν σανιδίνων. Πρὸς τοῦτο μετέβημεν κατὰ τὸ θέρος τοῦ 1961 καὶ συνελέξαμεν κρυστάλλους ἐκ διαφόρων σημείων τῆς νήσου. Τὰ περισσότερα ἔξι αὐτῶν προέρχονται ἐκ τῆς περιοχῆς Κάκαβος - Κρικέλι, ὅπου, ὡς ἀναφέρει ἡ Λάβη (1959), «παρουσιάζονται ἐντὸς τοῦ τραχείτου σανίδινα συγκεντρωμένα εἰς ἀσυνήθως μεγάλην ποσότητα καὶ διαστάσεις». Ἐκ τῶν ὑπὲρ τοὺς ἑκατὸν διπτικῶς ἐρευνηθέντων κρυστάλλων ἐκ διαφόρων περιοχῶν τῆς νήσου ἐπελέγησαν δύο, εἰς ἐκ τῆς τοποθεσίας Κάκαβος καὶ εἰς ἐκ τῆς θέσεως Ἀγ. Βαρβάρα (Κάστρο), πρὸς περαιτέρω ἐπεξεργασίαν (χημικὴν ἀνάλυσιν, ἀκτινογραφικὴν ἔξετασιν, πύρωσιν).

Τὰ σανίδινα ἐμφανίζονται μακροσκοπικῶς εἴτε εἰς μονοκρυστάλλους πάντοτε ἀνεπτυγμένους πρισματικῶς κατὰ τὸν ἄξονα α, εἴτε εἰς διδύμους κατὰ Karlsbad. Διδυμίαι κατὰ Manebach (Εἰκ. 5) καὶ Baveno, ἀν καὶ σπανιώτεραι, συνηντήθησαν ἐπίσης. Αἱ ἔδραι (010) καὶ (001) εἶναι αἱ πλέον ἀνεπτυγμέναι. Λόγῳ τοῦ ἀποχωρισμοῦ (Absonderung) σχεδὸν παραλλήλως πρὸς (100), τὸν διποίον παρουσιάζουν οἱ περισσότεροι κρύσταλλοι, εἶναι δύσκολος ἡ ἀποκόλλησις ἐκ τοῦ πετρώματος πλήρως καθ' δλας τὰς ἔδρας ἀνεπτυγμένου κρυστάλλου. Πάντως συνελέγησαν καὶ δλίγοι ἰδιόμορφοι, μεταξὺ τῶν διποίων ὁ τῆς εἰκόνος 6, ὅπου διακρίνονται ἀνεπτυγμέναι ἐπὶ πλέον αἱ ἔδραι (201), (021), (110), (130) καὶ (111). Ἄξιοπρόσεκτον ἀπὸ ἀπόψεως μορφολογίας τῶν μονοκρυστάλλων, ἰδίως τῆς περιοχῆς Κάκαβος - Κρικέλι, εἶναι τὸ ἔξῆς: Ὡς ἀνωτέρω ἀνεφέρθη, οἱ κρύσταλλοι οὗτοι, πρισματικοὶ κατὰ [100], ἔχουν καλῶς ἀνεπτυγμένας τὰς ἔδρας (001) καὶ (010). Ἐὰν τώρα καλέσωμεν  $\lambda_1$  τὴν ἀπόστασιν τῶν ἔδρῶν (010) (010) καὶ  $\lambda_2$  τὴν τῶν ἔδρῶν (001) (001), τότε παρατηρεῖται ὅτι εἰς τοὺς μονοκρυστάλλους ἔχομεν πάντοτε  $\lambda_1 > \lambda_2$ . Χαρακτηριστικὸν εἶναι ὅτι ἐπὶ 68 συλλεγέντων μονοκρυστάλλων τῆς περιοχῆς Κάκαβος - Κρικέλι ποικίλων εἰς μέγεθος<sup>1</sup> εύ-

<sup>1</sup> Μεγαλύτεραι εὑρεθεῖσαι τιμαὶ ἡσαν  $\lambda_1 = 36$  χιλιοστά  $\lambda_2 = 28$  χιλιοστά, μικρότεραι δὲ  $\lambda_1 = 9,5$  χιλιοστά  $\lambda_2 = 7$  χιλιοστά. Παραλλήλως πρὸς α τὰ μεγέθη ἡσαν μεγαλύτερα λόγῳ δμως τοῦ θραυσμοῦ δὲν ἦτο δυνατὸν νὰ εὑρεθῇ τὸ πραγματικὸν μῆκος.

ρέθη ότι ή σχέσις  $\lambda_1 : \lambda_2$  έχει κατά μέσον όρον τήν τιμήν 1,25, τῶν τιμῶν κυμαινομένων μεταξύ 1,15 - 1,35 εἰς τὸν 57 κρυστάλλους, ἥτοι εἰς ποσοστὸν 84%. Μόνον 4 κρύσταλλοι εἶχον τιμὰς ἄνω τοῦ 1,40 καὶ κάτω τοῦ 1,50, οὐδεὶς δὲ μικροτέραν τοῦ 1,10. Ἐπίσης ἀξιοπρόσεκτον εἶναι ότι οὐδεὶς δίδυμος κατὰ Karlshad παρετηρήθη ἔχων τὰς ἀνωτέρω περιγραφείσας σχέσεις τῶν μονοκρυστάλλων. Ἀντιθέτως εἰς τὴν δίδυμίαν Karlshad ἔχομεν πάντοτε ἀρχομένην πλακώδη ἀνάπτυξιν κατὰ (010), ἥτοι  $\lambda_1 < \lambda_2$ . Πάντως ή τυπικὴ πλακώδης μορφὴ τῶν σανιδίνων τῶν περιοχῶν Μαυροβουνίου - Ἀψάλου ἐνταῦθα δὲν παρετηρήθη.

Μικροσκοπικῶς παρουσιάζονται ὅλοι οἱ κρύσταλλοι ζωνώδεις, τῆς γωνίας τῶν δόπτικῶν ἀξόνων μεταβαλλομένης ἀπὸ κρυστάλλου εἰς κρύσταλλον, ἀπὸ ζώνης εἰς ζώνην τοῦ αὐτοῦ κρυστάλλου, πολλάκις δὲ ἐντὸς καὶ τῆς οὐτῆς ζώνης. Εἰς τὴν τελευταίαν περίπτωσιν αἱ ὑψηλότεραι τιμαὶ γωνιῶν παρατηροῦνται πρὸς τὸ ἐσωτερικὸν τῆς ζώνης. Αἱ τιμαὶ τῆς γωνίας τῶν δόπτικῶν ἀξόνων κυμαίνονται κατὰ τὴν Δάβη (1959) μεταξὺ 27° καὶ 35°. Ἀνάλογοι τιμαὶ εὑρέθησαν καὶ ὑφ' ἡμῶν, παρετηρήθησαν δύμας καὶ μικρότεραι ἔξικνούμεναι σπανιώτερον καὶ μέχρι τοῦ μηδενός. Τὸ E.O.A. εἰς ὑπὲρ τοὺς ἔκατὸν ἔξετασθέντας κρυστάλλους ἔξ δλης τῆς νήσου εὑρέθη καὶ θετοντας ἐπὶ τὸ δεύτερον πινακοειδές. Ἡ ὑπὸ τῆς Δάβη παρατηρηθεῖσα θέσις (010) τοῦ E.O.A. εἰς τὰ σανιδίνα τῆς Λήμνου διεπιστώθη ὑφ' ἡμῶν μόνον ὡς ἔξαιρεσις εἰς ὡρισμένα σημεῖα δύο σανιδίνων τῆς Ἀγ. Βαρβάρας (Κάστρο), τοῦ πλείστου τμήματος τῶν κρυστάλλων ἔχοντος τὸ E.O.A. ἐπίσης καθέτως ἐπὶ (010). Εἰδικῶς ἐκ τῶν κρυστάλλων τῆς περιοχῆς Κάκαβος - Κρικέλι, ὅπου συναντῶνται τὰ περισσότερα σανιδίνα, οὐδεὶς εὑρέθη ἔχων «δόπτικὴν σανιδίνου».

Παρέχομεν κατωτέρω ὠρισμένας τιμὰς γωνιῶν τῶν δόπτικῶν ἀξόνων διὰ τοὺς 2 περαιτέρω ἐρευνηθέντας καὶ κατὰ τὰς ὄλλας μεθόδους κρυστάλλους.

a) Περιοχὴ Κάκαβος

$\lambda = 449$	589	653 μμ
25,5°	27,5°	29°
28°	30°	31°
10°	14°	16°
6°	9,5°	12°
16°	18,5°	21°

β) Περιοχὴ Ἀγ. Βαρβάρα

14,5°	16°	18°
18°	20,5°	21,5°
23,5°	26°	28°
17,5°	21°	23,5°
12°	10°	8°

<sup>a</sup> Έκ τῶν τιμῶν τούτων ἐμφαίνεται ὁ διασκεδασμὸς  $\rho > \nu$ , πλὴν τῆς τελευταίας περιπτώσεως ὅπου  $\rho < \nu$  [Ε.Ο.Α. παράλληλον πρὸς (010)]. <sup>b</sup> Η γωνία  $n_a / \lambda$  α εὑρέθη ἐπὶ τοῦ δευτέρου πινακοειδοῦς περὶ τὰς  $6^{\circ}$ . Φαινόμενα περθιτικὰ δὲν παρετηρήθησαν δπτικῶς.

### Σανίδινον Σαμοθράκης.

Τὸ σανίδινον τῆς νήσου Σαμοθράκης (θέσις Βρεχός) ἡτο μονοκρύσταλλος μὲ πρισματικῶς καλῶς ἀνεπτυγμένας, παραλλήλως πρὸς α, τὰς ἔδρας (010) καὶ (001). <sup>c</sup> Η ἀπόστασις τῶν ἔδρῶν (010) (010) ἡτο 2,7 ἑκατοστὰ καὶ τῶν (001) (001) 2,2 ἑκ. δηλαδὴ ὁ λόγος  $\lambda_1 : \lambda_2$  ἡτο περίου 1,23, ἡτοι ἀπὸ μορφολογικῆς πλευρᾶς εἶχομεν ἀνάλογον ἀνάπτυξιν πρὸς τὰ σανίδινα τῆς περιοχῆς Κάκαβος Λήμνου.

<sup>d</sup> Υπὸ τὸ μικροσκόπιον διακρίνονται ἐγκλείσματα ἐξ ἀπατίτου, τιτανίτου, κεροστίλβης καὶ πλαγιοκλάστων. <sup>e</sup> Η ζωνώδης δομὴ ἐπίσης ὑπῆρχεν. <sup>f</sup> Η εἰκὼν 8 παρουσιάζει μικροφωτογραφίαν τμῆματος τοῦ κρυστάλλου, τμηθέντος περίπου καθέτως ἐπὶ τὸν ἀξόνα a, εἰς ἣν ἐμφαίνεται ἡ ζωνώδης ἀνάπτυξις. <sup>g</sup> Η γωνία τῶν δπτικῶν ἀξόνων κυμαίνεται ἀπὸ ζώνης εἰς ζώνην, ὡς καὶ ἀπὸ θέσεως εἰς θέσιν τῆς αὐτῆς ζώνης μεταξὺ  $25^{\circ}$  καὶ  $37^{\circ}$ . Λαμβανομένου ὑπὸ ὄψιν λόγῳ τῆς θέσεως τῆς τομῆς ὅτι εἰς τὴν αὐτὴν διπλοθλαστικότητα ἀντιστοιχεῖ ἡ αὐτὴ γωνία τῶν δπτικῶν ἀξόνων, τοῦ πάχους τῆς τομῆς θεωρουμένου σταθεροῦ καθ' ὅλην τὴν ἔκτασιν αὐτῆς, καθίσταται προφανὲς ἐκ τῆς ἐν λόγῳ εἰκόνος

- α) ὅτι δὲν ὑπάρχει οὐδέμια προτίμησις πρὸς τὸ κέντρον ἢ πρὸς τὴν περιφέρειαν τοῦ κρυστάλλου ωρισμένης τιμῆς γωνιῶν τῶν δπτικῶν ἀξόνων καὶ
- β) ὅτι ἐντὸς τῆς αὐτῆς ζώνης αἱ χαμηλότεραι τιμαὶ γωνιῶν συναντῶνται πρὸς τὸ ἐξωτερικὸν τμῆμα αὐτῆς ἢ πρὸς τὸ ἐσωτερικόν, ἡτοι εἶχομεν καὶ ἐνταῦθα εἰκόνα ἀνάλογον πρὸς τὰ σανίδινα τῆς Λήμνου.

Διασκεδασμὸς δπτικῶν ἀξόνων  $\rho > \nu$ , ἡτοι τὸ ἐπίπεδον αὐτῶν πάλιν κάθετον ἐπὶ τὸ δεύτερον πινακοειδές.

Παρέχομεν κατωτέρω ωρισμένας μετρήσεις τῶν γωνιῶν τῶν δπτικῶν ἀξόνων.

$\lambda = 449$	589	653 mμ
30,5°	33,5°	34,5°
30°	32,5°	33,5°
35°	36,5°	37,5°
23,5°	25°	27,5°
24,5°	26,5°	28,5°

$\text{H}_\gamma \text{ γωνία } n_a \wedge a = 6^\circ$ .

Λόγω τοῦ δτι εἰς τὸν κρύσταλλον τῆς Σαμοθράκης διεπιστώθη ἀκτινογραφικῶς περθιτικὸς κρυπτοαλβίτης, ἐδόθη ἴδιαιτέρα προσοχὴ εἰς τὴν εὑρεσιν διὰ τοῦ μικροσκοπίου περθιτικῶν φαινομένων. Παρετηρήθη μόνον εἰς ώρισμένα σημεῖα ποιύ τις διάχυτος κατάσβεσις, ἡ ὅποια πιθανὸν νὰ δοφείλεται εἰς ὑπομικροσκοπικὸν περθίτην. Τυπικαὶ πάντως περθιτικαὶ ταῖναι ἔχουσαι τὴν χαρακτηριστικὴν διάταξιν τῶν περθιτῶν (βλ. *Soldatos* 1962, *Laves* u. *Soldatos* 1962a) εἰς τομὰς (010) δὲν ἔξηκριβώθησαν.

### Δεῖκται διαθλάσεως

Εἰς τὸν κατωτέρω πίνακα I ἀναγράφονται οἱ δεῖκται διαθλάσεως 7 κρυστάλλων (προερχομένων ἐκ τῶν σανιδίνων τῶν χρησιμοποιηθέντων διὰ τὴν χημικὴν ἀνάλυσιν, ἀκτινογραφικὴν ἔξετασιν καὶ πύρωσιν) τῶν διαφόρων περιοχῶν. Αἱ μετρήσεις ἐγένοντο διὰ καταδύσεως εἰς ὑγρὰ γνωστοῦ δ.δ., χρησιμοποιηθέντος ὡς κριτηρίου τῆς γραμμῆς Becke. Αἱ τιμαὶ ἀναφέρονται εἰς τὸ κίτρινον φῶς (589 τμ). Λαμβανομένης ὑπὸ δψιν τῆς διορθώσεως λόγῳ μεταβολῆς τοῦ δ.δ. συναρτήσει τῆς θερμοκρασίας, τὸ σφάλμα τῶν τιμῶν εἶναι περίπου  $\pm 0.0003$ . Παραπλεύρως ἐκάστου δείκτου σημειούνται ἡ περιεκτικότης εἰς ἀλβίτην (+ ἀνορθίτην) βάσει τῶν καμπύλων τοῦ Tuttle (1952). Εἰς τὴν στήλην «χημικὴ ἀνάλυσις» ἀναφέρεται ἡ μέση περιεκτικότητος εἰς ἀλβίτην (+ ἀνορθίτην) τοῦ χημικῶς ἀναλυθέντος δείγματος, τὸ ὅποιον προήρχετο ἐκ μεγάλου τμήματος τοῦ κρυστάλλου (βλ. χημικὸν μέρος). Ἐνδέχεται δι' ὥρισμένους κρυστάλλους, εἰς οὓς ἐμετρήθησαν οἱ δ.δ., ἡ τιμὴ αὐτὴ νὰ ἀποκλίνῃ ἐλαφρῶς τῆς πραγματικῆς, διότι, ὡς ἔξηκριβώθη ἀκτινογραφικῶς, ὑπάρχουν ἐνίστε τοιαῦται μικραὶ ἀποκλίσεις ἀπὸ θέσεως εἰς θέσιν ἐντὸς τοῦ κρυστάλλου, διποσδήποτε ὅμως μία συγκριτικὴ παρατήρησις ἐπιτρέπει τὴν ἔξαγωγὴν ὥρισμένων συμπερασμάτων οὕτως ἐν γενικαῖς γραμμαῖς οἱ ὑψηλότεροι δεῖκται ἀντιστοιχοῦν καὶ εἰς ὑψηλοτέρας τιμὰς περιεκτικότητος εἰς νάτριον (+ ἀσβέστιον). Ὁ  $n_a$  ὡς ἐπὶ τὸ πλεῖστον εὑρίσκεται ἐγγύτερον τῆς πραγματικῆς τιμῆς ἢ οἱ δύο ἄλλοι, ἐξ ὧν ὁ  $n_\beta$  ἀφίσταται περισσότερον. Λαμβανομένου δὲ ἐπὶ πλέον ὑπὸ δψιν δτι ἐκ τῶν τριῶν ἐν τῇ βιβλιογραφίᾳ (*Troeger*, 1956) ἀναφερομένων καμπύλων αἱ ἀντιστοιχοῦσαι εἰς τοὺς  $n_\beta$  καὶ  $n_\gamma$  κεῖνται πλησίον ἄλλήλων, εἶναι προτιμότερον νὰ χρησιμοποιῆται μόνον ἡ  $n_a$  - καμπύλη. Ὑπὲρ τῆς ἀπόψεως αὐτῆς συνηγορεῖ καὶ τὸ γεγονὸς δτι, ὡς θὰ ἴδωμεν κατωτέρω, κατὰ τὴν πύρωσιν τῶν σανιδίνων παρατηρεῖται συνήθως ἀμοιβαία ἀναστροφὴ τῶν θέσεων  $n_\beta$ ,  $n_\gamma$ , εἰς τὸ τριαξονικὸν ἐλλειψοειδές, διερχομένου τοῦ φαινομένου ἔκ τινος σημείου καθ' ὃ ὁ κρύσταλλος καθίσταται μονάξων, διπότε  $n_\beta = n_\gamma$ . Καθ' ὅλην τὴν διεργασίαν ταύτην ἡ θέσις τοῦ  $n_a$  παραμένει ἡ αὐτή.

Π Ι Ν Α Ξ Ι

$\alpha/\alpha$	Προέλευσης	$n_{\gamma}$	$Ab(+An)$	$n_{\beta}$	$Ab(+An)$	$n_{\alpha}$	$Ab(+An)$	$X_{ηακτή}^{'} Ab(+An)$	$2V_a^{''}$ Χημική Ανάλυσης	$2V_a^{''}$ "Υπολογι- σθείσα	$2V_a^{''}$ Μερη- θείσα
1.	"Αψαλος Εδέσσης	1,5275	(42% / <sub>0</sub> )	1,5270	(44% / <sub>0</sub> )	1,5212	(36% / <sub>0</sub> )	38% / <sub>0</sub>	33% / <sub>0</sub>	31% / <sub>0</sub>	
2.	Μαυροβουνί Σκόδρας	1,5276	(43% / <sub>0</sub> )	1,5271	(45% / <sub>0</sub> )	1,5216	(40% / <sub>0</sub> )	40% / <sub>0</sub>	34% / <sub>0</sub>	32% / <sub>0</sub>	
3.	"Αγ. Βαρβάρα Κάστρο, Λήμνου	1,5260	(32% / <sub>0</sub> )	1,5257	(33,5% / <sub>0</sub> )	1,5203	(26% / <sub>0</sub> )	28% / <sub>0</sub>	26% / <sub>0</sub>	26% / <sub>0</sub>	
4.	Κάκυβος Λήμνου	1,5266	(35,5% / <sub>0</sub> )	1,5262	(37% / <sub>0</sub> )	1,5210	(33% / <sub>0</sub> )	30% / <sub>0</sub>	31% / <sub>0</sub>	30% / <sub>0</sub>	
5.	Δαδιά Θράκης	1,5265	(35% / <sub>0</sub> )	1,5260	(36% / <sub>0</sub> )	1,5200	(24% / <sub>0</sub> )	25% / <sub>0</sub>	32% / <sub>0</sub>	26% / <sub>0</sub>	
6.	Διπόταμα Ροδόπης	1,5252	(25% / <sub>0</sub> )	1,5250	(27% / <sub>0</sub> )	1,5198	(23% / <sub>0</sub> )	25% / <sub>0</sub>	22% / <sub>0</sub>	16% / <sub>0</sub>	
7.	Σαμοθράκη	1,5268	(37% / <sub>0</sub> )	1,5264	(39% / <sub>0</sub> )	1,5205	(28% / <sub>0</sub> )	27% / <sub>0</sub>	29% / <sub>0</sub>	33% / <sub>0</sub>	

Τέλος δέον νὰ τονισθῇ δτι παρουσία τυχόν βαρίου - ώς συμβαίνει εἰς τὰ ἐλληνικά σανίδινα (βλ. χημικὸν μέρος) - πρέπει νὰ ἐπηρεάζῃ, καὶ δὴ πρὸς τὰ ἄνω, τὰς τιμὰς τῶν δ.δ. Κατόπιν ὅλων τῶν ἀνωτέρω εἶναι προτιμότερον ἡ χρῆσις τῶν δ.δ. - κυρίως τοῦ  $n_a$  - νὰ γίνεται περισσότερον διὰ ποιοτικοὺς σκοπούς, δι' ἓνα γενικὸν προσανατολισμόν, καὶ δὲ λιγότερον διὰ ποσοτικὸν προσδιορισμὸν τοῦ ἀλβίτου.

Εἰς τὰς δύο τελευταίας στήλας τοῦ πίνακος I ἀναγράφονται ἡ μετρηθεῖσα καὶ ἡ ὑπολογισθεῖσα γωνία τῶν ὀπτικῶν ἀξόνων. Διὰ τὸν ὑπολογισμὸν τῆς 2V ἐχρήσιμο ποιήθη ἡ σχέσις *Mallard*,

$$\text{εφ } V_{\gamma} = \sqrt{\frac{n_{\beta} - n_a}{n_{\gamma} - n_{\beta}}}$$

ἥτις ἴσχυει διὰ κρυστάλλους μικρᾶς διπλοθλαστικότητος (*Burri*, 1950), ώς συμβαίνει εἰς τὴν περίπτωσιν τῶν σανίδινων.

### Πύρωσις σανίδινων

‘Ως ἀνεφέρθη εἰς τὸ γενικὸν μέρος, κατὰ τὴν πύρωσιν τῶν καλιούχων ἀστρίων παρατηρεῖται τὸ φαινόμενον τῆς σανιδινιώσεως, καθ' ὃ οἱ ὀπτικοὶ ἀξόνες διατίθενται τελικῶς εἰς ἐπίπεδον παράλληλον πρὸς τὸ 2ον πινακοειδές. ‘Ο χρόνος πυρώσεως ἔξαρταται ἐκ τοῦ βαθμοῦ ταξινομήσεως εἰς τὸ πλέγμα τῶν Al/Si. Λόγῳ τοῦ δτι εἰς τὰ σανίδινα δὲν ἔχομεν ταξινομημένην διάταξιν, διχρόνος πυρώσεως εἶναι ὁ μικρότερος ἔξ ὅλων τῶν καλιούχων ἀστρίων. ‘Υπολογίζεται δτι θέρμανσις ἐπὶ ἐβδομάδα εἰς θερμοκρασίαν 1050 - 1070° βαθμῶν φέρει αὐτὰ εἰς πλήρως μὴ ταξινομημένην διάταξιν (Unordnung) τῶν Al/Si (ὑψησανίδινα), ἀν θεωρήσωμεν βεβαίως δτι πρὸ τῆς πυρώσεως εὐρίσκοντο εἰς κατάστασιν οὐχὶ ὀλοκληρωτικῶς ἀτάκτου διατάξεως (χαμαισανίδινα). Πολλὰ ἐκ τῶν ἡμετέρων σανιδίνων ἐθερμάνθησαν πολὺ περισσότερον τοῦ ἀνωτέρω χρόνου, ἵδια ἐκεῖνα εἰς τὰ ὀποῖα καὶ μετὰ τὴν πύρωσιν ἔξηκολούθει ὁ διασκεδασμὸς νὰ εἶναι  $\rho > u$ . ‘Η θερμοκρασία πυρώσεως ἥλεγχετο κατὰ συχνὰ χρονικὰ διαστήματα διὰ τοῦ σημείου τήξεως τοῦ χρυσοῦ (1063°). ‘Η θέρμανσις ἐθεωρεῖτο περατωθεῖσα, δταν ἡ γωνία 2V ἀπέκτα σταθεράν τιμήν.

### Σανίδινα Ἀψάλου - Μαυροβουνίου.

Τὰ σανίδινα τῆς περιοχῆς αὐτῆς ἦσαν τὰ μόνα τὰ ὀποῖα παρουσίασαν κατὰ τὴν θέρμανσιν τὴν μικροτέραν μεταβολὴν εἰς τὴν γωνίαν 2V. Παρ' δτι ἡ πύρωσις αὐτῶν παρετάθη ἐπὶ 470 ὥρας (σχεδὸν 20 ἡμέρας), αἱ γωνίαι τῶν ὀπτικῶν ἀξόνων παρέμεινον αἱ κτηθεῖσαι ἥδη εἰς τὰς δέκα ἡμέρας. Παρετηρήθη ἀπλῶς σμίκρυνσις τῶν ἀρχικῶν γωνιῶν, χωρὶς ἡ θέσις τοῦ ἐπιπέδου τῶν ὀπτικῶν ἀξόνων νὰ μεταβληθῇ, τοῦ διασκεδα-

σμοῦ παραμείναντος ώς ήτο,  $\rho > v$ . "Ητοι καὶ μετὰ τὴν πύρωσιν τὰ σανίδινα Ἀψάλου - Μαυροβουνίου δὲν ἀπέκτησαν «όπτικὴν σανιδίνου», ἀν καὶ ἡσαν τὰ μόνα, ὅτινα ἀπὸ ἀπόψεως μορφολογίας εἶχον ἀνάπτυξιν σανιδίνου.

Παρέχομεν κατωτέρω ὥρισμένας ἐκ τῶν πολλῶν γενομένων χαρακτηριστικὰς μετρήσεις γωνιῶν τῶν ὁπτικῶν ἀξόνων.

Σανιδίνινον Μαυροβουνίου			Σανιδίνινον Ἀψάλου		
$\lambda=449$	589	653 mμ	$\lambda=449$	589	653 mμ
8,5°	14,5°	16,5°	11,5°	16°	18°
7,5°	13°	15°	16°	20°	22,5°
8°	12°	14°	11°	15°	16,5°
13°	18°	20°	12°	16°	18°
14,5°	20°	22°	19°	22°	24°

Αἱ τιμαὶ αὐταὶ συγκρινόμεναι πρὸς τὰς τιμὰς πρὸ τῆς πυρώσεως δεικνύουν κατὰ τὸ πλεῖστον μίαν μεταβολὴν (σμίκρυνσις) τῆς γωνίας 2V κατὰ 10° - 15° περίπου.

#### Σανίδινον Κακουροῦ.

Τὸ σανίδινον τοῦτο ἥδη πρὸ τῆς πυρώσεως ἔδείκνυε κατὰ τὸ μέγιστον μέρος αὐτοῦ «όπτικὴν σανιδίνου» ( $\rho < v$ ). Μετὰ τὴν πύρωσιν (10ήμεραι) παρουσίασε κατὰ τὸ πλεῖστον μίαν αὔξησιν 10° - 15°.

$\lambda=449$	589	653 mμ
26°	22,5°	22°
25°	24°	21°
30°	26°	25°
30°	27°	25°
31°	29°	28°

#### Σανίδινα Δαδιᾶς.

Τὰ σανίδινα τῆς περιοχῆς αὐτῆς θερμανθέντα ἐπὶ 10ήμερον ἀπέκτησαν ἥδη τὴν «όπτικὴν σανιδίνου» μετὰ 3ήμερας πυρώσεως περίπου. Αἱ εὑρεθεῖσαι τιμαὶ ἐκυμαίνοντο μεταξὺ 21° καὶ 31° μὲ  $\rho < v$ . Λαμβανομένου δὲ ὑπὸ δψιν ὅτι αἱ γωνίαι πρὸ τῆς πυρώσεως περιελαμβάνοντο εἰς τὴν περιοχὴν τῶν 22° ἔως 32° μὲ  $\rho > v$ , πρέπει νὰ ὑπολογίζωμεν μίαν μεταβολὴν γωνιῶν περὶ τὰς 53° -δμοῦ λογιζομένης τῆς ἀλλαγῆς τοῦ E.O.A. ἐκ τῆς ἀρχικῆς θέσεως καθέτως ἐπὶ τὸ (010) εἰς τὴν τελικὴν παράλληλον πρὸς τὸ (010).

Παρέχομεν κατωτέρω μερικάς μετρήσεις.

$\lambda=449$	589	653 mμ
24°	21°	20°
26°	24°	21,5°
28,5°	26,5°	25,5°
32°	30°	28°

### Σανίδινα Ροδόπης.

Σανίδινον τῆς περιοχῆς αὐτῆς πυρωθὲν ἐπὶ 170 ὥρας εἰς 1060°C (*Soldatos*, 1961) ύπέστη στροφὴν τοῦ E.O.A. κατὰ 90°, ἡ δὲ γωνία τῶν δπτικῶν ἀξόνων ἔλαβε τὴν τελικήν τιμὴν τῶν 25°. Ἡ γωνία τῶν O.A. τοῦ ἐν λόγῳ κρυστάλλου ἦτο πρὸ τῆς πυρώσεως 16°, ἥτοι τὸ εὔρος μεταβολῆς τῆς γωνίας ἀνῆλθεν εἰς 41°.

### Σανίδινα Λήμνου.

Τὰ σανίδινα τόσον τῆς περιοχῆς Κάκαβος ὅσον καὶ τῆς Ἀγ. Βαρβάρας ἀπέκτησαν μετὰ τὴν πύρωσιν κατὰ τὸ πλεῖστον δπτικὴν σανιδίνου ( $\rho < \nu$ ). Κατ' ἔξαίρεσιν εἰς δλίγα σημεῖα τῶν κρυστάλλων παρέμεινεν ὁ διασκεδασμὸς ὃς ἦτο  $\rho > \nu$ , ἥτοι δὲν παρετηρήθη ἀλλαγὴ τοῦ E.O.A.

Παρέχομεν κατωτέρω ώρισμένας τιμὰς γωνιῶν.

Σανίδινον Ἀγ. Βαρβάρας			Σανίδινον Κακάβου		
$\lambda=449$	589	653 mμ	$\lambda=449$	589	653 mμ
35°	32°	31,5°	17,5°	15°	13°
35,5°	32,5°	32°	16°	12,5°	11,5°
31,5°	29°	28,5°	21,5°	19,5°	18,5°
16°	15°	13°	4°	7°	9°
12°	10°	14°	22°	25°	26°

Εἰς τὰς δύο τελευταίας περιπτώσεις τοῦ σανιδίνου Κακάβου καὶ τὴν τελευταίαν τῆς Ἀγ. Βαρβάρας ἦτο τὸ E.O.A. κάθετον ἐπὶ τὸ 2ον πινακοειδές.

### Σανίδινον Σαμοθράκης.

Τὸ σανίδινον τοῦτο παρουσίασε μετὰ θέρμανσιν μιᾶς ἑβδομάδος «δπτικὴν σανιδίνου». Ἐν τούτοις εἰς ώρισμένα σημεῖα τὸ ἐπίπεδον τῶν δπτικῶν ἀξόνων δὲν ἤλλαξε, παραμεῖναν εἰς τὴν ἀρχικήν του θέσιν, ὑποστάσης ἀπλῶς τῆς γωνίας αὐτῶν ώρισμένην σμίκρυνσιν. Παράτασις τῆς πυρώσεως μέχρις 20ημέρου περίπου οὐδεμίαν ἐπέφερε περαιτέρω μεταβολήν.

Παραθέτομεν κατωτέρω ώρισμένας μετρήσεις τῆς 2V.

$\lambda=449$	589	653 μμ
23,5°	22°	19,5°
21,5°	18,5°	17°
22°	20°	18°
22,5°	21°	18,5°
7,5°	10°	11°

Εἰς τὴν τελευταίαν μέτρησιν ὁ διασκεδασμὸς  $\rho > v$  παρέμεινε προφανῶς, ώς πρὸ τῆς πυρώσεως, ἀμετάβλητος.

Εἰς δὲ τὶς εἰς τὴν κρυπτοπερθιτικὴν κατάστασιν τοῦ σανιδίνου τῆς Σαμοθράκης ἀναφέρομεν χαρακτηριστικῶς ὅτι ἥρκεσε 5 λεπτῶν μόνον θέρμανσις εἰς τοὺς 1000° διὰ νὰ διμογενοποιηθῇ ὁ κρύσταλλος, τῆς γωνίας τῶν διπτικῶν ἀξόνων οὐδεμίαν ὑποστάσης μεταβολὴν (βλ. λεπτομερείας εἰς ἀκτινογραφικὸν μέρος).

### Κεκλιμένος διασκεδασμὸς τῶν διχοτόμων

‘Ως γνωστὸν εἰς τὴν περίπτωσιν καθ’ ἡν τὸ ἐπίπεδον τῶν διπτικῶν ἀξόνων εἶναι τὸ δεύτερον πινακοειδὲς εἰς τὸ μονοκλινὲς σύστημα παρατηρεῖται τὸ φαινόμενον τοῦ κεκλιμένου διασκεδασμοῦ τῶν διχοτόμων τῶν γωνιῶν τῶν διπτικῶν ἀξόνων. Εἰδικῶς εἰς τὴν περίπτωσιν τῶν σανιδίνων οὐδεμίᾳ μέχρι τοῦδε μελέτῃ ἐγένετο σχετικῶς πρὸς τὸ μέγεθος τοῦ διασκεδασμοῦ καὶ τῆς ἔξακριβώσεως τοῦ περισσότερον σκεδαννυμένου ἄξονος. Βάσει τῶν ἡμετέρων διπτικῶν παρατηρήσεων, συνδυασθεισῶν μὲ ἀκτινογραφικὰς τοιαύτας—ἀναφερομένας κυρίως εἰς τὴν διακρίβωσιν τῶν κρυσταλλογραφικῶν ἀξόνων, καὶ δὴ τῆς θετικῆς ἢ ἀρνητικῆς κατευθύνσεως αὐτῶν—διεπιστώθησαν τὰ ἔξης:

α) ‘Ολα τὰ σανίδινα μὲ διασκεδασμὸν τῶν ἀξόνων  $\rho < v$  παρουσιάζουν κεκλιμένον διασκεδασμὸν τῶν διχοτόμων.

β) ‘Η γωνία τῶν διχοτόμων ἀναφερομένων εἰς τὰ χρησιμοποιηθέντα μήκη κύματος 449 μμ καὶ 653 μμ κυμαίνεται μεταξὺ 20° καὶ 40°.

γ) ‘Εκ τῶν δύο διπτικῶν ἀξόνων ζωηρότερον σκεδαννύμενος εἶναι ὁ ἄξων Α (Εἰκ. 2). ‘Η τελευταία διαπίστωσις ἐγένετο τόσον εἰς τὸ σανίδινον τῆς Κακουροῦ, εἰς τὸ ὄποιον τὸ E.O.A. εἶναι παράλληλον πρὸς τὸ (010), ὃσον καὶ εἰς ἐκεῖνα τῶν πυρωθέντων, τὰ ὄποια μετὰ τὴν πύρωσιν εἶχον δημοιον προσανατολισμόν. Διὰ νὰ διαπιστωθῇ ἀν τὸ φαινόμενον εἶναι γενικόν, ἔξησθησαν δύο σανίδινα ξένης προελεύσεως, τὰ μόνα<sup>1</sup> ἐκ τῶν συλλογῶν τοῦ

<sup>1</sup> Περὶ τὰ 20 σανίδινα τῶν συλλογῶν τοῦ Μουσείου προερχόμενα ἐκ πέντε ἡφαι-

Μουσείου, τὰ ὅποια παρουσίαζον «ὅπτικὴν σανιδίνου» καὶ εἰς τὰ ὅποια πράγματι ἐπηληθεύθη ἡ ἀνωτέρω παρατήρησις. Τὸ ἐν προέρχεται ἐκ τῆς Ἰταλίας (Cimini, Mont San Valentino), τὸ δὲ ἔτερον εἶναι ἀγνώστου προελεύσεως<sup>1</sup>.

### Συμπεράσματα ἐκ τῆς ὅπτικῆς ἐρευνης

Ἐκ τῆς ἀνωτέρω περιγραφείσης ὅπτικῆς ἐξετάσεως ἔξαγονται τὰ ἀκόλουθα συμπεράσματα:

1) Εἰς τὰ σανιδίνα ὅλων τῶν περιοχῶν τὸ ἐπίπεδον τῶν ὅπτικῶν ἀξόνων εὑρίσκεται σχεδὸν πάντοτε εἰς θέσιν κάθετον ἐπὶ τὸ (010). Ἡ καλούμενη «ὅπτικὴ σανιδίνου», ἥτοι τὸ E.O.A. εἰς θέσιν παράλληλον πρὸς τὸ (010), παρετηρήθη ὡς σπανιωτάτη ἐξαίρεσις (βλ. καὶ ὑποσημ. 7).

2) Ἡ ἀνωτέρω διαπιστωθεῖσα ὅπτικὴ συμπεριφορὰ οὐδεμίαν σχέσιν ἔχει μὲ τὴν ἐξωτερικὴν μορφολογίαν τοῦ κρυστάλλου. Παρετηρήθη τόσον εἰς τοὺς πλακώδεις κατὰ (010), ὅσον καὶ εἰς τοὺς πρισματικῆς κατὰ [100] ἀναπτύξεως κρυστάλλους, ἀν περιορισθῶμεν μόνον εἰς τὰς δύο συνηθεστέρας μορφάς.

3) Βάσει τῆς συστηματικῆς κατὰ Tuttle (1952) ἔδει τὰ περισσότερα ἐκ τῶν ἐξετασθέντων σανιδίνων νὰ ἀνήκουν εἰς τὴν κρυπτοπερθιτικὴν σειρὰν σανιδίνου - ἀνορθοκλάστου. Ὡς θὰ ἴδωμεν εἰς τὸ ἀκτινογραφικὸν μέρος, τοῦτο δὲν ἔρχεται εἰς συμφωνίαν μὲ τὴν ἀκτινογραφικὴν ἐξέτασιν.

4) Ἐκ τῆς πυρώσεως τῶν σανιδίνων ἐπαληθεύεται ἡ ἀποψίς ἥτις ἐξετέθη εἰς τὸ γενικὸν μέρος, ὅτι ἡ καλούμενη «ἄλλαγὴ τοῦ ἐπιπέδου τῶν ὅπτικῶν ἀξόνων» διέρχεται δι’ ἐνὸς σταδίου, καθ’ ὃ ὁ κρύσταλλος καθίσταται μονάξων.

Βάσει τοῦ μηχανισμοῦ αὐτοῦ τῆς ἀλλαγῆς τοῦ E.O.A. ἐξηγεῖται διατί ὁ διασκεδασμὸς  $r > u$  ἀντιστρέφεται εἰς  $r < u$ , ὡς ἐπίσης καὶ διατί εἰς ὧρισμένας περιπτώσεις εἰς τὴν περιοχὴν τῆς μοναξονικότητος τοῦ κρυστάλλου τὸ ἐπίπεδον τῶν O.A. διὰ τὰς κυανᾶς ἀκτίνας εἶναι παράλληλον πρὸς τὸ (010), ἐνῷ διὰ τὰς ἐρυθρὰς κάθετον. Οἱ Bambauer καὶ Laves (1960) παρετήρησαν ὅτι εἰς ἀδουλαίους, εἰς οὓς συναντῶνται ἀμφότεραι αἱ θέσεις τῶν ἐπιπέδων τῶν ὅπτικῶν ἀξόνων, ἡ καμπύλη μεταβολῆς τῶν γωνιῶν αὐτῶν διέρχεται δι’ ἐνὸς ἐλαχίστου  $2V_a = 22^\circ$  καὶ οὐχὶ τοῦ μηδενὸς ὡς εἰς τὴν περίπτωσιν τῶν σανιδίνων, ἐνῷ προσωπικὴ ἀνακοίνωσις τοῦ P. Maillard εἰς τοὺς ἀνωτέρω συγγραφεῖς ἀναφέρει ὅτι κατὰ τὴν διπλωματικὴν ἐργασίαν

---

στειογενῶν περιοχῶν Γερμανίας, Γαλλίας καὶ Ἰταλίας, ἐξετασθέντα ἔδειξαν ὅτι τὸ ἐπίπεδον τῶν ὅπτικῶν ἀξόνων εἶναι κάθετον πρὸς τὸ δεύτερον πινακοειδές.

<sup>1</sup> Εἰς τὰς συλλογὰς τοῦ Ὀρυκτολογικοῦ Μουσείου φέρεται ὡς νορβηγικῆς προελεύσεως. Δεδομένου ὅμως ὅτι τὰ νεώτερα ἔκχυτα πετρώματα εἰς τὴν Νορβηγίαν εἶναι περμίου ἥλικίας θεωροῦμεν τὴν προέλευσιν ὡς ἀπίθανον.

αύτοῦ (Ζυρίχη 1957) ἐπὶ προσπαθείας σανιδινώσεως μικροκλινοῦς διὰ πυρώσεως αὐτοῦ ἡ ἀλλαγὴ τοῦ E.O.A. ἐπετεύχθη ἐπὶ ἐλαχίστου  $2V_a = 39^\circ$ .

Ἐκεῖνο ὅμως τὸ ὄποιον εἶναι ἄξιον μνείας ἐνταῦθα εἶναι τὸ γεγονός ὅτι ἡ ἀλλαγὴ τοῦ E.O.A. κατὰ τὴν πύρωσιν δὲν εἶναι κανῶν. Τόσον τὸ σανιδινον περιοχῆς Ἀγάλου δσον καὶ Μαυροβουνίου, παρ' ὅτι ἐπυράθησαν εἰς χρόνον πέραν τοῦ συνήθους, ἐν τούτοις δὲν ἀπέκτησαν «δπτικήν σανιδίδινου». Πιθανώτατά τοῦτο ἔχει σχέσιν μὲ τὴν ἡλαττωμένην περιεκτικότητα εἰς  $KAlSi_3O_8$  τῶν σανιδίνων τούτων (περίπου 60%) (βλ. χημικὸν καὶ ἀκτινογραφικὸν τμῆμα).

5) Δὲν εἶναι ἀπόλυτος ὁ χαρακτηρισμὸς εἰς ὑψι - καὶ χαμαισανίδινα βάσει μόνον τῆς δπτικῆς συμπεριφορᾶς αὐτῶν. Οὕτως ἐὰν θεωρήσωμεν ὅτι εἰς τὰ πλεῖστα τούτων πρὸ τῆς πυρώσεως δὲν εἴχομεν τελείαν μὴ ταξινομημένην διάταξιν τῶν Al/Si εἰς τὸ πλέγμα αὐτῶν (χαμαι - μορφή), μετὰ τὴν πύρωσιν τὰ σανιδινα εύρεθησαν διποσδήποτε εἰς τὴν διάταξιν ταύτην (Unordnung), εἰς τὴν δποίαν ἔδει νὰ ἔχωμεν παραλληλίαν τοῦ E.O.A. καὶ δευτέρου πινακοειδοῦς. Ἐν τούτοις ὥρισμένα ἔξ αὐτῶν (Ἀγάλου - Μαυροβουνίου) ἔξηκολούθουν καὶ μετὰ τὴν πύρωσιν νὰ δεικνύουν δπτικήν τῆς χαμαιμορφῆς [E.O.A. κάθετον ἐπὶ (010)].

### Ἐρμηνεία τῆς ζωνώδους συστάσεως τῶν σανιδίνων

Μία γενικὴ παρατήρησις προκύπτουσα ἐκ τῆς δπτικῆς ἔξετάσεως εἶναι, ὅτι κατὰ τὸ μᾶλλον ἡ ἡττον ὅλα τὰ σανίδινα εἶναι ζωνώδη. Πολλάκις ἡ ζωνώδης ὑφὴ εἶναι τόσον ζωηρά, ὥστε ἔχει τις τὴν ἐντύπωσιν ὅτι εύρισκεται πρὸ ζωνώδους πλαγιοκλάστου μὲ ζώνας αὐξομειουμένης περιεκτικότητος εἰς ἀνορθίτην (Rekurrenzen) (Εἰκ. 8 καὶ 9). Ἐνταῦθα ὅμως ἡ διαφορὰ τῆς περιεκτικότητος εἰς ἀλβίτην δὲν φαίνεται νὰ εἶναι ἐκείνη, ἡτις ἔπαιξε τὸν σημαντικότερον ρόλον εἰς τὸν σχηματισμὸν τῶν ζωνῶν. Ἡ περιεκτικότης εἰς νάτριον ἐντὸς τῶν διαφόρων ζωνῶν, ὡς καὶ ἐντὸς τῆς αὐτῆς ζώνης, ἐλεγχθεῖσα ἀκτινογραφικῶς δὲν δικαιολογεῖ τὰς διαφορὰς τῆς διπλοθλαστικότητος. Ὡς θὰ ἴδωμεν εἰς τὸ ἀκτινογραφικὸν μέρος ἡ γωνία τῶν δπτικῶν ἄξόνων δὲν ἔχει πάντοτε σχέσιν μὲ τὴν περιεκτικότητα εἰς ἀλβίτην<sup>1</sup>. Ἡ Λάβη (1959) δὲν παρετήρησε διαφορὰς περιεκτικότητος εἰς Na μεταξὺ πυρῆνος καὶ περιφερείας σανιδίνων τῆς Λήμνου, πρᾶγμα ὅπερ καὶ ἡμεῖς ἔξηκριβώσαμεν εἰς ὥρισμένα σανίδινα. Εἰς τινα ὅμως - Δαδιάς, Σαμοθράθρακης - παρετηρήσαμεν ὥρισμένας διαφορὰς περιεκτικότητος εἰς ἀλβίτην ἀπὸ σημείου εἰς σημεῖον τοῦ αὐτοῦ κρυστάλλου. Ἐν τούτοις τὴν ζωνώδη δομὴν θεωροῦμεν περισσότερον δφειλομένην εἰς φυσικὰ καὶ δλιγώτερον

<sup>1</sup> Ο ἐνυπάρχων ἐντὸς τοῦ σανιδίνου. ὡς μεικτὸς κρύσταλλος, ἀλβίτης εἶναι πάντοτε ὑψηλῆς θερμοκρασίας μορφῆς (ὑψιαλβίτης, ἀναλβίτης).

εἰς χημικὰ αἴτια. Πιστεύομεν δηλ. δτι οἱ κρύσταλλοι ἐντὸς τοῦ μάγματος ἀνεπτύχθησαν ὑπὸ ἀσυνεχῆ μεταβολὴν τῶν θερμικῶν συνθηκῶν ἀποθέσεως, ἥτοι ὁ κρύσταλλος εὑρεθεὶς εἰς περιβάλλον ὑψηλῆς θερμοκρασίας, εἴτε λόγῳ ἀνυψώσεως αὐτῆς εἴτε λόγῳ μεταφορᾶς τῶν κρυστάλλων εἰς θερμότερον σημεῖον τοῦ μάγματος, ἐθερμάνθη προφανῶς περισσότερον κατὰ τὴν περιφέρειαν ἢ κατὰ τὸν πυρῆνα. Τοῦτο ἔχει ὡς συνέπειαν τὴν σμίκρυνσιν τῆς γωνίας τῶν ὀπτικῶν ἀξόνων - εἰς τὴν περίπτωσιν καθ' ἥν τὸ E.O.A. εἶναι κάθετον ἐπὶ τὸ (010) - περισσότερον πρὸς τὸ ἔξωτερικὸν τμῆμα τῆς ζώνης ἢ πρὸς τὸ ἔσωτερικόν, τὸ ἀντίστροφον δὲ ὅταν τὸ E.O.A. εἶναι παράλληλον πρὸς τὸ (010), ὅπως πράγματι διεπιστώθῃ καὶ κατὰ τὴν παρατήρησιν (βλ. περιγραφὴν ζωνώδων κρυστάλλων Κακουροῦ, Λήμνου, Σαμοθράκης, ὡς καὶ Εἰκ. 8).

**ХИМИКОН МЕРОС**  
**Πειραματικόν**

## ΧΗΜΙΚΟΝ ΜΕΡΟΣ

## **Πειραματικὸν**

Έξ δλων τῶν δπτικῶς καὶ ἀκτινογραφικῶς ἔξετασθέντων δειγμάτων ἐπελέγησαν 7 ἀντιπροσωπευτικοὶ κρύσταλλοι σανιδίνων, οἵτινες ἀνελύθησαν χημικῶς. Διὰ νὰ ἀποφευχθοῦν ἐσφαλμένα τυχὸν ἀποτελέσματα ἐκ τῆς ἀναλύσεως, λόγῳ τῆς παρουσίας ἐγκλεισμάτων ἐντὸς τῶν σανιδίνων, διεχωρίσθη ὑπὸ τὸ πολωτικὸν μικροσκόπιον κόκκον πρὸς κόκκον τὸ πρὸς ἀνάλυσιν ὄλικόν. Καὶ τὰ μὲν φεμικὰ δρυκτὰ ἐγκλείσματα (βιοτίτης, κεροστίλβη κλπ.) διεχωρίζοντο κατὰ τὸ μᾶλλον ἢ ἡττον εὐκόλως. Ἐκεῖνα τὰ ὅποια παρέσχον σημαντικάς σχετικῶς δυσχερείας ἥσαν τὰ ἄχροα, κυρίως δὲ πλαγιοκλαστα. Πρὸς διάκρισιν καὶ ἀποχωρισμὸν αὐτῶν ἐχρησιμοποιήθη ὡς κριτήριον τόσον ἡ κωνοσκοπικὴ δπτικὴ εἰκών, δσον καὶ ἡ γραμμὴ Becke δι’ ἐλέγχου τοῦ δείκτου διαθλάσεως κατὰ τὸν ἐμβαπτισμὸν τοῦ κρυστάλλου ἐντὸς ὑγρῶν γνωστῆς θλαστικότητος. (Μόνον εἰς τὴν περίπτωσιν τοῦ σανιδίνου τῆς Κακουροῦ, ἐξ δλων τῶν δπτικῶς καὶ ἀκτινογραφικῶς ἐρευνηθέντων, δὲν κατέστη δυνατὸν νὰ διαχωρισθῇ ἀπολύτως καθαρὸν ὄλικὸν πρὸς ἀνάλυσιν). Ἐπὶ τοῦ οὕτω καθαρθέντος καὶ εἰς τοὺς 110° ξηρανθέντος ὄλικοῦ ἐγένετο ἀκολούθως χημικὴ ἀνάλυσις.

Πλήν τῶν στοιχείων Si, Al, K, Na καὶ τοῦ δλίγου, σχεδὸν πάντοτε ἐνυπάρχοντος Ca, προσδιωρίσθη ἐπίσης καὶ τὸ Ba, τῆς παρουσίας αὐτοῦ πιστοποιηθείσης φασματογραφικῶς διὰ τοῦ μεγάλου φασματογράφου Hilger τοῦ Ἐργαστηρίου Ὀρυκτολογίας. Ὡς πρὸς τὰς χρησιμοποιηθείσας μεθόδους διὰ τὸν ποσοτικὸν προσδιοιτισμὸν ἀναφέρονται ἐν συντόμῳ τὰ ἔξης:

Τὸ Σι προσδιωρίσθη σταθμικῶς ὡς  $\text{SiO}_2$ , γενομένων πρὸ τῆς προσβολῆς αὐτοῦ δι' HF δύο ἔξατμίσεων μέχρι ξηροῦ. Ὡς δέξν τόσον διὰ τὴν διαλυτοποίησιν τοῦ ἐκ τῆς συντήξεως μετὰ  $\text{Na}_2\text{CO}_3$  σχηματιζομένου πήγματος, δόσον καὶ διὰ τὴν μέχρι ξηροῦ ἔξατμισιν τοῦ διαλύματος χρησιμοποιεῖται κατὰ τὰ γνωστὰ (*Hillebrand et al. 1955*) τὸ ὑδροχλωρικὸν δέξν ἢ τὸ ὑπερχλωρικόν. Ὁ συγγραφεὺς εὑρίσκει ἰκανοποιητικά τερατά ποτελέσματα εἰς τὸν προσδιορισμὸν τοῦ  $\text{SiO}_2$  διὰ συνδυασμοῦ τῶν δύο δέξέων. Τὸ Al προσδιωρίσθη κατὰ τὰ γνωστὰ διὰ καταβυθίσεως μὲ ἀμμωνίαν. Τὸ Ca σταθμικῶς ἢ συμπλοκομετρικῶς (*komplexometrisch*) (*Schwarzenbach, 1960*). Τὸ Ba προσδιωρίσθη κατὰ *Jakob* (1952) ὡς  $\text{BaSO}_4$  μετὰ τὸν ἀπο-

χωρισμὸν τοῦ πυριτίου καὶ πρὸ τοῦ προσδιορισμοῦ τοῦ ἀργιλλίου. Ἡ μέθοδος Treadwell - Hall (1948) εἰδικῶς διὰ τὴν ἀνάλυσιν τοῦ ὀρθοκλάστου δὲν ἔδωσεν ἵκανοποιητικὰ ἀποτελέσματα ὡς πρὸς τὸ βάριον. Διὰ τὸν προσδιορισμὸν τῶν ἀλκαλίων ἐχρησιμοποιήθη ἡ μέθοδος διὰ χλωριούχου λευκοχρύσου, μετατραπεισῶν τῶν πυριτικῶν ἐνώσεων αὐτῶν εἰς χλωρίδια κατὰ Lawrence - Smith. Τέλος ἀνεζητήθη ἐντὸς τῶν σανιδίνων καὶ  $H_2O$ , πιστοποιηθείσης τῆς ἀπουσίας αὐτοῦ. Ὁλαι αἱ σταθμικαὶ μετρήσεις ἐγένοντο δι' ἡλεκτρικοῦ ζυγοῦ τύπου Mettler μεγάλης ἀκριβείας (Ζυγίζοντος μέχρι 0,00002 γρ.). Ὁ πίναξ II δίδει τὴν ἑκατοστιαίαν σύνθεσιν τῶν ἀναλυθέντων σανιδίνων.

### ΠΙΝΑΞ II

	1	2	3	4	5	6	7
$SiO_2$	64,15	64,47	63,82	63,47	65,01	65,19	64,20
$Al_2O_3$	19,79	19,68	19,78	19,90	18,82	18,90	19,47
$K_2O$	10,18	9,81	11,95	11,41	12,66	12,65	12,10
$Na_2O$	3,80	4,15	2,58	2,80	2,68	2,74	2,64
$BaO$	1,49	1,60	1,30	1,63	0,61	0,50	0,90
$CaO$	0,87	0,59	0,95	1,00	0,17	0,20	0,77
	100,28	100,30	100,38	100,21	99,95	100,18	100,08

Ἀναλυτής: Κωνσταντίνος Σολδᾶτος

- |                               |                        |
|-------------------------------|------------------------|
| 1. Ἀψαλος Ἐδέσσης             | 5. Δαδιὰ Θράκης        |
| 2. Μαυροβούνιον Σκύδρας       | 6. Διπόταμα Ροδόπης    |
| 3. Ἄγ. Βαρβάρα Κάστρο, Λήμνου | 7. Βρεχὸς (Σαμοθράκης) |
| 4. Κάκαβος Λήμνου             |                        |

### Ἐπεξεργασία τῶν ἀναλύσεων - Χημικοὶ τύποι

Ἐκ τῶν ἀνωτέρω χημικῶν ἀναλύσεων ἔξαγεται ἡ ἔξῆς ἀναλογία τῶν στοιχείων ἐπὶ βάσεως 8 δξυγόνων. (Πίναξ III).

### ΠΙΝΑΞ III

Ἀναλογία στοιχείων ἐπὶ βάσεως 8 δξυγόνων

	1	2	3	4	5	6	7
Si	2,933	2,943	2,930	2,921	2,982	2,981	2,947
Al	1,066	1,058	1,070	1,079	1,018	1,019	1,053
K	0,594	0,571	0,700	0,670	0,741	0,738	0,709
Na	0,337	0,367	0,230	0,250	0,238	0,243	0,235
Ba	0,027	0,029	0,023	0,029	0,011	0,009	0,016
Ca	0,043	0,029	0,047	0,049	0,008	0,010	0,038

Ο πίναξ IV παρέχει τὴν σχέσιν τοῦ ἀθροίσματος ( $K+Na+Ba+Ca$ ) πρὸς τὸ ἀθροισμα ( $Si+Al$ ).

#### ΠΙΝΑΞ IV

	$K+Na+Ba+Ca$	$Si+Al$
1	1,001	3,999
2	0,996	4,001
3	1,000	4,000
4	0,998	4,000
5	0,998	4,000
6	1,000	4,000
7	0,998	4,000

Ἐκ τούτου συνάγεται ὅτι ἡ σχέσις αὐτῇ εἶναι πρακτικῶς  $1 : 4$ , ὁρισμένων ἀποκλίσεων εὑρισκομένων ἐντὸς τῶν σφαλμάτων τῆς ἀναλύσεως. Ἡτοι δὲν ὑπάρχει ἀπόκλισις ἐκ τοῦ θεωρητικοῦ λόγου ( $K+Na+Ba+Ca+$ ): ( $Al+Si$ ): $O=1 : 4 : 8$ . Ἡ ὑπόθεσις Weibel (1957) ὅστις ἐπὶ τῇ βάσει χημικῶν ἐρευνῶν ἐπὶ ἀδουλαίων τῶν "Ἀλπεων θεωρεῖ ὅτι ἐνδέχεται ἐν μέρος τοῦ ὁξυγόνου - πάντως λίαν μικρὸν - τοῦ πλέγματος τῶν ἀδουλαίων νὰ ἀντικαθίσταται ὑπὸ ὑδροξυλίων, δὲν κατωρθώθῃ νὰ ἐπιβεβαιωθῇ ἐνταῦθα εἰς τὴν περίπτωσιν τῶν σανιδίνων. Ἐπὶ τοῦ σημείου τούτου, δηλ. τοῦ προσδιορισμοῦ τυχὸν ὑπάρχοντος ὕδατος, ἐδόθη ἴδιαιτέρα προσοχή, χρησιμοποιηθείσης τῆς αὐτῆς μεθόδου, ἢν ἔχρησιμοποίησεν ὁ Weibel (μέθοδος Penfield). Εἰς οὐδὲν τῶν ἔξετασθέντων σανιδίνων ἐπιστοποιήθη ἡ ὑπαρξίς  $H_2O$ . (Ως ἀνωτέρῳ ἀνεφέρθη, τονίζεται καὶ ἐνταῦθα ὅτι ἡ πρὸς ἀνάλυσιν κόνις ἐθερμάνθη προηγουμένως εἰς τοὺς  $110^{\circ}$ , ὥστε νὰ ἀποφευχθῇ πᾶσα τυχὸν συνήθης ὑγρασία). Εἰς τὰς τελευταίας ἐρεύνας τοῦ Borkowska (1963) εἰς τὸ Ὀρυκτολογικὸν Ἐργαστήριον τῆς Σορβόννης ἐπὶ ὁρθοκλάστων τοῦ γρανιτικοῦ ὄγκου τῆς Karkonosze (Riesengebirge, Πολωνικὴ Σουδητία) ἐπίσης δὲν ἀναφέρεται ἡ ὑπαρξίς ὕδατος ἐντὸς αὐτῶν.

Κατωτέρω δίδομεν τοὺς χημικοὺς τύπους τῶν ἀναλυθέντων σανιδίνων περιοριζόμενοι μέχρι τοῦ 2ου δεκαδικοῦ ψηφίου.

1. Σανίδινον Ἀψάλου  $(K_{0,59}Ba_{0,03}Na_{0,34}Ca_{0,04})[Al_{1,07}Si_{2,93}]O_8$
2. » Μαυροβουνίου  $(K_{0,57}Ba_{0,03}Na_{0,37}Ca_{0,03})[Al_{1,06}Si_{2,94}]O_8$
3. » Ἀγ. Βαρβάρας (Λήμνου)  $(K_{0,70}Ba_{0,02}Na_{0,23}Ca_{0,05})[Al_{1,07}Si_{2,93}]O_8$
4. » Κακάβου (Λήμνου)  $(K_{0,67}Ba_{0,03}Na_{0,25}Ca_{0,05})[Al_{1,08}Si_{2,92}]O_8$
5. » Δαδιᾶς (Θράκης)  $(K_{0,74}Ba_{0,01}Na_{0,24}Ca_{0,01})[Al_{1,02}Si_{2,98}]O_8$
6. » Διποτάμων (Ροδόπης)  $(K_{0,74}Ba_{0,01}Na_{0,24}Ca_{0,01})[Al_{1,02}Si_{2,98}]O_8$
7. » Σαμοθράκης  $(K_{0,71}Ba_{0,02}Na_{0,23}Ca_{0,04})[Al_{1,05}Si_{2,95}]O_8$

‘Η δρυκτολογική έκφρασης είς μόρια Καλιούχου ἀστρίου (Or), Βαριούχου (Ce), Νατριούχου (Ab) καὶ Ἀσβεστούχου (An) εἶναι ἡ ἔξης:

1.  $Or_{59}Ce_3Ab_{34}An_4$
2.  $Or_{57}Ce_3Ab_{37}An_3$
3.  $Or_{70}Ce_2Ab_{23}An_5$
4.  $Or_{67}Ce_3Ab_{25}An_5$
5.  $Or_{74}Ce_1Ab_{24}An_1$
6.  $Or_{74}Ce_1Ab_{24}An_1$
7.  $Or_{71}Ce_2Ab_{23}An_4$

### Συμπεράσματα ἐκ τῆς χημικῆς ἐρεύνης

Ἐξ ὅλων τῶν ἀνωτέρω προκύπτει ὅτι τὰ ἔξετασθέντα σανίδινα δὲν ἀντιπροσωπεύουν καθαρῶς καλιούχους ἀστρίους. Ἡ περιεκτικότης εἰς καλιούχον ἀστριον κυμαίνεται ἀπὸ 57% ἕως 74% (βλ. καὶ ἀποτελέσματα ἐκ τῆς ἀκτινογραφικῆς ἐρεύνης). Τὸ ὑπόλοιπον καλύπτεται κυρίως ὑπὸ νατριούχου ἀστρίου (ἀλβίτου) καὶ κατ’ ἔλαχιστον ὑπὸ βαριούχου (κελσιανοῦ) (κατὰ μέγιστον μέχρι 3% ἐπὶ τοῦ μορίου τοῦ σανιδίνου) καὶ ἀσβεστούχου (ἀνορθίτου) (κατὰ μέγιστον μέχρι 5%). Δέον νὰ σημειωθῇ ὅτι ὡς πρὸς τὴν ἔξακριβωσιν μικρῶν ποσοτήτων κελσιανοῦ καὶ ἀνορθίτου ἐντὸς τοῦ μορίου τοῦ σανιδίνου πλεονεκτεῖ ἡ χημικὴ μέθοδος ἔναντι τῶν δύο ἄλλων, ὅπτικῆς καὶ ἀκτινογραφικῆς.

Εἰς τὰς συνήθεις ἐρεύνας τῶν ἀστρίων ἀναζητοῦνται κυρίως τὰ στοιχεῖα K, Na καὶ Ca, διότι αἱ ἀστριοῦχοι ἔνώσεις αὐτῶν ἀποτελοῦν, ὡς ἐν τῇ εἰσαγωγῇ ἀνεφέρθη, σχεδὸν τὰ 3/5 τοῦ στερεοῦ φλοιοῦ τῆς γῆς. Οἱ βαριοῦχοι ἀστριοι (κελσιανός, ὑαλοφανῆς) εἶναι ἐκτάκτως σπάνιοι, συναντῶνται δὲ κυρίως ὡς σχηματισμοὶ ἀνάλογοι τῶν ἀδουλαίων. Ὁ Weibel (1957) ὡς καὶ οἱ Weibel καὶ Meyer (1957) εὑρον εἰς τοὺς ἀδουλαίους τῶν Ἀλπεων τὸ περιεχόμενον BaO κυμαινόμενον μεταξὺ 0,29% καὶ 3,2%. Τὴν παρουσίαν τοῦ βαρίου εἰς σανίδινα τραχειτῶν τοῦ Drachenfels (Γερμανία) ἐπεσήμανεν ὁ Engelhardt (βλ. Rankama and Sahama 1950, Heier 1953), ὅστις προσδιώρισε τὸ περιεχόμενον βάριον ἐντὸς αὐτῶν εἰς 1,44%, ἥτοι εἰς BaO 1,61%, περιεκτικότητα συμπίπτουσαν μὲ τὰ ἀνώτερα δρια βαρίου τῶν ἐρευνηθέντων σανιδίνων (1,60% σανιδίνον Μαυροβουνίου, 1,63% Κάκαβος Λήμνου). Οἱ Marinos καὶ Mastanatwangs (1956) ἀναφέρουν ἐπίσης τὴν ὑπαρξίαν βαρίου εἰς τὸ ὄρθοκλαστον (σανιδίνον) τῆς Σαμοθράκης. Λαμβανομένου ὑπὸ δψιν ὅτι ἡ μέση τιμὴ τοῦ BaO εἰς πυριγενῆ πετρώματα εἶναι κατὰ Wedepohl 0,096% (Γεωχημικὸν συμπόσιον 1957, βλ. Weibel, 1957) πρέπει νὰ θεωροῦνται οἱ καλιοῦχοι ἀστριοι ὡς οἱ κύριοι φορεῖς τοῦ βαρίου ἐντὸς τῶν πετρωμάτων τούτων. Τοῦτο δικαιολο-

γεῖται ἐκ τοῦ αὐτοῦ σχεδὸν μεγέθους τῶν ἀκτίνων ίόντων καλίου καὶ βαρίου ( $K^{+}=1,33 \text{ \AA}$ ,  $Ba^{++}=1,34 \text{ \AA}$ , Heier, 1962), γεγονὸς τὸ ὁποῖον ἐπιτρέπει εὐκόλως τὴν ἀντικατάστασιν τοῦ καλίου διὰ βαρίου. Ἐν ἀντιθέσει πρὸς τὸ βάριον, ἡ παρουσία τοῦ ἀσβεστίου δέον νὰ ἔρμηνευθῇ ὡς ὀφειλομένη εἰς ἀντικατάστασιν ὑπὸ αὐτοῦ τοῦ νατρίου καὶ οὐχὶ τοῦ καλίου ( $Na^{+}=0,98 \text{ \AA}$ ,  $Ca^{++}=1,01 \text{ \AA}$ ).

Ἐκεῖνο τὸ ὁποῖον θέλομεν ἐνταῦθα νὰ τονίσωμεν, εἶναι ἡ ὑψηλὴ σχετικῶς περιεκτικότης τῶν σανιδίνων εἰς ἀλβίτην. Δεικνύεται δηλαδὴ καὶ εἰς τὴν προκειμένην περίπτωσιν ὅτι τὸ νάτριον ὑπάρχει ἐντὸς τοῦ ὁρθοκλάστου ἀπὸ τοῦ πρώτου σχηματισμοῦ αὐτοῦ, πρᾶγμα τὸ ὁποῖον ἔρχεται ἀπὸ πετρολογικῆς πλευρᾶς εἰς ἀντίθεσιν μὲ τὴν εὐρέως διαδεδομένην ἀντίληψιν περὶ παραδοχῆς μιᾶς δευτερογενοῦς προσαγωγῆς νατρίου διὰ τὴν ἔρμηνείαν πολλῶν περθιτῶν, ιδίᾳ τῶν μακροπερθιτῶν (βλ. καὶ Soldatos 1962, Laves u. Soldatos 1963). Κατὰ τὴν γνώμην μας, χημικῶς καθαροὶ καλιοῦχοι ἀστριοὶ μαγματικῆς προελεύσεως, μὴ περιέχοντες δηλ. ἀλβίτην, πρέπει νὰ εἶναι πολὺ σπάνιοι ἐν τῇ φύσει.

Αναφερόμενοι τέλος εἰς τὴν πετρολογικὴν ἄποψιν τῶν ἀναλυθέντων σανιδίνων ἐπισημαίνομεν ἀπὸ καθαρῶς ἐλληνικῆς πλευρᾶς τὸ γεγονός ὅτι τὰ σανιδίνα τῆς ζώνης τοῦ Ἀξιοῦ (Ἄψαλος - Μαυροβούνι) εἶναι πλουσιώτερα εἰς νάτριον τῶν σανιδίνων τῶν ἄλλων περιοχῶν. Τοῦτο ἔρχεται εἰς συμφωνίαν μὲ τὰς ἀπόψεις τοῦ συγγραφέως, ὅτι τὰ μάγματα τῆς ζώνης τοῦ Ἀξιοῦ ἀποτελοῦν ιδιαιτέραν πετρογραφικὴν ἐπαρχίαν διαφόρου γεωκτονικοῦ σχηματισμοῦ ἐν σχέσει μὲ τὰ μάγματα τῆς ἀνατολικῶς τῆς ζώνης αὐτῆς κειμένης περιοχῆς, τῆς Ροδόπης νοούμενης ὑπὸ τὴν γενικωτέραν ἐννοιαν αὐτῆς. (Rhodopenblock) (Ορα πετροχημικὸν λογισμὸν χημικῶν ἀναλύσεων ἡφαιστιτῶν Βορείου Ἑλλάδος καὶ τῶν προσκειμένων αὐτῇ γιουγκοσλαβικῶν καὶ βουλγαρικῶν περιοχῶν εἰς Soldatos 1961).

## АКТИНОГРАФИКОΝ МЕРОΣ

**ΑΡΧΙΝΟΤΤΑΦΙΚΟΝ ΜΕΤΟΞ**

**Πειραματικόν**

Διὰ τὴν ἀκτινογραφικὴν ἔξέτασιν τῶν σανιδίνων ἐφηρμόσθη ἡ ἐπὶ μονοκρυστάλλων μέθοδος κατὰ Buerger τοῦ μεταπτωτικοῦ θαλάμου (Precession), ὡς αὕτη χρησιμοποιεῖται σήμερον εἰς τὴν περίπτωσιν τῶν ἀστρίων εἰς τὸ Ὀρυκτολογικὸν ἐργαστήριον τοῦ Πολυτεχνείου τῆς Ζυρίχης<sup>1</sup>. Ὁ πρὸς ἀκτινογράφησιν κρύσταλλος ἀπεχωρίζετο ἐκ μικροσκοπικοῦ παρασκευάσματος ὑπὸ σύγχρονον παρατήρησιν ὑπὸ τὸ πολωτικὸν μικροσκόπιον. Πρὸ τῆς ἀκτινογραφήσεως ἐθεωρήθη σκόπιμον ὅπως μετρηθῇ ἡ γωνία 2V τῶν δόπτικῶν ἀξόνων τοῦ πρὸς ἔξέτασιν τμήματος τοῦ κρυστάλλου τοῦ σανιδίνου, διότι, ὡς ἀνεφέρθη ἀνωτέρω (βλ. δόπτικὸν μέρος), δὲν ἦτο αὕτη ἀπολύτως σταθερὰ καθ' ὅλην τὴν ἔκτασιν τοῦ κρυστάλλου. Ὑπῆρξαν περιπτώσεις καθ' ἃς ἀκόμη καὶ εἰς τὸν ἀκτινογραφούμενον κρύσταλλον, παρὰ τὸ μικρὸν μέγεθος αὐτοῦ (τῆς τάξεως κλάσματος τοῦ χιλιοστοῦ), ἡ γωνία τῶν δόπτικῶν ἀξόνων δὲν εἶχεν ὥρισμένην τιμὴν (βλ. Πίν. V). Ἡ μέτρησις τῆς γωνίας ταύτης ἐκρίθη ἀναγκαίᾳ πρὸς διαπίστωσιν τυχὸν ὑπαρχούσης σχέσεως μεταξὺ αὐτῆς καὶ τῆς ἀκτινογραφικῶς εὑρισκομένης περιεκτικότητος εἰς ἀλβίτην τοῦ σανιδίνου.

Διὰ τὴν ἀκτινογράφησιν ὁ κρυσταλλος ἐτοποθετεῖτο ἐπὶ τῆς γωνιομετρικῆς κεφαλῆς, εἰς τρόπον ὡστε ἡ κατεύθυνσις  $b^*$ — $b$  τοῦ σανίδινου νὰ συμπίπτῃ μὲ τὸν ἄξονα τοῦ τυμπάνου τοῦ μεταπτωτικοῦ θαλάμου, ὅποτε ἡ γωνία  $\beta$  τοῦ κρυστάλλου ἐμετρεῖτο κατ' εὐθεῖαν διὰ στροφῆς τοῦ τυμπάνου. Ὡς κύρια διαγράμματα ἔλαμβάνοντο τὰ τῆς μηδενικῆς στάθμης, τὰ ἀντιστοιχοῦντα εἰς τὰς τρεῖς κατεύθυνσεις [100], [001] καὶ [102]. Ἐκ τῶν ἀκτι-

<sup>1</sup> Προετιμήθη ἡ μέθοδος τοῦ μονοκρυστάλλου καὶ οὐχὶ τῆς κόνων, παρὰ τὸ ἀπλούστερον καὶ ταχύτερον τῆς δευτέρας, διὰ τοὺς ἔξης λόγους:

1. Ἐλέγχεται καλύτερον ἡ καθαρότης τοῦ ἐξεταζομένου ύλικοῦ.

2. Είναι δυνατή ή μέτρησις της γωνίας 2V.

3. Διαπιστοῦνται καλύτερον μικραὶ ἀποκλίσεις ἐκ τῆς μονοκλινοῦς μορφῆς (τρικλινούσις.)

4. Παρουσιάζεται πλέον παραστατικώτερον τυχόν υπάρχων κρυπτοπερθιτικός άλβίτης ώς και ή σχετική θέσις αὐτού πρός τὸν καλιοῦχον ἄστριον. (Διὰ τῆς μεθόδου τῆς κόνεως θὰ ἡτο δυσχερής ή ἀνεύρεσις τοῦ μονοκλινοῦς μορφῆς κρυπτοαλβίτου εἰς τὸ σανίδιον τῆς Σαμοθράκης).

νογραφημάτων τούτων εύρισκονται αἱ  $d_{(010)}$ ,  $d_{(001)}$ ,  $d_{(100)}$  καὶ  $d_{(\bar{2}01)}$ , ἀκόλουθως δὲ ἐξ αὐτῶν δἱ ὑπολογισμῷ ἐν συνδυασμῷ μετὰ τῆς γωνίας β αἱ σταθεραὶ αἱ καὶ εἱ. Ὡς ἀκτινοβολίᾳ ἀντικαθόδον ἔχρησιμοποιήθη ἡ τοῦ χαλκοῦ. Ὁ ἔλεγχος καὶ ἡ διόρθωσις τῶν σταθερῶν τοῦ θαλάμου ἐγένοντο βάσει διαγραμμάτων σφαιριδίου χαλαζίου.

Οἱ Πίναξ V περιέχει τὰς εὑρεθείσας σταθερὰς τῶν ἀκτινογραφηθέντων σανιδίνων. Αἱ ἀποστάσεις λογίζονται εἰς Ångström μὲ σφάλμα μικρότερον τοῦ 0,2%, ἡ δὲ γωνία β εἰς μοίρας μὲ σφάλμα μικρότερον τῶν 5'. Εἰς τὴν στήλην «συμβολισμὸς» ὅλα τὰ σύμβολα τὰ περιέχοντα τὸ γράμμα «Π» ἀναφέρονται εἰς πυρωθέντα ὑπὲρ τὴν ἐβδομάδα σανίδινα, ὡς ταῦτα περιεγράφησαν εἰς τὸ κεφάλαιον περὶ πυρώσεως (δοπτικὸν μέρος), πλὴν τοῦ ΣΚΠ σανιδίνου, διόπει προῆλθεν ἐκ πυρώσεως μόνον πέντε λεπτῶν τοῦ ΣΚ εἰς θερμοκρασίαν 1000°. Εἰς τὰς προτελευταίας στήλας ἀναγράφεται ἡ περιεκτικότης εἰς ἀλβίτην ἡ εὑρισκομένη ἀντιστοίχως ἐκ τῆς χρησιμοποιήσεως τῶν  $d_{(100)}$  (καμπύλη *Laves*, 1952) καὶ  $d_{(\bar{2}01)}$  (καμπύλη *Bowen* καὶ *Tuttle*, 1950) βάσει τοῦ κανόνος τοῦ *Vegard*. Εἰς τὴν προτελευταίαν στήλην ἀναγράφεται ἡ μετρηθεῖσα ἐπὶ τοῦ ἀκτινογραφηθέντος δείγματος γωνία 2V (πλὴν τριῶν περιπτώσεων εἰς ἃς δὲν κατωρθώθη νὰ μετρηθῇ).

### Συμπεράσματα ἐκ τῆς ἀκτινογραφικῆς ἔξετάσεως

1) Εἰς οὐδεμίαν περίπτωσιν παρετηρήθησαν ἀποκλίσεις ἐκ τῆς μονοκλινοῦς συμμετρίας. Διάχυτοι ἀνακλάσεις, ὡς καὶ «օύραι» (*Schwänze*) τῶν ἀνακλάσεων, αἴτινες εἶναι χαρακτηριστικὰ σημεῖα ἀρχομένης τρικλινικότητος, ὡς τοῦτο συμβαίνει εἰς τὴν περίπτωσιν ὥρισμένων δρθοκλάστων, δὲν παρετηρήθησαν<sup>1</sup>.

2) Ἡ ἀνευρεθεῖσα περιεκτικότης εἰς ἀλβίτην ἔρχεται εἰς γενικὰς γραμμὰς εἰς συμφωνίαν μὲ τὴν εὑρεθεῖσαν ἐκ τῆς χημικῆς ἀναλύσεως. Ὡρισμέναι ἀσθενεῖς ἀποκλίσεις δοφείλονται ἀφ' ἐνὸς μὲν εἰς τὴν μικρὰν περιεκτικότητα εἰς ἀνορθίτην καὶ κελσιανόν, ἥτις δὲν εἶναι δυνατὸν ἐν προκειμένῳ νὰ διαπιστωθῇ ἀκτινογραφικῶς, ἀφ' ἑτέρου δὲ εἰς τὸ δτὶ ἡ χημικὴ σύστασις τοῦ κρυστάλλου δὲν εἶναι ἀπολύτως σταθερὰ καθ' ὅλην τὴν μᾶζαν αὐτοῦ, κυμαινομένη πολλάκις ἐντὸς λίαν μικρῶν διαστάσεων τοῦ κρυστάλλου. Χαρακτηριστικὴ ἐν προκειμένῳ εἶναι ἡ ὑπὸ ἀριθ. 10 εἰκὼν παριστῶσα διάγραμμα τοῦ σανιδίνου Μαυροβουνίου μὲ εἰς τὴν ζυρίχης διάλογον σημειουμένη (400) ἀνάκλασις δεικνύει σκιάσεις πρὸς τὰ ἄνω (αὔξησις νατρίου) καὶ πρὸς τὰ κάτω (ἔλαττωσις νατρίου) παραλλήλως πρὸς

<sup>1</sup> Διαγράμματα ὑπερύθρου ἀκτινοβολίας ληφθέντα ὑπὸ τοῦ συγγραφέως ἐκ σανιδίνων τῆς Ροδόπης εἰς τὸ Ὀρυκτολογικὸν Ἐργαστήριον τοῦ Πολυτεχνείου τῆς Ζυρίχης ἔδειξαν ἐπίσης δύοια ἀποτελέσματα.

Π Ι Ν Α Ε Β

$a/a$	Προέλευσης	Συμβολισμός	$a$	$b = d(010)$	$c$	$d(100)$	$d(001)$	$d(\bar{2}01)$	$\hat{\beta}$	$Ab\%/\theta$ $d(100)$	$Ab\%/\theta$ $d(\bar{2}01)$	2V $\alpha$	
1	*Αψαλος Έδεσσης	$\Psi$	8,433	12,988	7,163	7,569	6,429	4,159	116°10'	39	37	31°	
2	Μαυροβουνι Σκύδρας	M	8,406	12,988	7,150	7,556	6,426	4,153	116°	40,5	40	—	
3	Κακουρούν (Πρόκυοχο)	*Αλιμωτιάς	6 $a$	8,479	13,001	7,162	7,621	6,437	4,179	116°	24,5	25	11°-12°
4	»	$a_2$	8,459	12,992	7,168	7,603	6,443	4,175	116°	29	27,5	11°	—
5	»	$a_6$	8,475	13,005	7,158	7,617	6,434	4,178	116°	25,5	25	18°	—
6	»	$b_6\Pi$	8,475	13,009	7,147	7,622	6,428	4,179	115°55'	24	25	28°	—
7	*Αγ. Βαρβάρα	Κύστρο Λήμνου	8,481	13,002	7,163	7,623	6,438	4,179	116°	24	25	14°-18°	—
8	»	AB	8,484	13,005	7,161	7,625	6,436	4,183	116°	24	10°	—	—
9	»	BA	8,500	12,984	7,170	7,640	6,445	4,187	116°	20,5	24	24	—
10	»	BK $\Pi$	8,497	13,000	7,167	7,638	6,442	4,182	116°	21	24	21,5	—
11	Κάκαβος Λήμνου	$\Delta^2/2$	8,462	12,992	7,174	7,606	6,448	4,173	116°	28	32°	32°	—
12	»	$\Delta^2/2\Pi$	8,470	13,005	7,158	7,613	6,434	4,174	116°	26	30°	30°	—
13	Διδιά Θράκης	$\Delta$	8,435	12,988	7,186	7,581	6,459	4,166	116°	28	25°	—	—
14	»	$\Delta\Pi$	8,480	12,984	7,138	7,622	6,416	4,178	116°	24	25	22°	—
15	»	$\Delta\Pi\gamma$	8,495	12,996	7,151	7,635	6,427	4,190	116°	22	21	—	—
16	Διπότομα Ροδόπης	$\Sigma$	8,486	13,017	7,173	7,626	6,447	4,182	116°1°	24	24	16°	—
17	Σαμοθράκη	$\Sigma$	8,534	12,990	7,147	7,664	6,419	4,200	116°5'	15	16	30°	—
18	»	$\Sigma K$	8,480	12,980	7,152	7,622	6,428	4,173	116°	24	28,5	32°	—
19	»	$\Sigma K\Pi$	8,450	12,985	7,160	7,595	6,435	4,166	116°	31,5	33,5	32°	—
20	»	$\Sigma\Sigma$	8,475	12,980	7,162	7,621	6,437	4,187	116°	24,5	22	28°	—
21	»	$\Pi\Sigma\Sigma$	8,445	12,974	7,158	7,590	6,434	4,162	116°	32	34	—	—
22	»	$\Sigma\Pi$	8,450	12,983	7,156	7,595	6,432	4,161	116°	31,5	34	17°	—
23	300ΣΠ	8,472	13,012	7,157	7,620	6,437	4,178	115°55'	24,5	25	21°-22°	—	—
24	ΣΠ300	8,453	12,991	7,160	7,598	6,435	4,162	116°	31	34	8°-12°	—	—

Θέσης  
E.O.A.

31°      1 (010)

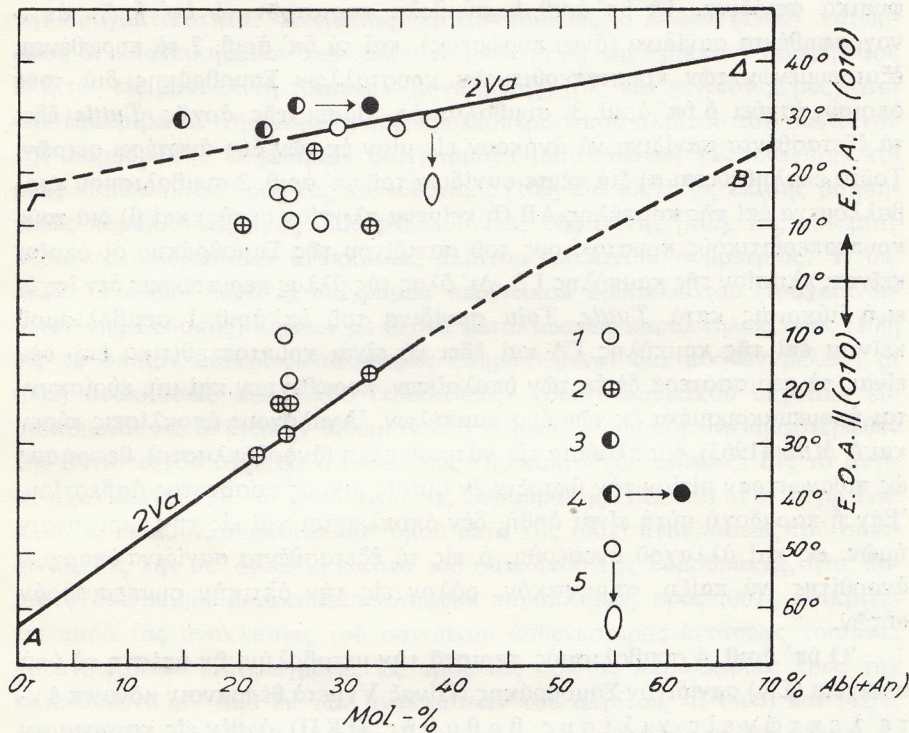
α\*. Ή ουδέν τῶν ἔξετασθέντων σανιδίνων - πλὴν τοῦ τῆς Σαμοθράκης - διεπιστώθησαν ἀκτινογραφικῶς ἀνακλάσεις κρυπτοπερθιτικού ἀλβίτου. Συνεπῶς ἡ κατὰ Tuttle (1952) κατάταξις τῶν σανιδίνων, χημικῆς συστάσεως ὡς τῶν ἐρευνηθέντων, βάσει τῆς καθέτως πρὸς τὸ δεύτερον πινακοειδὲς θέσεως τοῦ ἐπιπέδου τῶν ὀπτικῶν ἀξόνων εἰς τὴν κρυπτοπερθιτικὴν σειρὰν σανιδίνου - ἀνορθοκλάστου, τούλαχιστον διὰ τὰ ἐνταῦθα ἐρευνηθέντα σανίδινα, δὲν ἰσχύει. Ἡ ὑπὸ τοῦ Hsu (1954) ἀναφερομένη ἄποψις διὰ σανίδινα ὑπ' αὐτοῦ ἐρευνηθέντα καὶ ἔχοντα ἀναλόγους ὀπτικὰς ἴδιοτητας «that they are members of the sanidine-anorthoclase cryptoperthite series of Tuttle (1952)» ἔρχεται εἰς ἀντίφασιν μὲ τὰ ἐκ τῆς ἀκτινογραφικῆς ἔξετάσεως πυρωθέντων κρυστάλλων ἀποτελέσματα τοῦ ἴδιου ἐρευνητοῦ, ὅστις εἰς ἄλλο σημεῖον ἀναφέρει: «Therefore, the sanidines are apparently not perthitic before heating». Ἡ περίπτωσις τοῦ κρυπτοπερθιτικοῦ ἀλβίτου τοῦ σανιδίνου τῆς Σαμοθράκης λόγῳ τῆς ἀγνώστου μέχρι σήμερον μονοκλινοῦς μορφῆς αὐτοῦ ἔξετάζεται ἴδιαιτέρως.

4) Ἐκ τῆς προσεκτικῆς ἔξετάσεως τοῦ πίνακος V ἐμφαίνεται ὅτι δὲν ὑπάρχει σχέσις μεταξὺ τῆς περιεκτικότητος εἰς ἀλβίτην καὶ τῆς θέσεως τοῦ ἐπιπέδου ἢ τοῦ μεγέθους τῆς γωνίας τῶν ὀπτικῶν ἀξόνων. Ἀναφέρομεν μερικὰς ἄκρας περιπτώσεις. Τὰ ὑπὸ συμβολισμὸν «**α**» καὶ «**α'**» τεμάχια τοῦ σανιδίνου τῆς Κακουροῦ τῆς αὐτῆς περιεκτικότητος εἰς ἀλβίτην (25% περίπου) ἔχουν τὸ μὲν πρῶτον γωνίαν  $2V=11^{\circ}\text{--}12^{\circ}$  εἰς θέσιν τοῦ E.O.A. κάθετον ἐπὶ τὸ δεύτερον πινακοειδές, τὸ δὲ δεύτερον  $18^{\circ}$  εἰς θέσιν παράλληλον, ἐνῷ εἰς τὸ πυρωθὲν «**αΠ**» ἡ γωνία ἔφθασε εἰς  $28^{\circ}$ , χωρὶς βέβαιως νὰ ἀλλάξῃ ἡ περιεκτικότης εἰς ἀλβίτην. Ἀνάλογοι ἀποκλίσεις παρατηροῦνται καὶ εἰς ἄλλας περιπτώσεις (βλ. πίν. V) τόσον ἐντὸς τοῦ αὐτοῦ κρυστάλλου ὅσον καὶ μεταξὺ τῶν διαφόρων κρυστάλλων. Οἱ Bambauer καὶ Laves (1960) εἰς ἔξετασθέντας ὑπ' αὐτῶν τρικλινεῖς ἀδουλαίους, παρουσιάζοντας ἀναλόγους, ὡς τὰ ἡμέτερα σανίδινα, ὀπτικὰς διαφοράς, δὲν θεωροῦν ὡς πιθανὴν αἰτίαν τὴν χημικὴν σύστασιν: «Die beträchtlichen optischen Unterschiede innerhalb der morphologischen Einheit sind also nicht chemisch erklärbar». Ή ουδέν τῶν  $\text{Al}/\text{Si}$  ἐντὸς τοῦ πλέγματος. Ἀνάλογον αἴτιον δυνατὸν καὶ ἐνταῦθα νὰ ἐπικαλεσθῇ τις διὰ νὰ ἔξηγήσῃ τὰς ἀνωτέρω περιγραφείσας ὀπτικὰς διαφοράς. Ἔν τούτοις τοῦτο δὲν ἔρχεται εἰς συμφωνίαν μὲ ώρισμένας περιπτώσεις ὑφ' ἡμῶν πυρωθέντων σανιδίνων. Ή ουδέν τὸ διαφορικόν μέρος ἀνεφέρθη, παρετηρήθησαν εἰς σανίδινα, εἰς τὰ δόποια μετά τὴν πύρωσιν τὸ E.O.A. διετέθη παραλλήλως πρὸς τὸ (010), ἐλάχιστα σημεῖα εἰς ἀ τὸ E.O.A.

ξημεινεν ἀμετάβλητον εἰς θέσιν κάθετον πρὸς τὴν προηγουμένην. Κρύσταλλοι ληφθέντες ἐκ γειτονικῶν ἐν ἐπαφῇ θέσεων, παρουσιάζοντες διάφορον δόπτικήν συμπεριφοράν, ἔδειξαν ἀκτινογραφικῶς τὴν αὐτὴν ἢ σχεδὸν τὴν αὐτὴν περιεκτικότητα εἰς νάτριον. Συγκεκριμένην τοιαύτην περίπτωσιν ἀποτελοῦν οἱ «ΒΚΠ» καὶ «ΒΠΠ» πυρωθέντος σανιδίνου τῆς Λήμνου. Ἀμφότεροι οἱ κρύσταλλοι ἐλήφθησαν ἐκ πλησίον ἀλλήλων εἰς τὸ δόπτικὸν πεδίον σημείων. Ὁ εἰς ἔχει κατὰ μέσον ὅρον 21% Ab, ἐνῷ ὁ ἔτερος 22,5% Ab, ἥτοι τὴν αὐτὴν σχεδὸν περιεκτικότητα ἀλβίτου. Ἐν τούτοις δόπτικῶς διαφέρουν τὰ μέγιστα. Εἰς τὸν πρῶτον ἡ γωνία  $2V=10^{\circ}$  μὲν E.O.A. κάθετον ἐπὶ τὸ δεύτερον πινακοειδές, εἰς τὸν δεύτερον  $2V=32^{\circ}$  μὲν E.O.A. παράλληλον. Ἐν προκειμένῳ μίᾳ διαφορὰ ὡς πρὸς τὸν βαθμὸν τῆς μὴ ταξινομημένης διατάξεως τῶν Al/Si ἀποκλείεται, διότι ἀμφότερα τὰ τεμάχια προέρχονται ἐκ τοῦ αὐτοῦ κρυστάλλου (καὶ δὴ γειτονικῶν θέσεων), πυρωθέντος ἐπὶ μακρὸν καὶ ἀχθέντος ὄπωσδήποτε εἰς κατάστασιν πλήρως μὴ ταξινομημένης διατάξεως. Πλὴν τοῦ νατρίου, ὡς ἔδειξεν ἡ χημικὴ ἀνάλυσις, ὑπάρχουν εἰς τὰ σανιδίνα καὶ μικραὶ ποσότητες βαρίου καὶ ἀσβεστίου. Πιθανὸν τὸ ἀνωτέρω περιγραφὲν φαινόμενον νὰ ὀφείλεται εἰς συγκεντρώσεις τῶν δύο αὐτῶν στοιχείων, ἵδιως τοῦ τελευταίου, εἰς ὧρισμένα σημεῖα τοῦ κρυστάλλου. Τὸ γεγονός δτὶ εἰς τὰ σανιδίνα τῆς Δαδιᾶς καὶ Ροδόπης, δπου ὁ κελσιανός, ἵδιως ὅμως ὁ περιεχόμενος ἀνορθίτης, εἶναι ὀλιγώτερος ἢ εἰς τὰ λοιπὰ σανιδίνα, δὲν παρουσιάζουν τοιαῦτα φαινόμενα ἐνισχύει τὴν ὑπόθεσιν αὐτήν. Πιθανὸν ὅμως καὶ ἀναπτυσσόμεναι τάσεις ἐντὸς τοῦ κρυστάλλου, λόγῳ π.χ. ἐγκλεισμάτων, νὰ ἔχουν ἐπίδρασιν εἰς τὴν δόπτικήν συμπεριφοράν αὐτοῦ. Ὁ Koehler (1948) μάλιστα θεωρεῖ ἐγκλείσματα ἐντὸς τῶν ἀδουλαίων ὡς αἴτια τῆς μετατροπῆς ἐκ τῆς μονοκλινοῦς εἰς τὴν τρικλινή κατάστασιν τούλαχιστον διὰ τὸν περιβάλλοντα τὰ ἐγκλείσματα χῶρον.

Ἐξ ὅλων τῶν ἀνωτέρω καταφαίνεται δτὶ ἡ ἐρμηνεία τῶν ἀνωμαλιῶν τούτων ὡς πρὸς τὴν δόπτικήν συμπεριφοράν τῶν σανιδίνων δὲν εἶναι τόσον ἀπλῆ οὔτε ἔξαρταται ἐξ ἐνὸς μόνον παράγοντος. Χωρὶς νὰ θέλωμεν νὰ παραβλέψωμεν τὴν κατὰ Laves καὶ Bambauer (1960) ἐπὶ τῶν δόπτικῶν ἰδιοτήτων ἐπίδρασιν τῆς ταξινομημένης ἢ μὴ διατάξεως τῶν Al/Si ἐντὸς τοῦ πλέγματος δὲν δυνάμεθα πάντως νὰ ἀποκλείσωμεν τὸν ρόλον τῆς χημικῆς συστάσεως. Τούλαχιστον εἰς τὴν περίπτωσιν τῶν σανιδίνων Ἀψάλου - Μαυροβουνίου, εἰς τὰ ὅποια, παρὰ τὴν παρατεταμένην πύρωσιν, τὸ E.O.A. δὲν ἥλλαξε θέσιν καὶ εἰς τὰ ὅποια παρετηρήθη ἡ μικροτέρα μεταβολὴ τῆς γωνίας τῶν δόπτικῶν ἀξόνων, θεωροῦμεν ὡς πιθανὸν αἴτιον τὴν ἡλαττωμένην περιεκτικότητα εἰς καλιούχον ἄστριον, δτὶς δὲν ὑπερβαίνει τὸ 60% εἰς μοριακήν ἀναλογίαν. Ἡ ὑπὸ μορφὴν μεικτοῦ κρυστάλλου ὑπάρχουσα πολὺ μεγαλυτέρα ποσότης ἀλβίτου ἐν σχέσει πρὸς τὰ τῶν ἄλλων περιοχῶν δὲν δύναται ἢ νὰ ἔχῃ ἐπίδρασιν εἰς τὴν θέσιν τοῦ ἐπιπέδου τῶν δόπτικῶν ἀξόνων, δεδομένου

ὅτι τοῦτο εἰς τὸν ἀλβίτην εὑρίσκεται εἰς θέσιν σχεδὸν κάθετον πρὸς τὸ δεύτερον πινακοειδές.



Εἰκ. 3

Προβολὴ τῶν στοιχείων τοῦ πίνακος V (γωνία 2V καὶ περιεκτικότης εἰς ἀλβίτην) ἐπὶ τῶν καμπύλων τῶν σανιδίνων κατὰ Tuttle (1952). Τὸ τμῆμα τοῦ διαγράμματος πέραν τοῦ 70 % Ab δὲν περιελήφθη ἐνταῦθα.

ΑΒ Καμπύλη φυσικῶν σανιδίνων πυρωθέντων ὑπὸ τοῦ Tuttle.

ΓΔ Καμπύλη κρυπτοπερθιτικῆς σειρᾶς σανιδίνου - ἀνορθοκλάστου.

1. Σανίδινα μὴ πυρωθέντα.
2. Πυρωθέντα σανίδινα εἰς 1060° - 1075° τούλαχιστον ἐπὶ ἐβδομάδα.
3. Κρυπτοπερθιτικοὶ κρυστάλλοι σανιδίνου Σαμοθράκης.
4. 'Ομογενοποίησις διὰ θερμάνσεως τοῦ ὑπὸ συμβολισμὸν ΣΚ κρυστάλλου ἐπὶ 5 λεπτὰ εἰς θερμοκρασίαν 1000° (ΣΚΠ)
5. Μεταβολὴ γωνίας ὀπτικῶν ἀξόνων σανιδίνου 'Αψάλου μετὰ πύρωσιν 20 ἡμερῶν εἰς 1060° - 1075°.

Τὸ σχῆμα τῆς εἰκόνος 3 παριστᾶ μίαν συνοπτικὴν ἀπεικόνισιν τῆς σχέσεως γωνίας καὶ θέσεως τοῦ ἐπιπέδου τῶν ὀπτικῶν ἀξόνων ἀφ' ἐνὸς καὶ ἀκτινογραφικῶς διαπιστωθείσης περιεκτικότηος εἰς ἀλβίτην ἀφ' ἔτερου (βάσει τῶν στοιχείων τοῦ πίνακος V) ἐν συνδυασμῷ πρὸς τὰς καμπύλας Tuttle

(1952). Ή καμπύλη ΓΔ παριστά τήν κρυπτοπερθιτικήν σειράν σανιδίου - ἀνορθοκλάστου, ἐνῷ ή AB ἀναφέρεται εἰς πυρωθέντα ὑπὸ τοῦ *Tuttle* φυσικὰ σανίδια. Τὰ ὑπ' ἄριθ. 1 σύμβολα παριστοῦν τὰ ὑφ' ἡμῶν ἀκτινογραφηθέντα σανίδια (ἄνευ πυρώσεως) καὶ τὰ ὑπ' ἄριθ. 2 τὰ πυρωθέντα, ἔξαιρουμένων τῶν κρυπτοπερθιτικῶν κρυστάλλων Σαμοθράκης διὰ τοὺς ὅποιους ἰσχύει ὁ ὑπ' ἄριθ. 3 συμβολισμός. Βάσει τῆς ἀρχῆς *Tuttle* ἔδει τὰ ἔξετασθέντα σανίδια νὰ ἀνήκουν εἰς μίαν ἐκ τῶν δύο ἀνωτέρω σειρῶν. Τοῦτο ἐπαληθεύεται α) διὰ πέντε σανίδια τοῦ ὑπ' ἄριθ. 2 συμβολισμοῦ προβαλλόμενα ἐπὶ τῆς καμπύλης AB (ἢ κείμενα πλησίον αὐτῆς) καὶ β) διὰ τοὺς κρυπτοπερθιτικοὺς κρυστάλλους τοῦ σανιδίου τῆς Σαμοθράκης οἱ ὅποιοι κείνται πλησίον τῆς καμπύλης ΓΔ. Δι' δλας τὰς ἄλλας περιπτώσεις δὲν ἰσχύει ἡ διάκρισις κατὰ *Tuttle*. Τρία σανίδια τοῦ ὑπ' ἄριθ. 1 συμβολισμοῦ κείνται ἐπὶ τῆς καμπύλης ΓΔ καὶ ἔδει νὰ εἶναι κρυπτοπερθιτικὰ ἐνῷ δὲν εἶναι, τὰ περισσότερα δὲ ἐκ τῶν ὑπολοίπων, πυρωθέντων καὶ μή, εὑρίσκονται ἀπομεμακρυσμένα ἐκ τῶν δύο καμπύλων. Ἀναλόγους ἀποκλίσεις εὗρεν καὶ ὁ *Muir* (1963) διὰ πλούσια εἰς νάτριον μέλη (ἀνορθόκλαστα), θεωρήσας ως πιθανωτέραν αἰτίαν τὴν ὑπαρξίαν ἐν αὐτοῖς μικρᾶς ποσότητος ἀσβεστίου. Ἐὰν ἡ παραδοχὴ αὐτὴ εἶναι ὀρθή, δὲν ἀποκλείεται καὶ εἰς τὴν περίπτωσιν ἡμῶν, ως καὶ ἄλλαχοῦ ἀνεφέρθη, ὁ εἰς τὰ ἔξετασθέντα σανίδια ὑπάρχων ἀνορθίτης νὰ παίζῃ σημαντικὸν ρόλον εἰς τὴν ὀπτικὴν συμπεριφορὰν αὐτῶν.

Ο ὑπ' ἄριθ. 4 συμβολισμὸς παριστά τὴν μεταβολὴν, ἥν ὑπέστη τὸ ὑπὸ στοιχεῖα (ΣΚ) σανιδίουν Σαμοθράκης (Πίναξ V) μετὰ θέρμανσιν μόνον π ε ν τ ε λ ε π τ ᾱ ν ε i c χ i l i o n s β a θ μ o n s (ΣΚΠ), ἀχθὲν εἰς κατάστασιν πλήρους διμογενοποιήσεως δι' ἀπορροφήσεως τοῦ ἐν διαμείξει πρὸ τῆς πυρώσεως ὑπάρχοντος κρυπτοπερθιτικοῦ ἀλβίτου, ἢ ν ε ν ο ὑ δ ε μ i a c μ ε - t a β i l ḥ i s t h e γ w n i a c 2 V (ἐν προκειμένῳ ἵσης πρὸς 32°). Χαρακτηριστικὸν ἐνταῦθα εἶναι ὅτι, ἐνῷ ἡ τελικὴ κατάστασις τοῦ κρυστάλλου δὲν εἶναι περθιτική, ἐν τούτοις εὑρίσκεται πλησιέστερον πρὸς τὴν «κρυπτοπερθιτικὴν» καμπύλην ΓΔ ἢ ἡ ἀρχική, ἥτις ἦτο κρυπτοπερθιτική.

Τέλος ὁ συμβολισμὸς 5 δεικνύει τὴν ὀπτικὴν μεταβολὴν τοῦ σανιδίου τῆς Ἀψάλου, τὸ ὅποιον, καίπερ πυρωθὲν πολὺ περισσότερον τῶν ἄλλων εὑρίσκεται λίαν ἀπομεμακρυσμένον τῆς καμπύλης AB.

#### **Μονοκλινής κρυπτοαλβίτης.**

Ώξεν τοῖς προηγουμένοις ἀνεφέρθη, ὅλα τὰ σανίδια εἶναι διμογενῆ πλὴν τοῦ σανιδίου τῆς Σαμοθράκης, τὸ ὅποιον ἀπεδείχθη κρυπτοπερθιτικόν. Ἡ ἀκτινογραφικὴ ἔξετασις μονοκρυστάλλων ἔδειξεν ὅτι ἡ νατριούχος φάσις τοῦ ἐν λόγῳ περθίτου δὲν εἶναι τρικλινοῦς μορφῆς ἀλλὰ μονοκλινής. Μέχρι σήμερον οὐδεὶς μονοκλινής ἀλβίτης ἐν τῇ φύσει ἔχει

παρατηρηθῇ. Ὁ ἐν τῇ βιβλιογραφίᾳ ἀναφερόμενος ὑπὸ τὸ ὄνομα «μπαρ-μπιερίτης», ώς εἰς τὸ γενικὸν μέρος ἀνεφέρθη, δὲν ἀνταποκρίνεται πρὸς τὴν πραγματικότητα. Ἀντιθέτως, ἐργαστηριακῶς ὁ *Brown* (1960) κατώρθωσε δι’ ἐπανειλημένων πυρώσεων νὰ μετατρέψῃ τὴν τρικλινῆ μορφὴν τοῦ ἀλβίτου εἰς μονοκλινῆ τοιαύτην (μοναλβίτης) (βλ. καὶ γενικὸν μέρος). Διὰ τὴν ἔξακρίβωσιν τῆς μορφῆς τοῦ κρυπτοπερθιτικοῦ ἀλβίτου τοῦ σανιδίνου τῆς Σαμοθράκης ἐλήφθησαν διαγράμματα μεταπτώσεως (Precession) κυρίως παραλλήλως πρὸς τὰς κατεύθυνσεις [100] καὶ [001], ώς ἐπίσης βοηθητικῶς παραλλήλως πρὸς ὅλλας διευθύνσεις τῆς ζώνης [h0l]. Εἰς οὐδεμίαν περίπτωσιν εὑρέθησαν ἀνακλάσεις ἀλβίτου τρικλινοῦς συμμετρίας. Ἡ ὑπὸ ἀριθ. 11 εἰκὼν παριστᾶ διάγραμμα περθιτικοῦ ὀρθοκλάστου (τραχειανδεσίτου τῆς Ροδόπης) ληφθὲν μὲν ἔξονα μεταπτώσεως παραλλήλως πρὸς [100] εἰς τὸ ὅποιον διακρίνονται σαφῶς (σημειούμεναι διὰ μικρῶν βελῶν) αἱ (002) ἀνακλάσεις κανονικοῦ (τρικλινοῦς) κρυπτοπερθιτικοῦ ἀλβίτου, εὑρισκόμεναι εἰς ἀλβιτικὴν διδυμίαν ὑπὸ μορφὴν «δορυφόρων» ἀμφοτέρωθεν τῆς ἀντίστοιχου ἰσχυρᾶς ἀνακλάσεως τῆς καλιούχου φάσεως. Εἰς τὸ ἀντίστοιχον διάγραμμα τοῦ σανιδίνου τῆς Σαμοθράκης (Εἰκ. 12) αἱ ἐν λόγῳ ἀνακλάσεις λείπουν, συμπίπτουσαι ὁμοῦ μετὰ τῆς (002) ἀνακλάσεως τοῦ σανιδίνου. Εἰς τὴν ὑπὸ ἀριθ. 13 εἰκόνα τοῦ σανιδίνου τῆς Σαμοθράκης, ἥτις παριστᾶ διάγραμμα μεταπτώσεως ληφθὲν παραλλήλως πρὸς [001], διακρίνει τις παρὰ τὰς ἀνακλάσεις τοῦ σανιδίνου ἀσθενεστέρας ἐντάσεως τοιαύτας κρυπτοαλβίτου διατεταγμένας ώς πρὸς τὰς πρώτας παραλλήλως πρὸς τὴν κατεύθυνσιν a\*. Δύο ἐκ τῶν ἀνακλάσεων τοῦ ἀλβίτου, αἱ (400) καὶ (420), σημειούνται διὰ μικρῶν βελῶν. Βάσει τῆς ἐν λόγῳ εἰκόνος δὲν τίθεται ἐν ἀμφιβόλῳ ἡ μονοκλινῆς συμμετρία τοῦ κρυπτοπερθιτικοῦ ἀλβίτου. Ἡ συμμετρία ἐπεβεβαιώθη ἐπίσης καὶ διὰ διαγραμμάτων ληφθέντων παραλλήλως πρὸς ὅλλας διευθύνσεις τῆς ζώνης [h0l]. Τὸ διάγραμμα π.χ. μὲν ἔξονα μεταπτώσεως τὴν κατεύθυνσιν [102] ἥτο ἀναλόγου φύσεως πρὸς τὸ τῆς ἀνωτέρω εἰκόνος. Σχετικῶς πρὸς τὴν κατεύθυνσιν παραλλήλως πρὸς b\*, ώς καὶ παραλλήλως πρὸς c\* (Εἰκ. 12), δὲν γίνεται σαφῆς διαχωρισμὸς τῶν ἀνακλάσεων καλιούχου καὶ νατριούχου φάσεως, διότι αἱ ἀντίστοιχοι σταθεραὶ εἰναι τοῦ αὐτοῦ σχεδὸν μεγέθους. Ἐνταῦθα πρέπει νὰ ληφθῇ ὑπὸ δψιν ὅτι ἡ καλιούχος φάσις δὲν ἀντιπροσωπεύει χημικῶς καθαρὸν  $KAlSi_3O_8$  ἀλλὰ περιέχει σημαντικὴν ποσότητα νατριούχου ἀστρίου ὑπὸ μορφὴν μεικτοῦ κρυστάλλου, ἔξικνον μένη εἰς ωρισμένα σημεῖα καὶ μέχρι τοῦ τετάρτου τῆς ὀλικῆς μάζης αὐτοῦ (βλ. Πίν. V ἐνθα αἱ διδόμεναι περιεκτικότητες ἀφοροῦν εἰς μόνον τὸν εἰς μικτὴν κατάστασιν εὐρισκόμενον ἀλβίτην, μὴ συμπεριλαμβανομένου τοῦ περθιτικοῦ τοιούτου). Ἐκ τούτου συνάγεται ὅτι εἰς τὸ σανιδίνον τῆς Σαμοθράκης δὲν διεμείχθη ὅλος ὁ περιεχόμενος ἀλβίτης ἀλλ’ ωρισμένη ποσότης αὐτοῦ ὑπολογισθεῖσα ἐκ διαφόρων περιπτώσεων εἰς 20-

Σανιδινορθόκλαστον.

Ἐπειδὴ εἰς τὸ ἐπόμενον κεφάλαιον θίγομεν τὰ κυριώτερα σημεῖα τὰ ἀφορῶντα εἰς τὴν διάκρισιν δρθοκλάστου - σανιδίνου, ἥτις παρ' ὅλας τὰς

μέχρι σήμερον γενομένας έρευνας δὲν είναι άκόμη σαφής, θεωρούμεν σκόπιμον ὅπως δώσωμεν ἐνταῦθα σύντομον περιγραφὴν τοῦ σανιδινοῦ ροθοκλαστοῦ αὐτοῦ, μιᾶς ἴδιοτύπου μορφῆς καλιούχου ἀστρίου παρατηρηθείσης τὸ πρῶτον ὑφὲ ἡμῶν κατὰ τὴν ἔρευναν τῶν ἡφαιστιτῶν τῆς Ροδόπης (*Soldatos*, 1961) καὶ ἔχούσης ἀμεσον σχέσιν μὲν τὸ ἀντικείμενον τῆς παρούσης μελέτης.

Ὦς σανιδινορθόκλαστα ἐκαλέσαμεν ὠρισμένους καλιούχους ἀστρίους, οἵτινες ἀνευρέθησαν ὡς φαινοκρύσταλλοι εἰς τραχυανδεσίτας τῶν ἀνατολικῶν κλιτῶν τοῦ ὄρους Μπετζεριάνο καὶ τῆς περιοχῆς τοῦ Καλοτούχου τοῦ συγκροτήματος τῆς Ροδόπης. Οἱ κρύσταλλοι οὗτοι είναι εἰς τὸν πυρῆνα καθαροὶ καὶ διαυγεῖς, ἐνῷ εἰς τὴν περιφέρειαν θολοὶ λόγῳ καολινώσεως. Ἡ μικροσκοπικὴ αὐτῶν ἔξετασις ἔδειξεν ὅτι ἡ γωνία τῶν ὀπτικῶν ἀξόνων, ὃν τὸ ἐπίπεδον εὑρέθη πάντοτε κάθετον ἐπὶ τῷ (010), είναι εἰς μὲν τὸ διαυγές τμῆμα  $10^{\circ} - 23^{\circ}$ , κυμαίνομένη ἀπὸ θέσεως εἰς θέσιν τοῦ αὐτοῦ κρυστάλλου ὡς καὶ ἀπὸ κρυστάλλου εἰς κρύσταλλον, εἰς δὲ τὴν περιφέρειαν  $40^{\circ} - 50^{\circ}$ . Δηλαδὴ δικρύσταλλος ἀποτελεῖται κατὰ τὸ κέντρον ἀπὸ σανίδινον καὶ κατὰ τὴν περιφέρειαν ἀπὸ ὀρθόκλαστον<sup>1</sup>. Ἀκτινογραφικὰ διαγράμματα μονοκρυστάλλων διὰ τῆς μεθόδου τοῦ μεταπτωτικοῦ θαλάμου κατὰ τὰς κατευθύνσεις [100] καὶ [001] ἐπηλήθευσαν τὰς ὀπτικὰς παρατηρήσεις. Αἱ ὑπὸ ἀριθ. 14 καὶ 15 εἰκόνες παριστοῦν δύο τοιαῦτα διαγράμματα ληφθέντα ἐκ τμήματος κρυστάλλου ἀποτελουμένου ἐξ ἀμφοτέρων τῶν φάσεων. Ἐξ αὐτῶν συνάγεται ὅτι οἱ ἀντίστοιχοι κρυσταλλογραφικοὶ ἄξονες συμπίπτουν, καὶ ἐνῷ παραλλήλως πρὸς b\* καὶ c\* λόγῳ τῶν αὐτῶν περίπου σταθερῶν τοῦ πλέγματος οὐδεμίᾳ διάκρισις τῶν δύο φάσεων γίνεται (Εἰκ. 14), αὕτη ἐμφανίζεται μόνον παραλλήλως πρὸς a\*, καὶ σαφέστερον πρὸς τοὺς μεγαλυτέρους δείκτας (Εἰκ. 15). Ἡ διὰ τῶν βελῶν σημειουμένη ἀνάκλασις (420) δεικνύει σαφῶς τὰς δύο φάσεις. Ἐκ τῆς ἀποτιμήσεως τοῦ διαγράμματος ἐλήφθη

$$d_{(100)} = 7,704 \text{ \AA} \text{ (όρθοκλαστον)}$$

$$d_{(100)} = 7,596 \text{ \AA} \text{ (σανίδινον)}$$

Ἐπὶ τῇ βάσει τῶν ἀνωτέρω τιμῶν (Laves, 1952) τὸ ὀρθόκλαστον είναι καθαρὸς καλιούχος ἀστριος, ἐνῷ τὸ σανίδινον περιέχει ἀλβίτην (ἀναλβίτην) ὑπὸ μορφὴν μεικτοῦ κρυστάλλου εἰς περιεκτικότητα 30% περίπου.

Διὰ τὴν γένεσιν τοῦ σανιδινορθοκλάστου δύο ἐρμηνεῖαι είναι δυναταί:

1) Νὰ θεωρηθῇ ὡς ἔγκλεισμα ἔξωγενές τοῦ ἡφαιστίτου. Ἀρχικὸν δηλ. ὀρθόκλαστον ἀνῆκον εἰς τὰ προϋπάρχοντα πετρώματα βάσεως ἐνεκλείσθη

<sup>1</sup> Κατὰ τὴν διάρκειαν τῆς ἐκτυπώσεως τῆς παρούσης μελέτης ἐλήφθη ἡ ἐργασία τῆς Michaelis de Saenz (1963), εἰς ἣν ἀναφέρεται ὅτι παρετηρήθη ἐντὸς ἐρυθροψαμμίτου τοῦ Δεβονίου αὐθιγενές μικροκλινοειδὲς σανίδινον (μὲν ὀπτικὴν σανιδίνου) περιβάλλον ὑπὸ μορφὴν φλοιῶν κόκκους ὀρθοκλάστου.

ύπο τῆς λάβας καὶ μετετράπη λόγῳ θερμάνσεως μερικῶς εἰς σανίδινον (σανίδινίωσις). Ἡ ἄποψις αὕτη θεωρεῖται ἀπορριπτέα, διότι ἔδει τὸ ἔξωτερικὸν τοῦ κρυστάλλου νὰ εἶναι σανίδινον καὶ τὸ ἔσωτερικὸν δρθόκλαστον. Ἀκόμη καὶ ἂν δεχθῶμεν τὴν ἄποψιν Rittmann (1958), καθ' ἥν οἱ μαγματικῶς διαβρωθέντες κρύσταλλοι χαλαζίου καὶ ἀστρίων θεωροῦνται ὡς ὑπολείμματα κρυσταλλοβλαστῶν τῶν πετρωμάτων βάσεως, ἅτινα ὑποστάντα ἀνάτηξιν ἔδωσαν γένεσιν εἰς τὸ μάγμα, δὲν δύναται πάλιν νὰ ἔξηγηθῇ ἡ ὑπαρξίας τοῦ δρθοκλάστου ὡς ἀναλλοιώτου ἀρχικοῦ ὑλικοῦ εἰς τὴν περιφέρειαν. Ἐπομένως θεωρεῖται πιθανωτέρα ἡ δευτέρᾳ ἔξήγησις.

2) Κατ' αὐτὴν οἱ κρύσταλλοι εἶναι σανίδινα ἀνήκοντα ἔξ αρχῆς εἰς τὸν ἡφαιστίτην - ἀνεξαρτήτως τῆς προελεύσεως τοῦ μάγματος ἔξ ἀνατήξεως ἢ ὅχι - τὰ ὅποια μετετράπησαν ἀκολούθως ἐν μέρει ἢ καθ' δλοκληρίαν εἰς δρθόκλαστον. Αὐτὴ ἡ ἀσυνήθης μετατροπὴ τοῦ σανίδινου εἰς δρθόκλαστον θὰ πρέπει νὰ ἀποδοθῇ εἰς φυσικοχημικοὺς παράγοντας μεταηφαστικῆς ἐπιδράσεως. Βάσει τῶν δσων ἔξετέθησαν εἰς τὸ γενικὸν μέρος εἰς ὅτι ἀφορῷ εἰς τὴν ταξινομημένην ἢ μὴ διάταξιν τῶν Al/Si τοῦ πλέγματος τὸ δρθόκλαστον θεωρεῖται ὡς μία μεταβατική κατάστασις μεταξὺ τοῦ εἰς μὴ ταξινομημένην διάταξιν εὑρισκομένου σανίδινου (μορφὴ ὑψηλῆς θερμοκρασίας) καὶ τοῦ εἰς ταξινομημένην διάταξιν εὑρισκομένου μικροκλινοῦς (μορφὴ χαμηλῆς θερμοκρασίας). Ἡ μετατροπὴ ἐκ τῆς πρώτης εἰς τὴν δευτέραν ἢ εἰς μίαν ἐνδιάμεσον κατάστασιν εἶναι συνάρτησις τοῦ χρόνου θεωρουμένου ἐνταῦθα εἰς γεωλογικοὺς αἰῶνας. Τὸ γεγονός ὅτι τὰ σανίδινα ὡς ἐπὶ τὸ πολὺ συναντῶνται εἰς νεωτέρας λάβας (ἀλπικῆς ἥλικιας), ἐνῷ ἀπὸ τὰς παλαιοτέρας (προαλπικάς) λείπουν, ἐνισχύει αὐτὴν τὴν ἄποψιν. Εἰς τὴν προκειμένην ὅμως περίπτωσιν τοῦ σανίδινορθοκλάστου προφανῶς ὁ χρόνος δὲν ἔπαιξε σπουδαῖον ρόλον. Ἀντιθέτως τὸ φαινόμενον θὰ πρέπει νὰ τὸ ἀποδώσωμεν εἰς τὴν ἐπίδρασιν μεταηφαστικῆς ἐνεργείας ἐπὶ τῶν ἥδη σχηματισθέντων σανίδινων, καθ' ἥν ταῦτα μετεβλήθησαν ἐν μέρει ἢ καθ' δλοκληρίαν εἰς δρθόκλαστον. Ὑπὲρ τῆς ἀπόψεως αὐτῆς διὰ τὴν γένεσιν τοῦ σανίδινορθοκλάστου συνηγορεῖ 1) τὸ γεγονός ὅτι τὰ περιέχοντα αὐτὸ πετρώματα εἶναι ἥλιοιωμένα, 2) ὑπάρχουν ἐντὸς αὐτῶν τόσον σανίδινορθόκλαστα ὅσον καὶ δρθόκλαστα - συνήθως οἱ μικροτέρων διαστάσεων κρύσταλλοι ἀποτελοῦνται κυρίως ἔξ δρθοκλάστου - οὐδέποτε ὅμως ἀναλλοίωτα σανίδινα καὶ 3) ἡ παρουσία τοῦ καολίνου ἐντὸς τοῦ δρθοκλάστου οὐχὶ ὅμως ἐντὸς τοῦ σανίδινου.

#### Διάκρισις σανίδινου - δρθοκλάστου

Κατόπιν τῆς παραθέσεως ὅλων τῶν δεδομένων τῆς ἔξετάσεως τῶν σανίδινων ἐκτίθενται κατωτέρω ἐν συντόμῳ τὰ κυριώτερα στοιχεῖα ἐπὶ τῶν κριτηρίων διακρίσεως δρθοκλάστου - σανίδινου.

1. Ή αντίληψις έρευνητῶν τινῶν δτι ἡ γωνία  $n_a$  Λ[100] ἐπὶ τομῆς (010) εἶναι εἰς τὸ δρθόκλαστον μηδενική - καὶ ἐκ τούτου διακρίνεται τὸ δρθόκλαστον ἀπὸ τὸ σανίδινον - δὲν εἶναι ἐξ ἀντικειμένου δρθή.

2. Ή ἔξωτερική μορφὴ τῶν κρυστάλλων (καὶ ἡ περιβολὴ αὐτῶν) δὲν εἶναι διακριτικὸν γνώρισμα μεταξὺ δρθοκλάστου - σανίδινου.

3. Ή θέσις E.O.A. δύναται μόνον ἐν μέρει νὰ χρησιμοποιηθῇ ὡς κριτήριον. Οὕτως ἐὰν τοῦτο εἶναι παράλληλον πρὸς τὸ δεύτερον πινακοειδές, δυνάμεθα νὰ ἀποφανθῶμεν σχεδὸν μετὰ βεβαιότητος δτι πρόκειται περὶ σανίδινου. Δὲν ἐκφραζόμεθα ἀπολύτως μετὰ βεβαιότητος, διότι καὶ εἰς αὐτὴν τὴν περίπτωσιν παρετηρήθη ὑπὸ τοῦ *Lacroix* (1922) ἡ μοναδικὴ ἔξαιρεσις εἰς τὸ γνωστὸν σιδηρούχον δρθόκλαστον τῆς Μαδαγασκάρης, ὠρισμένοι κρύσταλλοι τοῦ ὁποίου ἔχουν ὀπτικήν σανίδινου. Ὁπωσδήποτε δμως δὲν δυνάμεθα νὰ παραδεχθῶμεν εἰς τὴν περίπτωσιν αὐτὴν σχηματισμὸν ὑψηλῆς θερμοκρασίας, λόγῳ τοῦ δτι τὸ ἐν λόγῳ δρθόκλαστον εὑρέθη εἰς πηγαδιτήν. Χαρακτηριστικὴ ἐπὶ τοῦ προκειμένου εἶναι ἡ ἄποψις τοῦ *Lacroix* (σελ. 561). «Il ne s'agit plus ici d'une roche volcanique, mais d'une pegmatite, c'est-à-dire d'une roche qui ne s'est pas formée à haute température. Ce minéral constitue une forme très remarquable d'orthose, dans laquelle une petite quantité d'alumine est remplacée par du fer».

Αν λοιπὸν ἔξαιρέσωμεν τὴν σπανίαν αὐτὴν περίπτωσιν εἰς ἥν, φαίνεται, ἡ παρουσία τοῦ σιδήρου ἐπιδρᾷ ἐπὶ τῆς θέσεως τοῦ E.O.A., ὡς ἀναφέρει ὁ *Coombs* (1954) «A tendency for the most ferriferous felspars.....to have their optic axial planes parallel to (010) has already been noted», τότε ἡ θέσις τοῦ E.O.A. παραλλήλως πρὸς τὸ δεύτερον πινακοειδές εἶναι ἀποφασιστικὸν κριτήριον ὑπὲρ τοῦ σανίδινου.

4. Εἰς τὴν περίπτωσιν δμως καθ' ἥν τὸ E.O.A. εἶναι κάθετον ἐπὶ τὸ (010), ἡτις καθ' ἡμᾶς εἶναι καὶ ἡ συνηθεστέρα εἰς τὰ σανίδινα, θὰ πρέπει νὰ ληφθῇ ὑπὸ ὅψιν τὸ μέγεθος τῆς γωνίας τῶν ὀπτικῶν ἀξόνων. Καὶ ἐφ' ὅσον αὕτη εἶναι πολὺ μεγάλῃ (δρθόκλαστον) ἡ πολὺ μικρὰ (σανίδινον) δὲν γεννᾶται πρόβλημα διαχωρισμοῦ τῶν δύο μορφῶν. Εἰς ἐνδιαμέσους δμως τιμᾶς μόνον ἡ ὀπτικὴ διάκρισις εἶναι δύσκολος. Οἱ *Hafner* καὶ *Laves* (1963) θέτουν ὡς δριον τὰς  $30^{\circ}$ : «Es ist heute allgemein üblich, optisch monokline K-Feldspäte, deren optische Achsenebene senkrecht zu (010) steht, als Orthoklas zu bezeichnen, wenn der Winkel zwischen den optischen Achsen grösser als etwa  $30^{\circ}$  ist».

Ἐν τούτοις ἀνεύρομεν σανίδινα μὲ 2V μέχρι  $37^{\circ}$  (βλ. ὀπτικὸν μέρος), ἀνάλογοι δὲ τιμαὶ ἀναφέρονται παρατηρηθεῖσαι ὑπὸ τῶν *Larsen* ( $41^{\circ}$ ) καὶ *Kozu* ( $38^{\circ}$ ) (βλ. εἰς *Tuttle*, 1952). Ἐν προκειμένῳ ἡ ἄποψις *Martunin* (1961), ὅστις θέτει ὡς δριον χαμαισανίδινον - ὑψιορθοκλάστων

τὴν περιοχὴν τῶν  $40^{\circ}$ - $44^{\circ}$ , φαίνεται ὡς ὀρθοτέρα.

5. Ἡ ὑπαρξίς τῶν κρυστάλλων ἐντὸς ἡφαιστιτῶν ἀλπικῆς ἥλικίας συνηγορεῖ ὑπὲρ τοῦ σανιδίνου χωρὶς καὶ τοῦτο νὰ εἶναι ἀπόλυτον. Ὁ συγγραφεὺς εὗρε π.χ. ἐντὸς ἡλλοιωμένων ἡφαιστιτῶν τῆς Ροδόπης ὀρθόκλαστα ὡς καὶ τὸ ἀποκληθὲν «σανιδινορθόκλαστον». Εἰς τὴν περίπτωσιν ταύτην ἔληφθη ὑπ' ὅψιν διὰ τὴν διάκρισιν τῶν δύο μορφῶν καὶ τὸ φαινόμενον τῆς διαμείξεως. Οὕτω κατὰ *Soldatos* (1961) «Die Bezeichnung "Orthoklas" wird hier für diejenigen Kalifeldspäte der untersuchten Gesteine verwendet, die bei normalsymmetrischer Achsenlage ein grösseres 2V als die Sanidine besitzen, und die röntgenographisch Albitentmischungen aufweisen».

Ἐν τούτοις εἰς τὸ σανιδίνον τῆς Σαμοθράκης ἔχομεν κρυπτοπερθίτην, ὁπωσδήποτε πάντως ὅχι τυπικὸν «φανεροπερθίτην», ὅστις συνήθως ὡς μικροπερθίτης συναντᾶται εἰς τὰ ὀρθόκλαστα. Σχετικὴ ἐνταῦθα εἶναι ἡ ἀποψις τῶν *Mackenzie* καὶ *Smith* (1955), καθ' ἣν οἱ πλούσιοι εἰς κάλιον ἀστριοι μὲ διπτικὰς γωνίας μεγαλυτέρας τῶν  $40^{\circ}$ - $45^{\circ}$  εἶναι περθῖται.

6. Ἀποφασιστικὸν ρόλον εἰς τὴν διάκρισιν σανιδίνον - ὀρθοκλάστου παίζει ἐπίσης ἡ τυχὸν διαπιστουμένη διπτικῶς, καλύτερον ὅμως ἀκτινογραφικῶς, ἀρχομένη τρικλινικότης, ὅπερ δηλοὶ ἀπόκλισιν ἀπὸ τὴν τελείαν μὴ ταξινομημένην διάταξιν τῶν Al/Si. Λαμβανομένου δὲ ὑπ' ὅψιν κατὰ *Marfunin* (1961) ὅτι «the potash feldspars with small optic axial angles are all monoclinic.....Potash feldspars with axial angles of more than  $44^{\circ}$  show variable symmetry for constant 2V», πρέπει ἡ ἀνωτέρω ἀπόκλισις ἐκ τῆς «μονοκλινικότητος» νὰ κλίνῃ ὑπὲρ τοῦ χαρακτηρισμοῦ τοῦ κρυστάλλου ὡς ὀρθοκλάστου.

Ἐν συμπεράσματι καταφαίνεται ὅτι δὲν εἶναι σαφῇ τὰ ὅρια διακρίσεως σανιδίνου - ὀρθοκλάστου, δηλ. τὸ ὀρθόκλαστον εἶναι μία μεταβατικὴ κατάστασις μεταξὺ σανιδίνου - μικροκλινοῦ. Πάντως, ἐφ' ὅσον χρησιμοποιοῦμεν τὸν ὄρον «ὀρθόκλαστον», θὰ πρέπει πρὸς διάκρισιν ἀπὸ τοῦ σανιδίνου νὰ συνδυάζωμεν θέσιν ἐπιπέδου διπτικῶν ἀξόνων, μέγεθος γωνίας αὐτῶν, τρικλινικότητα, περθιτίωσιν, εἴδος πετρώματος εἰς ὃ συνηντήθη ὁ κρύσταλλος, ὡς καὶ τυχὸν δευτερογενεῖς ἀλλοιώσεις (π.χ. ἐκ μεταηφαστικῆς ἐπιδράσεως).

## ΑΝΑΚΕΦΑΛΑΙΩΣΙΣ

Έξετάζονται λεπτομερώς όπτικως, άκτινογραφικώς καὶ χημικῶς σανίδινα ἑλληνικῆς προελεύσεως. Τόσον εἰς τὰ σανίδινα πρισματικῆς ἀναπτύξεως κατὰ [100] ὅσον καὶ εἰς τὰ πλακώδους τοιαύτης κατὰ (010) τὸ Ε.Ο.Α. εὑρίσκεται κάθετον ἐπὶ τὴν ἔδραν (010) τοῦ κρυστάλλου («όπτικὴ δρθοκλάστου»). Σανίδινα μὲ «όπτικὴν σανιδίνου», Ε.Ο.Α. || (010), παρουσιάζονται ως σπανιωτάτη ἔξαίρεσις. Έντος σανιδίνων μὲ «όπτικὴν δρθοκλάστου» εὑρίσκονται ἐνίστεις μὲ «όπτικὴν σανιδίνου», χωρὶς νὰ ὑπάρχουν διαφοραὶ περιεκτικότητος εἰς ἀλβίτην (ἀναλβίτην) μεταξὺ τῶν δύο περιπτώσεων.

Η άλλαγή του Ε.Ο.Α. κατά την πύρωσιν σανιδίνων με «όπτικην όρθο-κλάστον» δέν είναι κανών. Είς σανίδινα περιεκτικότητος ύπερβαινούσης κατά τι τὸ 40% Ab(+An+Ce), τῆς περιοχῆς Ἀψάλου - Μαυροβουνίου, τυ-πικῆς πλακώδους ἐμφανίσεως, ἡ ἀρχικὴ «όπτικη όρθοκλάστου» ( $2V_a = 28^{\circ}-37^{\circ}$ ) μετά θέρμανσιν 20 ὥμερῶν είς θερμοκρασίαν  $1060^{\circ}-1075^{\circ}$  δέν με-τεβλήθη, ύποστάσης ἀπλᾶς τῆς γωνίας σμίκρυνσιν ως ἐπὶ τὸ πλεῖστον  $100^{\circ}-150^{\circ}$ .

Μελετᾶται ό κεκλιμένος διασκεδασμός τῶν διχοτόμων καὶ δεικνύεται ὅτι τόσον εἰς τὰ φυσικὰ σανίδινα μὲ «ἀπτικήν σανιδίνου» ὅσον καὶ εἰς τὰ πυρωθέντα τοιαῦτα, τὰ ἀποκτήσαντα ταύτην, ὁ ἀπτικὸς ἄξων Α σκεδάννυται περισσότερον ἢ ὁ ἄξων Β.

Μελετῶνται οἱ δ.δ. ἐν συνδυασμῷ μὲ τὴν περιεκτικότητα εἰς ἀλβίτην τῶν σανδίνων.

Δίδονται οι χημικοί τύποι έπτα άναλυθέντων σανιδίνων. Χημικῶς ἀποδεικνύεται ἐπίσης ἡ ὑπαρξία μικρῶν ποσοτήτων ἀνορθίτου και κελσιανοῦ, ἀναφέρονται δὲ αἱ πιθαναὶ ἐπιδράσεις τῶν στοιχείων Ba και Ca ἐπὶ τῶν δπτικῶν ἴδιοτήτων.

‘Ως πιθανώτερον αἴτιον τῆς ζωνώδους συστάσεως τῶν κρυστάλλων τῶν σανιδίνων θεωρεῖται μία ἀσυνεχής μεταβολὴ τῶν θερμικῶν συνθηκῶν κατὰ τὸν σχηματισμὸν αὐτῶν.

<sup>3</sup> Ακτινογραφικῶς προσδιορίζονται αἱ σταθεραὶ τῶν κρυστάλλων, ἀνευρίσκεται ἡ περιεκτικότης εἰς ἀλβίτην καὶ μελετῶνται κρυπτοπερθιτικὰ φαινόμενα. Εἰς τὰς περισσοτέρας περιπτώσεις πρόκειται περὶ μεικτῶν κρυστάλλων, ἐνῷ εἰς μίαν περίπτωσιν (σανίδινον Σαμοθράκης) ἀνευρίσκεται νέα

μορφή κρυπτοαλβίτου (μονοκλίνονς συμμετρίας). Αποδεικνύεται ότι δὲν δυνάμεθα μόνον δύπτικδς, καὶ ἄνευ ἀκτινογραφικῆς ἐξετάσεως, νὰ ἀποφανθῶμεν περὶ τῆς κρυπτοπερθιτικῆς καταστάσεως τῶν σανιδίνων βάσει τῶν καμπύλων *Tuttle*. Ἡ διάκρισις ἐπίσης εἰς χαμαι- καὶ ὑψισανίδινα δὲν εἶναι μόνον ἐπὶ τῇ βάσει δύπτικῶν κριτηρίων ἀσφαλής.

Αναφέρεται τέλος ἐπὶ τίνων κριτηρίων πρέπει νὰ στηρίζεται ἡ διάκρισις σανιδίνου - δρθοκλάστου εἰς τὰς περιπτώσεις μὴ σαφοῦς διαφορισμοῦ αὐτῶν.

## ZUSAMMENFASSUNG

Sanidine aus verschiedenen Vulkangebieten Griechenlands wurden optisch, röntgenographisch und chemisch untersucht. Zwischen Kristalltracht und Lage der Achsenebene wurde keine Beziehung festgestellt. Die «Orthoklasoptik», bei der die Achsenebene senkrecht zu (010) liegt, ist bei den untersuchten Sanidinen sehr verbreitet.

Die «Sanidinoptik» kommt ausserordentlich selten vor. Einige Kristalle mit vorwiegend «Orthoklasoptik» zeigen stellenweise «Sanidinoptik», wobei kein Unterschied im Albitgehalt beobachtet wurde.

Bei Erhitzungsversuchen auf 1060°-1075°C wurde festgestellt, dass der Wechsel der Achsenebene von normalsymmetrischer in die paraxialsymmetrische Lage keine Regel ist.

Sanidine vom Apsalos-Maurovouni-Gebiet mit  $2V_a = 28^\circ - 37^\circ$ , die etwa 40% Ab (+An + Ce) enthalten, zeigten nach 20-tägigem Erhitzen noch «Orthoklasoptik», wobei meist nur eine Verminderung des Achsenwinkels von  $10^\circ - 15^\circ$  beobachtet wurde.

Bei den Sanidinen mit «Sanidinoptik» wird die geneigte Dispersion studiert. Dabei wird gezeigt, dass sowohl bei den unerhitzten wie auch den erhitzten Sanidinen die optische Achse A mehr dispergiert ist, als die B Achse.

Sieben Sanidine sind chemisch analysiert worden. Barium und Calcium wurden auch bestimmt, und die eventuelle Beeinflussung der Kristalloptik durch diese Elemente wird diskutiert.

Röntgenographisch wurden die Gitterkonstanten und der Albitgehalt bestimmt. Fast alle Sanidine zeigen röntgenographisch keinen kryptoperthitischen Albit. Einzig beim Sanidin von der Insel Samothraki ist eine neue Modifikation von Kryptoalbit festgestellt worden; es handelt sich um einen monoklinen Albit (Monalbit).

Nur aus den optischen Kurven von Tuttle (1952), d.h. ohne Röntgenuntersuchung, kann man nicht entscheiden, ob ein Sanidin kryptoperthitisch entmischt ist oder nicht. Die Unterscheidung zwischen Hoch- und Tief-Sanidin ist nur auf Grund der optischen Untersuchung nicht sicher.

Der Zonarbau der Sanidine wird diskutiert.

Schliesslich werden die Kriterien besprochen, worauf, nach der Meinung des Verfassers, die Unterscheidung zwischen Sanidin und Orthoklas stattfinden kann.

## SUMMARY

Sanidines from Greek localities have been studied in detail optically, chemically and by means of x-rays. In both the elongated sanidines along [100] and the tabular sanidines parallel to (010) the optic plane is normal to the face (010).

Sanidines with optic plane parallel to (010) are a very rare exception. In sanidines with the optic plane normal to (010) have occasionally been observed spots where the optic plane was (010) but no difference in the albite (analbite) percentage could be detected.

The change of the optic plane by heating sanidines is not a rule. In sanidines from the Apsalos - Maurovouni district, with typical tabular appearance and an Ab content slightly over 40%, the original orientation of the optic plane ( $2V_a = 28^\circ - 37^\circ$ ) did not change after continuous heating at  $1060^\circ - 1075^\circ\text{C}$  for 20 days. Only the optic angle became smaller by  $10^\circ - 15^\circ$  in most cases.

The inclined dispersion in sanidines with optic plane parallel to (010) has been studied and it is shown that in both unheated and heated sanidines the optic axis A is more dispersed than the B axis.

The indices of refraction have been studied in connection with the percentage of albite in the sanidines.

The formulae of seven chemically analysed sanidines are given.

The presence of small quantities of anorthite and celsian has been proved chemically, and the probable influence of Ba and Ca on the optical properties is discussed.

As the most probable cause for zoning in the sanidines is considered a discontinuous change of the thermal conditions during growth.

The unit cell constants of the crystals have been determined by x-rays and the albite percentage has been deduced. Further cryptoperthitic phenomena have been studied. In the majority of the cases we have mixed crystals; in one instance, however, (sanidine from Samothrace) a new modification of cryptoalbite (of monoclinic symmetry) has been observed. It is indicated that it is not safe to decide about the cryptoperthitic state of the sanidines solely by optical means

Tuttle's curves) without x-ray investigation. Also the distinction between low- and high-sanidine is not sure only by optical criteria.

In the end are discussed the criteria, upon which, in the author's opinion, should be based the distinction between sanidine and orthoclase in cases of ambiguity.

## SUMMARY

The following conclusions may be drawn from the present work:

- 1. Sanidine is a mineral with a definite crystallographic structure, which is different from that of orthoclase.
- 2. The structure of sanidine is triclinic, with a unit cell of 10.10-10.12 Å in most cases.
- 3. The structure of sanidine is similar to that of orthoclase, with the exception of the following differences:

- a) The structure of sanidine is more compact than that of orthoclase, with a smaller unit cell.
- b) The structure of sanidine is more complex than that of orthoclase, with a larger number of atoms per unit cell.
- c) The structure of sanidine is more stable than that of orthoclase, with a higher melting point.
- d) The structure of sanidine is more difficult to determine than that of orthoclase, with a higher degree of disorder.

The following conclusions may be drawn from the present work:

- 1. The structure of sanidine is triclinic, with a unit cell of 10.10-10.12 Å in most cases.
- 2. The structure of sanidine is similar to that of orthoclase, with the exception of the following differences:

- a) The structure of sanidine is more compact than that of orthoclase, with a smaller unit cell.
- b) The structure of sanidine is more complex than that of orthoclase, with a larger number of atoms per unit cell.
- c) The structure of sanidine is more stable than that of orthoclase, with a higher melting point.
- d) The structure of sanidine is more difficult to determine than that of orthoclase, with a higher degree of disorder.

The following conclusions may be drawn from the present work:

- 1. The structure of sanidine is triclinic, with a unit cell of 10.10-10.12 Å in most cases.
- 2. The structure of sanidine is similar to that of orthoclase, with the exception of the following differences:

## ΒΙΒΛΙΟΓΡΑΦΙΑ

- BAMBAUER, H.U. und LAVES, F. (1960): Zum Adularproblem.- Schweiz. Min. Petr. Mitt., **40**, pp. 177-205.
- BARTH, T.F.W. (1929): Ueber den monoklinen Natronfeldspat.- Z. Krist., **69**, pp. 476-481.
- BARTH, T.F.W. (1934): Polymorphic phenomena and crystal structure.- Am. J. Sc., **227**, pp. 273-286.
- BARTH, T.F.W. (1962): The feldspar geologic thermometers.- Norsk Geol. Tidskrift, **42** (Feldspar volume), pp. 330-339.
- BASKIN, Y. (1956): Observations on heat-treated authigenic microcline and albite crystals.- J. Geol., **64**, pp. 219-224.
- BORKOWSKA, M. (1963): Études des feldspaths potassiques du massif granitique de Karkonosze (Sudètes, Pologne).- Bull. Soc. franç. Min. Cr., **86**, pp. 109-114.
- BOWEN, N.L. and TUTTLE, O.F. (1950): The system NaAlSi<sub>3</sub>O<sub>8</sub>-KAlSi<sub>3</sub>O<sub>8</sub>-H<sub>2</sub>O.- J. Geol., **58**, pp. 484-511.
- BROWN, W.L. (1960): Lattice changes in heat-treated plagioclases - The existence of monalbite at room temperature.- Z. Krist., **113**, pp. 297-329.
- BRUN, E., HAFNER, ST., HARTMANN, P., LAVES, F. und STAUB, H. (1960): Magnetische Kernresonanz zur Beobachtung des Al/Si-Ordnungs-Unordnungsgrades in einigen Feldspäten.- Z. Krist., **113**, pp. 65-76.
- BUERGER, M.J. (1948): The role of temperature in mineralogy.- Am. Min., **33**, pp. 101-121.
- BURRI, C. (1950): Das Polarisationsmikroskop.- Basel, Birkhäuser.
- CHAISSON, U. (1950): The optics of triclinic adularia.- J. Geol., **58**, pp. 537-547.
- CHUDOBA, K. (1932): Mikroskopische Charakteristik der gesteinbildenden Mineralien.- Herder und Co., Freiburg im Breisgau.
- COLE, W.F., SOERUM, H. and KENNARD, O. (1949): The crystal structure of orthoclase and sanidinized orthoclase.- Acta Cr., **2**, pp. 280-287.
- COOMBS, D.S. (1954): Ferriferous orthoclase from Madagascar.- Min. Mag., **30**, pp. 409-427.
- DABH, E. (1959): Τὰ ήφαιστειογενή πετρώματα τῆς νήσου Λήμνου.- Γεωλ. Χρον. τ. Ἑλλ. Χωρ., **11**, pp. 1-82.
- FREUND, H. (1955): Handbuch der Mikroskopie in der Technik. Band IV, Teil 1 (Mikroskopie der Gesteine).- Frankfurt/M., Umschau-Verlag.
- FRIEDEL, G. (1926): Leçons de Crisrallographie.- Paris, Berger-Levrault.
- GOLDSMITH, J.R. and LAVES, F. (1954): Potassium feldspars structurally intermediate between microcline and sanidine.- Geoch. Cosmoch. Acta, **6**, pp. 100-118.

- GYSIN, M.* (1957): Sur l' existence d'«orthoses tricliniques» dans certaines roches de l'Himalaya du Népal.- Schweiz. Min. Petr. Mitt., **37**, pp. 459-479.
- GYSIN, M.* (1963): Les feldspaths potassique des porphyres de Roffna.- Schweiz. Min. Petr. Mitt., **43**, pp. 385-405.
- HAFNER, ST. und LAVES, F.* (1957): Ordnung/Unordnung und Ultrarotabsorption. II. Variation der Lage und Intensität einiger Absorptionen von Feldspäten. Zur Struktur von Orthoklas und Adular.- Z. Krist., **109**, pp. 204-225.
- HAFNER, ST. und LAVES, F.* (1963): Magnetische Kernresonanz von  $\text{Al}^{27}$  in einigen Orthoklasen.- Schweiz. Min. Petr. Mitt., **43**, pp. 65-69.
- HEIER, K.S.* (1962): Trace elements in feldspars-A review.- Norsk Geol. Tidsskrift, **42** (Feldspar volume), pp. 415-454.
- HILLEBRAND, LUNDELL, BRIGHT and HOFFMAN* (1955): Applied Inorganic Analysis.- John Wiley and Sons, Inc., New York.
- HINTZE, C.* (1897): Handbuch der Mineralogie. Band II.
- HSU, K.J.* (1954): A study of the optic properties and petrologic significance of zoned sanidines.- Am. J. Sc., **252**, pp. 441-443.
- JACOB, J.* (1952): Chemische Analyse der Gesteine und silikatischen Mineralien.- Basel, Birkhäuser.
- KOEHLER, A.* (1948): Zur Optik des Adulars.- N. Jb. Min., A, 5-8, pp. 49-55.
- LACROIX, A.* (1922): Mineralogie de Madagascar. Tome I.- Paris, A. Challamel.
- LAVES, F.* (1950): The lattice and twinning of microcline and other potash feldspars. J. Geol., **58**, pp. 548-571.
- LAVES, F.* (1951): Artificial preparation of microcline.- J. Geol. **59**, pp. 511-512.
- LAVES, F.* (1952): Phase relations of the alkali feldspars.- J. Geol., **60**, pp. 436-450, 549-574.
- LAVES, F.* (1960a): Al/Si-Verteilungen, Phasen-Transformationen und Namen der Alkalifeldspäte.- Z. Krist., **113**, pp. 265-296.
- LAVES, F.* (1960b): Die Feldspäte, ihre polysynthetischen Verzwillingungen und Phasenbeziehungen.- Rendiconti d. Società Mineral. Italiana, **16**, pp. 37-70.
- LAVES, F. and CHAISSON, U.* (1950): An x-ray investigation of the high-low albite relations.- J. Geol., **58**, pp. 584-592.
- LAVES, F. and SOLDATOS, K.* (1962a): Plate perthite, a new perthitic intergrowth in microcline single crystals, a recrystallization product.- Z. Krist., **117**, pp. 218-226.
- LAVES, F. und SOLDATOS, K.* (1962b): Ueber «verzerrte» Mikroklin-Verzwillingung und über unsymmetrische Albitausscheidung in Kryptoperthit.- Z. Krist., **117**, pp. 209-217.
- LAVES, F. und SOLDATOS, K.* (1963): Die Albit/Mikroklin-Orientierungs-Beziehungen in Mikroklinperthiten und deren genetische Deutung.- Z. Krist., **118**, pp. 69-102.
- MACKENZIE, W.S.* (1952): The effect of temperature on the symmetry of high-temperature sodarich feldspars.- Am. J. Sc., Bowen Vol., pp. 319-342.
- MACKENZIE, W.S.* (1954): The orthoclase-microcline inversion.- Min. Mag., **30**, pp. 354-366.
- MACKENZIE, W.S. and SMITH, J.V.* (1955): The alkali feldspars I. Orthoclase

- micoperthites.- Am. Min., **40**, pp. 707-732.
- MACKENZIE, W.S. and SMITH, J.V.* (1962): Single crystal x-ray studies of crypto- and micro-perthites.- Norsk Geol. Tidsskrift, **42**. (Feldspar volume), pp. 72-103.
- MARFUNIN, A.S.* (1964): The relation between structure and optical orientation in potash-soda feldspars.- Instituto Lucas Mallada (Espana). Cur- sillos y conferencias, fasc. 8, pp. 97-109.
- MARFUNIN, A.S.* (1962): Some petrological aspects of order-disorder in feld- spars.- Min. Mag., **33**, pp. 298-314.
- MAPINOΣ, Γ. και ΜΑΣΤΡΑΝΤΩΝΗΣ, Γ.* (1960): Πυρίμαχα πετρώματα της Ελλάδος. I.Γ.Ε.Υ. VI|1 p. 77.
- MICHAELIS de SAENZ, I.* (1963). Authigener Sanidin.- Schweiz. Min. Petr. Mitt., **43**, pp. 485-492.
- MUIR, I.D.* (1962): The paragenesis and optical properties of some ternary feldspars. Norsk Geol. Tidsskrift **42** (Feldspar volume), pp. 477-492.
- MUNRO, M.* (1963): Errors in the measurement of 2V with the universal stage.- Am. Min., **48**, pp. 308-323.
- NIGGLI, P.* (1962): Lehrbuch der Mineralogie, II.- Berlin, Borntraeger.
- PARASKEVOPOYLOS, G.M.* (1953): Beitrag zur Kenntnis der Feldspäte der Tessiner Pegmatite.- Tscher. Min. Petr. Mitt., **3**, pp. 192-271.
- RANKAMA, K. and SAHAMA, T.* (1950): Geochemistry.- University Chicago Press.
- PENTZEΠΕΡΗΣ, Π.Ι.* (1956): Οι τριτογενεῖς ἥφαιστίται τοῦ Νομοῦ Εβρου. Θεσσαλονίκη. Διδ. Διατρ.
- RITTMANN, A.* (1958): Le cause della corrosione magmatica.- Boll. Sed. Accad. Accad. Gioenia, Sc. nat., Catania, vol. IV, fasc. 10.
- ROSENBUSCH-MUEGGE* (1927): Mikroskopische Physiographie der petrogra- phisch wichtigen Mineralien.
- SCHNEIDER, T.R.* (1957): Röntgenographische und optische Untersuchung der Umwandlung Albit-Analbit-Monalbit.- Z. Krist., **109**, pp. 245-271.
- SCHNEIDER, T.R. und LAVES, F.* (1957): Barbierit oder Monalbit?- Z. Krist., **109**, pp. 241-244.
- SCHWARZENBACH, G.* (1960): Die komplexometrische Titration.- Stuttgart, Ferd. Enke.
- ΣΟΛΛΑΤΟΣ, Κ.* (1955): Οι ἥφαιστίται τῆς Ἀλμωπίας. Θεσσαλονίκη. Διδ. Διατρ.
- SOLDATOS, K.* (1961): Die jungen Vulkanite der griechischen Rhodopen und ihre provinziellen Verhältnisse.- Zürich. «Vulkanist. Imm. Friedlaender» Nr. **8**. Dissert. (E.T.H.).
- SOLDATOS, K.* (1962): Ueber die ktyptoperthitische Albit-Ausscheidung in Mikro- klinperthiten.- Norsk Geol. Tidsskrift **42** (Feldspar volume), pp. 180-192.
- STRUNZ, H.* (1957): Mineralogische Tabellen.- Leipzig, Akademische Verlagsgesell- schaft.
- TAYLOR, W.H.* (1933): The structure of sanidine and other felspars.- Z. Krist., **85**, pp. 425-442.
- TAYLOR, W.H.* (1962): The structures of the principal felspars.- Norsk Geol. Tids- skrift, **42** (Feldspar volume), pp. 1-24.
- TREADWELL-HALL* (1948): Analytical Chemistry, II., p. 416.

- TROEGER, W.E.** (1956): Optische Bestimmung der gesteinsbildenden Minerale (Bestimmungstabellen).- Stuttgart, Schweizerbart.
- TURNER-VERHOOGEN** (1960): Igneous and metamorphic Petrology.- New York, McGraw-Hill, p. 59.
- TUTTLE, O.F.** (1952): Optical studies on alkali feldspars.- Am. J. Sc. Bowen vol. pp. 553-567.
- WEIBEL, M.** (1957): Zum Chemismus der alpinen Adulare, II.- Schweiz. Min. Petr. Mitt., **37**, pp. 545-553.
- WEIBEL, M. und MEYER, F.** (1957): Zum Chemismus der alpinen Adulare, I.- Schweiz. Min. Petr. Mitt., **37**, pp. 153-158.
- WINCHELL, A. and WINCHELL, H.** (1951): Elements of optical mineralogy, II.- New York, J. Wiley.

ΕΛΛΗΝΙΚΟΝ ΜΕΡΟΣ

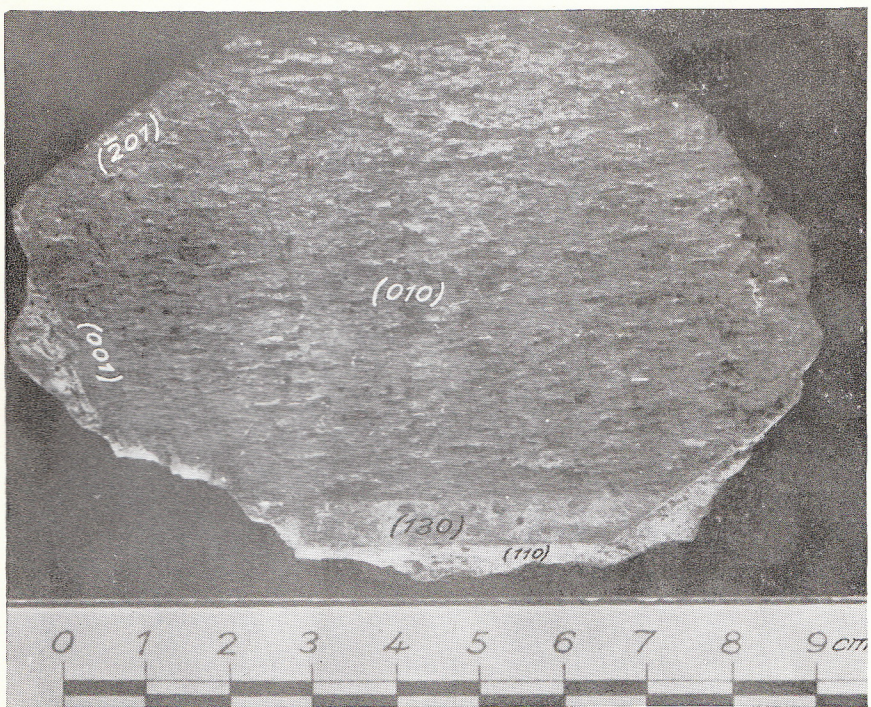
ΑΓΓΛΙΚΑΝΙΚΟΝ ΜΕΡΟΣ

ΠΙΝΑΞ ΠΕΡΙΕΧΟΜΕΝΩΝ

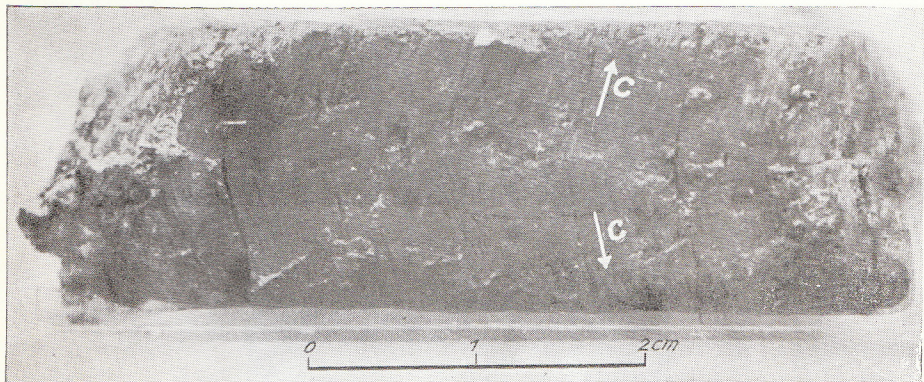
ΑΓΓΛΙΚΑΝΙΚΟΝ ΜΕΡΟΣ

	Σελίς
<b>ΕΙΣΑΓΩΓΗ.</b>	<b>1</b>
<b>ΓΕΝΙΚΟΝ ΜΕΡΟΣ</b>	<b>4</b>
Όρθοκλαστον - Σανιδινον . . . . .	» 4
Ψυσανίδινον - Χαμαισανίδινον . . . . .	» 5
Ψηι- και Χαμαι- μορφαι δρθοκλάστου και μικροκλινούς . . . . .	» 6
Κρατούσαι άπόψεις ἐπὶ τῶν καλιούχων ἀστρίων ἀπό άπόψεως ταξινομημένης ή μὴ διατάξεως τῶν Al/Si ἐντὸς τοῦ πλέγματος αὐτῶν . . . . .	» 7
Πολυμορφία τοῦ KAlSi <sub>3</sub> O <sub>8</sub> . Τρικλινικότης. Σανιδινίωσις . . . . .	» 7
Εἶναι τὸ δρθόκλαστον σταθερὰ μορφὴ καλιούχου ἀστρίου; . . . . .	» 9
Περιεκτικότης εἰς νάτριον - Περθῖται . . . . .	» 10
Μορφαι ἀλβίτου - Σύγκρισις μὲ τοὺς καλιούχους ἀστρίους . . . . .	» 11
Κυριώτερα προβλήματα τῆς παρούσης μελέτης . . . . .	» 13
<b>ΟΠΤΙΚΟΝ ΜΕΡΟΣ</b> . . . . .	<b>15</b>
<b>Μέθοδος</b> . . . . .	<b>15</b>
Περιγραφὴ και ὀπτικὴ ἔξετασις τῶν σανιδίνων . . . . .	» 16
Σανιδίνα Ἀγάλου - Μαυροβουνίου . . . . .	» 16
Σανιδίνον Κακουροῦ (Ἀλμωπίας) . . . . .	» 17
Σανιδίνα Δαδιᾶς (Θράκης) . . . . .	» 19
Σανιδίνα Ροδόπης . . . . .	» 20
Σανιδίνα Λήμνου . . . . .	» 21
Σανιδίνον Σαμοθράκης . . . . .	» 23
Δεῖκται διαθλάσεως . . . . .	» 24
Πύρωσις σανιδίνων . . . . .	» 26
Σανιδίνα Ἀψάλου - Μαυροβουνίου . . . . .	» 26
Σανιδίνον Κακουροῦ . . . . .	» 27
Σανιδίνα Δαδιᾶς . . . . .	» 27
Σανιδίνα Ροδόπης . . . . .	» 28
Σανιδίνα Λήμνου . . . . .	» 28
Σανιδίνον Σαμοθράκης . . . . .	» 28
Κεκλιμένος διασκεδασμὸς τῶν διχοτόμων . . . . .	» 29
Συμπεράσματα ἐκ τῆς ὀπτικῆς ἑρεύνης . . . . .	» 30
Ἐρμηνεία τῆς ζωνώδους συστάσεως τῶν σανιδίνων . . . . .	» 31

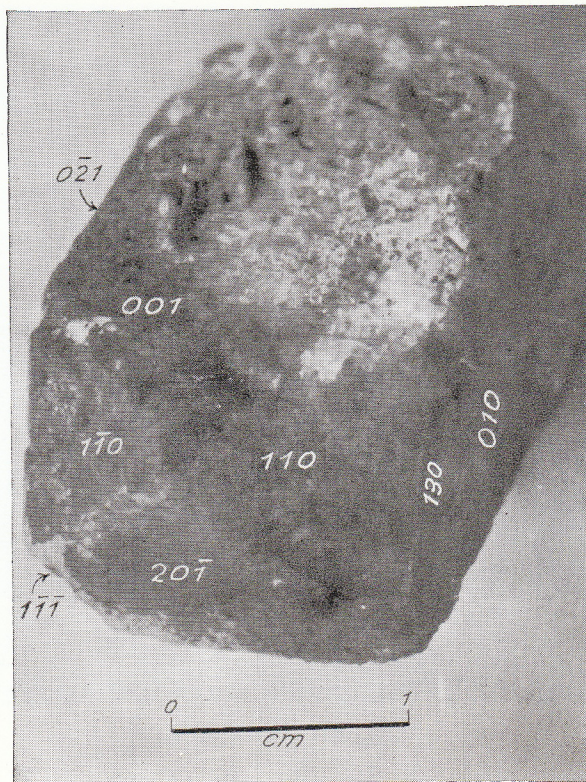




Εἰκ. 4. Πλακωδες σανίδινον Ἀψάλου.



Εἰκ. 5. Σανίδινον Λήμου (Κάκαβος) ἀνεπτυγμένον κατὰ [100] εἰς διδυμίαν Manebach.



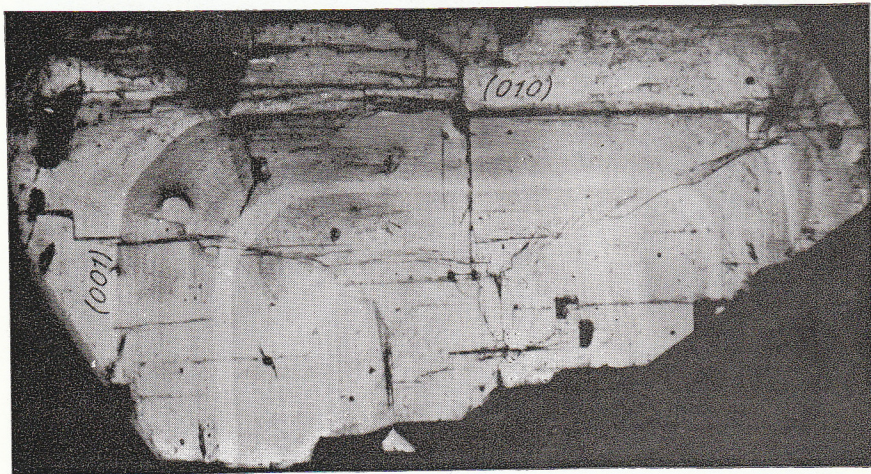
Εἰκ. 6. Ίδιομορφος κρύσταλλος σανιδίνου (Άγ. Βαρβάρα, Κάστρο Λήμνου).



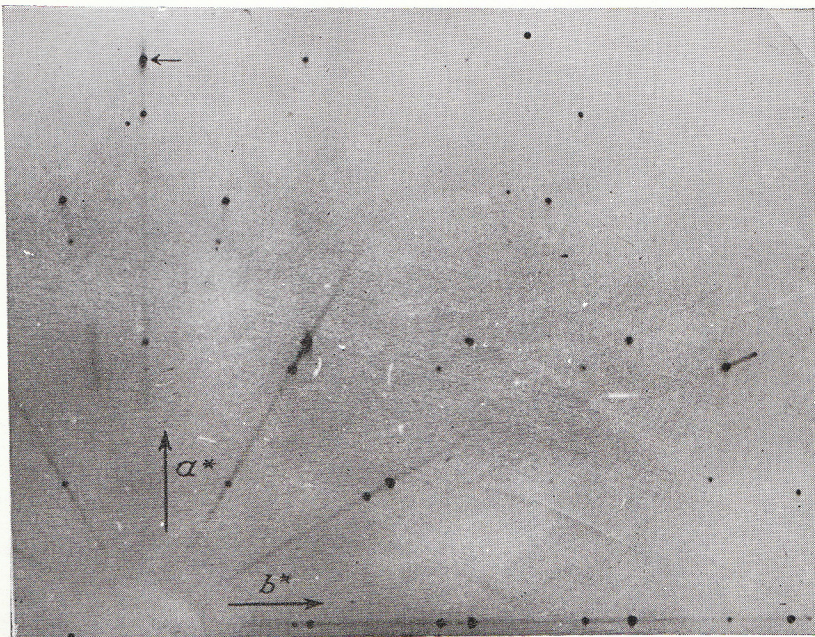
Εἰκ. 7. Κρύσταλλος σανιδίνου Δαδιᾶς (Θράκης) εἰς σύνθετον διδυμίαν Baveno και Manebach (βλ. κείμενον). Τομή κάθετος ἐπὶ [100]. Nic. + Μεγεθ. 18X.



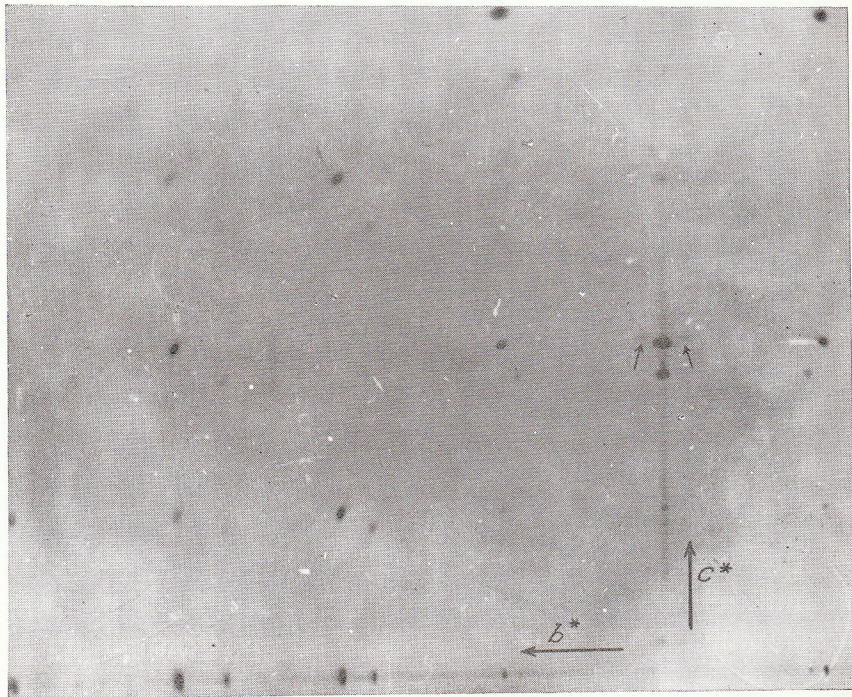
Εἰκ. 8. Τμῆμα ζωνώδους κρυστάλλου σανιδίνου Σαμοθράκης εἰς τομήν κάθετον ἐπὶ [100]. Τὸ βέλος κατευθύνεται πρὸς τὴν περιφέρειαν τοῦ κρυστάλλου. Αἱ ζῶναι εἰναι περισσότερον διπλοθλαστικαὶ πρὸς τὸ ἐσωτερικὸν ἢ πρὸς τὸ ἐξωτερικὸν αὐτῶν Nic. + Μεγέθ. 20X.



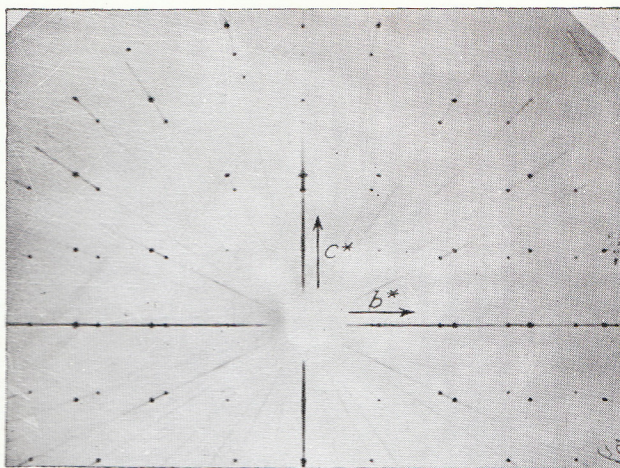
Εἰκ. 9. Τμῆμα ζωνώδους σανιδίνου Δαδιάς (Θράκης). Διακρίνεται σαφῶς ἡ ἐναλλαγὴ τῶν ζωνῶν τῆς αὐτῆς διπλοθλαστικότητος. Nic. + Μεγέθ. 20X.



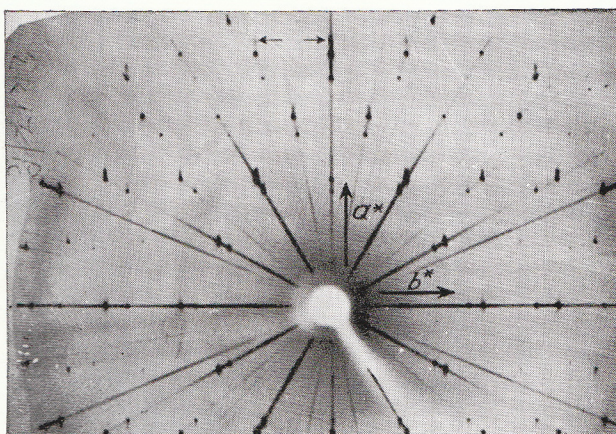
Εἰκ. 10. Διάγραμμα μὲ ἄξονα μεταπτώσεως παραλλήλως πρὸς [001] τοῦ σανιδίνου Μαυροβουνίου. Ἡ διὰ τοῦ μικροῦ βέλους σημειουμένη ἀνάκλασις (400) δεικνύει σκιάσεις πρὸς τὰ ἄνω (αὔξησις περιεκτικότητος εἰς νάτριον) καὶ πρὸς τὰ κάτω (ἐλάττωσις περιεκτικότητος εἰς νάτριον). Οὐδεμία ἀνάκλασις κρυπτοπερθιτικού ἀλβίτου διακρίνεται.



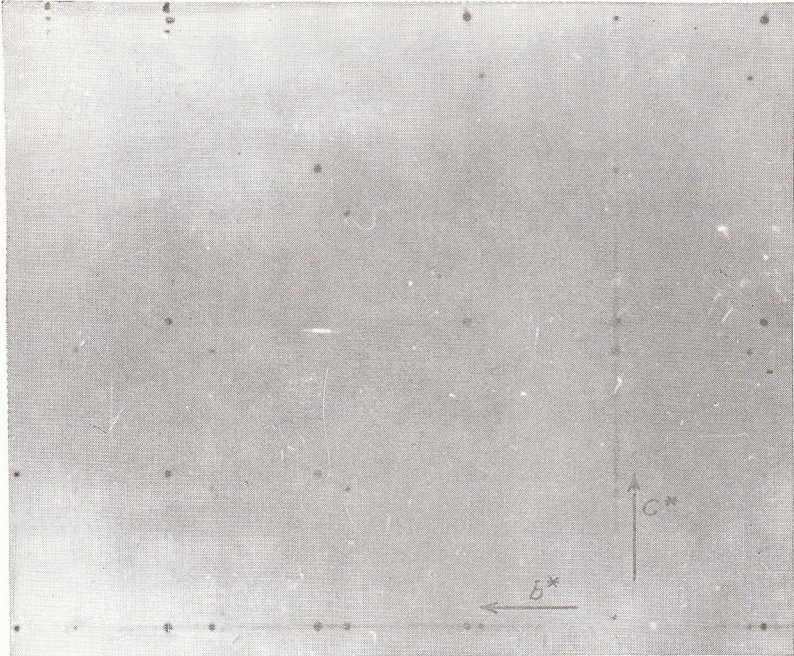
Εἰκ. 11. Διάγραμμα μὲ οξονα μεταπτώσεως τὴν κατεύθυνσιν [100] όρθοκλάστου τραχυανδεσίτου Ροδόπης. Τὰ μικρὰ βέλη δεικνύουν τὴν (002) ἀνάκλασιν κρυπτοπερθιτικοῦ ἀλβίτου εἰς ἀλβιτικῆν διδυμίαν ἀμφοτέρωθεν τῆς ἀντιστοίχου ἀνακλάσεως τῆς καλιούχου φάσεως.



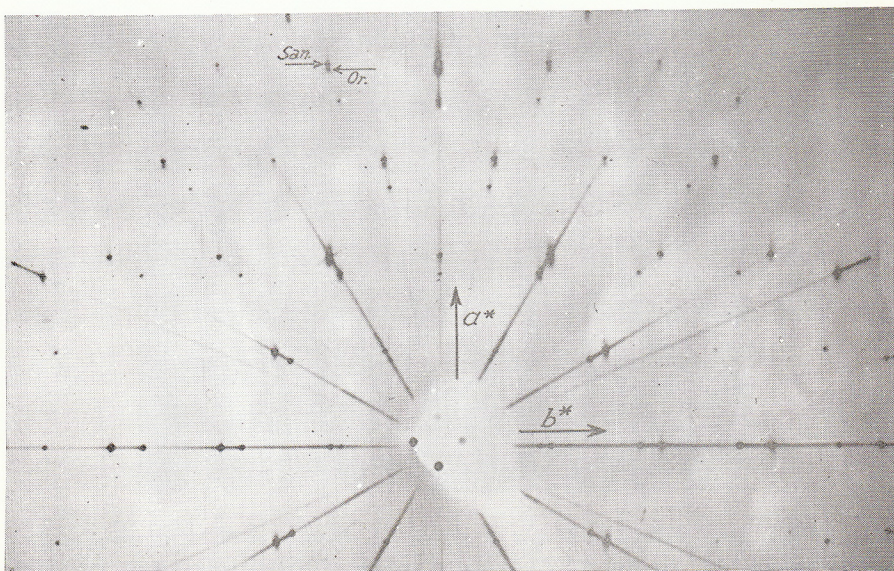
Εἰκ. 12. Διάγραμμα κρυπτοπερθιτικού σανιδίνου Σαμοθράκης μὲ ἄξονα μεταπτώσεως παραλλήλως πρὸς [100]. Οὐδεμίᾳ ἀνάκλασις τρικλινοῦς συμμετρίας παρατηρεῖται.



Εἰκ. 13. Διάγραμμα κρυπτοπερθιτικού σανιδίνου Σαμοθράκης μὲ ἄξονα μεταπτώσεως τὴν κατεύθυνσιν  $c$ . Αἱ ἀνακλάσεις τοῦ μονοκλινοῦς ἀλβίτου διακρίνονται σαφῶς ὑπὸ μορφὴν «δορυφόρων» παρὰ τὰς ἀνακλάσεις τοῦ σανιδίνου. Αἱ (400) καὶ (420) σημειούνται διὰ μικρῶν βελῶν.



Εἰκ. 14. Διάγραμμα μεταπτώσεως μὲν μεταπτωτικὸν ὅξονα παραλλήλως πρὸς [100] σανιδινορθοκλάστου τραχυανδεσίτου Ροδόπης (Μπεζεριάνο). Οὐδόλως διακρίνονται αἱ δύο φάσεις.



Εἰκ. 15. Διάγραμμα μεταπτώσεως παραλλήλως πρὸς [100] τοῦ σανιδινορθοκλάστου ἐκ τοῦ ἴδιου κρυστάλλου ως ἡ ὑπὸ ἀριθ. 14 εἰκών. Παραλλήλως πρὸς  $a^*$  διακρίνονται σαφῶς τὰ δύο εἶδη τῶν ἀνακλάσεων, ἐνῷ παραλλήλως πρὸς  $b^*$  συμπίπτουν. Τὰ μικρὰ βέλη σημειοῦν τὴν ἀνάκλασιν (420) διὰ τὰς δύο φάσεις. Οἱ ἀκτινογραφηθεὶς κρύσταλλος συνίσταται περισσότερον ἐκ σανιδίνου καὶ διλιγώτερον ἔξ δρθοκλάστου.

